

БАКАЛАВРСЬКА РОБОТА

ПМІ.БР-60.00.00.000 ПЗ

Група ПМІ-21-1

Дрегало Олексій

2025

Дрегало Олексій Юрійович

УДК 62-5.007.5

БАКАЛАВРСЬКА РОБОТА

Розробка моделі марсоходу
(назва роботи)

Інженерія мехатронних систем
(назва освітньої програми)

131 – Прикладна механіка
(шифр і назва спеціальності)

О. Ю. Дрегало

(підпис, ініціали та прізвище здобувача освітнього ступеня)

Науковий керівник Панчук В. Г., професор ,зав. кафедри КМВ
(прізвище, ім'я, по батькові, науковий ступінь, вчене звання)

Допущено до захисту

Завідувач кафедри

професор Панчук В. Г.

(посада) (підпис) (дата) (ініціали та прізвище)

Рецензент

(посада) (підпис) (дата) (ініціали та прізвище)

Робота містить результати власних досліджень. Використання ідей, результатів і текстів інших авторів мають посилання на відповідне джерело

Івано-Франківський національний технічний університет нафти і газу
(повне найменування закладу вищої освіти)

Інститут інститут інженерної механіки та робототехніки

Кафедра комп'ютеризованого машинобудування

Освітній рівень Бакалавр

Спеціальність 131 – Прикладна механіка

(шифр і назва)

ЗАТВЕРДЖУЮ
Завідувач кафедри _____

«____» _____ 20__ року

З А В Д А Н Н Я **НА БАКАЛАВРСЬКУ РОБОТУ СТУДЕНТОВІ**

Дрегало Олексій Юрійович

(прізвище, ім'я, по батькові)

1. Тема роботи: Розробка моделі марсоходу

керівник роботи Панчук В. Г., професор ,зав. кафедри КМВ

(прізвище, ім'я, по батькові, науковий ступінь, вчене звання)

затвержені наказом закладу вищої освіти від “__” _____ 2025 року № __/

2. Строки подання студентом роботи червень 2025р.

3. Вихідні дані до роботи: зразок матеріалу скляного волокна

4. Зміст розрахунково-пояснювальної записки (перелік питань, які потрібно розробити)

1. Аналіз конструкції марсоходу Perseverance . 2. Модернізація моделі марсоходу. 3. Виготовлення моделі .

5. Перелік графічного матеріалу (з точним зазначенням обов'язкових креслень)

Сумарним обсягом не менше 6 листів А1.

6. Консультанти розділів роботи

Розділ	Прізвище, ініціали та посада консультанта	Підпис, дата	
		завдання видав	завдання прийняв
1	Панчук В. Г., професор, зав. кафедри КМВ		
2	Панчук В. Г., професор, зав. кафедри КМВ		
3	Панчук В. Г., професор, зав. кафедри КМВ		

7. Дата видачі завдання _____

КАЛЕНДАРНИЙ ПЛАН

№ з/п	Назва етапів магістерської роботи	Термін виконання етапів роботи	Примітки
1	Аналіз марсоходу Perseverance	21.03.2025	
2	Модернізація моделі марсоходу	01.05.2025	
3	Виготовлення моделі	05.06.2025	
4	Захист магістерської роботи	25.06.2025	

Студент _____ Дрегало О.Ю.
(підпис) (прізвище та ініціали)

Керівник роботи _____ Панчук В. Р.
(підпис) (прізвище та ініціали)

“ ___ ” _____ 2025 р.

Реферат

Бакалаврська робота на тему: «Проектування моделі марсохода». Дана робота складається зі 62 аркушів. До неї входять 61 рисуноків, 2 таблиць, 16 додатків. Для розрахунку роботи було використано 20 бібліографічних найменувань.

Об'єкт дослідження: модель марсоходу як мобільна платформа для дослідницьких цілей.

Предмет дослідження: Конструктивно механічна реалізація моделі марсоходу, з урахуванням її функціональності та можливості подальшої модернізації.

Мета роботи: розробити, виготовити та вдосконалити конструкцію моделі марсоходу ,що буде функціональною та придатною для застосування в навчальних і демонстраційних цілях.

Основні завдання роботи:

- Аналіз конструкції марсоходу Perseverance, особливостей його шасі та підвіски.
- Оптимізація компонентів конструкції з урахуванням надійності, жорсткості та простоти складання.
- Створення тривимірної моделі корпусу та механічних вузлів у CAD-системі, підготовка STL-файлів для 3D-друку.
- Виготовлення моделі

Відповідно до поставленої задачі були виконані роботи за кожним розділом, згідно з планом:

1. Було проведено аналіз конструкції марсоходу з відкритих джерел . Виділено основні конструкційні вузли. Такі як підвіска типу Rocker-bogie ,будова коліс ,і рами .
2. Модернізація деталей марсоходу. Проаналізовано слабкі місця оригінальної моделі і виправши ці недоліки були для підвищення надійності і міцності .
3. Покращення електроніки і системи керування марсоходу, для збільшення модульності марсохода для подальших модифікація
4. Вибір матеріалів для 3д друку ,з рахуванням особливостей конструкції і технології 3д друку.

5. Підбір стандартних компонентів для збірки моделі.
6. Виготовлення моделі ,з пояснюванням головних моментів і вузлів з'єднання .

Студент Дрегало О.Ю.

Summary

Bachelor's thesis on the topic: "Design of a Mars Rover Model" . This work consists of 62 pages. It includes 61 figures, 2 tables, and 16 appendices. A total of 20 bibliographic sources were used for the calculations and research.

Object of research: A Mars rover model as a mobile platform for research purposes.

Subject of research: The structural and mechanical implementation of the Mars rover model, taking into account its functionality and potential for further modernization.

Purpose of the work: To design, manufacture, and improve the structure of a Mars rover model that is functional and suitable for use in educational and demonstrational contexts.

Main objectives of the work:

- To analyse the design of the Perseverance rover, focusing on the features of its chassis and suspension system.
- To optimize the design components with respect to reliability, rigidity, and ease of assembly.
- To create a 3D model of the body and mechanical assemblies in a CAD system and prepare STL files for 3D printing.
- To manufacture the model.

In accordance with the stated objectives, the following tasks were completed as part of each section of the project:

1. The rover's design was analyzed based on open sources. The main structural components were identified, such as the rocker-bogie suspension, wheel construction, and frame structure.
2. Modernization of the rover's components was carried out. Weak points of the original model were analyzed and corrected to improve reliability and strength.
3. The rover's electronics and control system were improved to enhance modularity and allow for future modifications.
4. Materials for 3D printing were selected, taking into account the specific features of the design and the 3D printing technology.
5. Standard components were selected for assembling the model.
6. The model was manufactured, with explanations provided for the key assembly points and connection mechanisms.

Student: Drehalo O.Yu

Зміст

ВСТУП	9
1. АНАЛІЗ КОНСТРУКЦІЇ МАРСОХОДУ PERSEVERANCE	10
1.1 Загальні відомості про марсохід Perseverance	10
1.2 Ходова частина (підвіска Rocker-Bogie)	13
1.3 Конструкція коліс	16
1.4 Рама та несуча конструкція	19
2. МОДЕРНІЗАЦІЯ МОДЕЛІ МАРСОХОДУ	20
2.1 Загальний огляд базової моделі	20
2.2 Модернізація механічної конструкції	23
2.3 Оновлення електроніки керування	30
2.4 Оновлення програмного коду	35
3. ВИГОТОВЛЕННЯ МОДЕЛІ	42
3.1 Вибір матеріалів для друку та стандартних елементів	42
3.2 Особливості підготовки моделей до друку	44
3.3 Використання стандартних виробів і компонентів	47
3.4 Збірка механічної та електричної частини моделі	51
Висновки	59
СПИСОК ВИКОРИСТАНИХ ДЖЕРЕЛ	60
Додатки	62

					ПМІ.БР-60.00.00.000 ПЗ				
Зм.	Арк.	№ Докум.	Підпис	Дата					
Розроб.	Дрегалю О.Ю.				Літ.		Арк.	Аркуші	
Перевір.	Панчук В.Г.						8		
Рецензент					Пояснювальна записка				
Затверд.	Панчук В.Г.								

ВСТУП

Актуальність теми обумовлена зростаючою потребою в найрізноманітніших мобільних роботизованих систем. Вони застосовуються в найрізноманітніших сферах такі як : воєнна, агропромисловій ,цивільній, і в сферах надзвичайних ситуацій .Однак створення таких систем вимагають високих інженерних вмінь ,а також високих цін на комплектуючі. Тому розробка доступної ,модульної моделі марсоходу є актуальним завданням ,особливо для освітніх цілей.

Об'єкт дослідження відкрита модель марсоходу Perseverance ,автора каналу YouTube “How to Mechatronics”

Мета: розробити, виготовити та вдосконалити конструкцію моделі марсоходу ,для навчальних і демонстраційних цілях.

Завдання:

- Аналіз конструкції марсоходу Perseverance
- Оптимізація компонентів конструкції з урахуванням надійності, жорсткості та простоти складання.
- Створення тривимірної моделі корпусу та механічних вузлів у САД-системі
- Підготовка STL-файлів для 3D-друку.
- Модернізація електроніки керування
- Модернізація програмного забезпечення
- Виготовлення моделі

					ПІМІ.БР-60.00.00.000 ПЗ	Арк.
						9
Зм.	Арк.	№ докум.	Підпис	Дата		

1. АНАЛІЗ КОНСТРУКЦІЇ МАРСОХОДУ PERSEVERANCE

1.1 Загальні відомості про марсохід Perseverance

Марсохід Perseverance місії Mars 2020 шукає ознаки давнього мікробного життя, щоб сприяти досягненню мети NASA — дослідженню минулої придатності Марса до існування життя. Ровер збирає кернові зразки марсіанських порід і реголіту (подрібнених порід і ґрунту) для можливого збору під час майбутньої місії, яка доставить їх на Землю для детального вивчення. [1]

Марсохід почали розробляти з грудня 2012 року, запуск відбувся 30 липня 2020 року і приземлився на Марс 18 лютого 2021 року.



Рисунок 1.1 – Марсохід Perseverance на Марсі [4]

Ключове обладнання Perseverance має на борту сім наукових інструментів для проведення безпрецедентних досліджень та випробування нових технологій на Червоній планеті. Серед них:

- **Mastcam-Z** — передова камера з панорамним і стереоскопічним зображенням та можливістю зуму. Інструмент також визначатиме мінералогію марсіанської поверхні та допомагатиме в управлінні ровером. Головний дослідник — Джеймс Белл, Державний університет Арізони, Темпе.
- **SuperCam** — прилад, який може забезпечувати зображення, аналіз хімічного складу та мінералогії на відстані. Головний дослідник — Роджер Вієнс, Лос-Аламоська національна лабораторія, Нью-Мексико. Значний внесок також

										ПМІ.БР-60.00.00.000 ПЗ	Арк.
Зм.	Арк.	№ докум.	Підпис	Дата							10

зробили Centre National d'Etudes Spatiales, Institut de Recherche en Astrophysique et Planétologie (CNES/IRAP), Франція.

- **PIXL (Planetary Instrument for X-ray Lithochemistry)** — спектрометр рентгенівського флуоресцентного випромінювання та високоякісна камера для картографування дрібномасштабного елементного складу марсіанських матеріалів. PIXL забезпечить детальніше виявлення й аналіз хімічних елементів, ніж будь-коли раніше. Головна дослідниця — Абігайл Олвуд, Лабораторія реактивного руху NASA (JPL), Пасадена, Каліфорнія.
- **SHERLOC (Scanning Habitable Environments with Raman & Luminescence for Organics and Chemicals)** — спектрометр для тонкого зображення, який використовує ультрафіолетовий (УФ) лазер для картографування мінералогії та органічних сполук. SHERLOC стане першим УФ-раманівським спектрометром на поверхні Марса і доповнюватиме інші інструменти місії. Має також високоякісну кольорову камеру для мікроскопічного зображення марсіанської поверхні. Головний дослідник — Лютер Бігл, JPL.
- **MOXIE (Mars Oxygen In-Situ Resource Utilization Experiment)** — демонстрація технології, яка вироблятиме кисень із марсіанського вуглекислого газу. Якщо експеримент буде успішним, технологія MOXIE може бути використана майбутніми астронавтами на Марсі для створення пального для повернення на Землю. Головний дослідник — Майкл Хехт, Массачусетський технологічний інститут, Кембридж, Массачусетс.
- **MEDA (Mars Environmental Dynamics Analyzer)** — набір сенсорів для вимірювання температури, швидкості й напрямку вітру, тиску, відносної вологості, а також розмірів і форми пилу. Головний дослідник — Хосе Родрігес-Манфреді, Centro de Astrobiología, Instituto Nacional de Técnica Aeroespacial, Іспанія.
- **RIMFAX (Radar Imager for Mars' Subsurface Experiment)** — радар для дослідження підповерхневих шарів з роздільною здатністю в сантиметри, що дозволяє вивчати геологічну структуру підповерхні. Головний дослідник — Свейн-Ерік Хамран, Norwegian Defense Research Establishment, Норвегія.

Корпус Perseverance та інші основні компоненти (такі як крейсерський модуль, етап спуску та аеродинамічний кожух/тепловий щит) створені на основі успішної конструкції ровера Curiosity і містять багато елементів, перевірених у попередніх місіях. Ровер Perseverance, розміром з автомобіль, має приблизно ті ж габарити, що й Curiosity: близько 3 метрів у довжину (без урахування маніпулятора), 2,7 метра в ширину та 2,2 метра у висоту. Однак Perseverance важить приблизно 1 025 кілограмів (2 260 фунтів), що на 126 кілограмів (278 фунтів) більше за Curiosity.

Perseverance також випробуватиме нові технології для майбутніх роботизованих і пілотованих місій на Червону планету. Серед них — автопілот для уникнення перешкод під назвою *Terrain Relative Navigation*

									Арк.
									11
Зм.	Арк.	№ докум.	Підпис	Дата	ПІМІ.БР-60.00.00.000 ПЗ				

(навігація відносно рельєфу) та набір сенсорів для збору даних під час посадки — *Mars Entry, Descent and Landing Instrumentation 2 (MEDLI2)*. Нова автономна система навігації дозволить роверу рухатися швидше по складному рельєфу.

Як і у випадку з *Curiosity*, основною енергосистемою *Perseverance* є багатомісійний радіоізотопний термоелектричний генератор (MMRTG), наданий Міністерством енергетики США. Він виробляє електроенергію за рахунок тепла, що утворюється при природному розпаді плутонію-238. [2]



Рисунок 1.2 Збирання марсоходу [2]

					ПІМІ.БР-60.00.00.000 ПЗ	Арк.
Зм.	Арк.	№ докум.	Підпис	Дата		12

1.2 Ходова частина (підвіска Rocker-Bogie)

В марсоходах використовується пасивний тип підвіски який називається Rocker-Bogie. Вона була розроблена NASA спеціально для марсоходів. Вперше її застосували в марсоході Sojourner (1997 рік).



Рисунок 1.3 – марсохід Sojourner [5]

Ця підвіска складається з наступних компонентів:

- Rocker (гойдалка) (рис. 1.4) це велика важільна частина яка з'єднує передні колеса і Bogie з центральною частиною. Ліва і права гойдали з'єднанні через диференціальний шарнір.

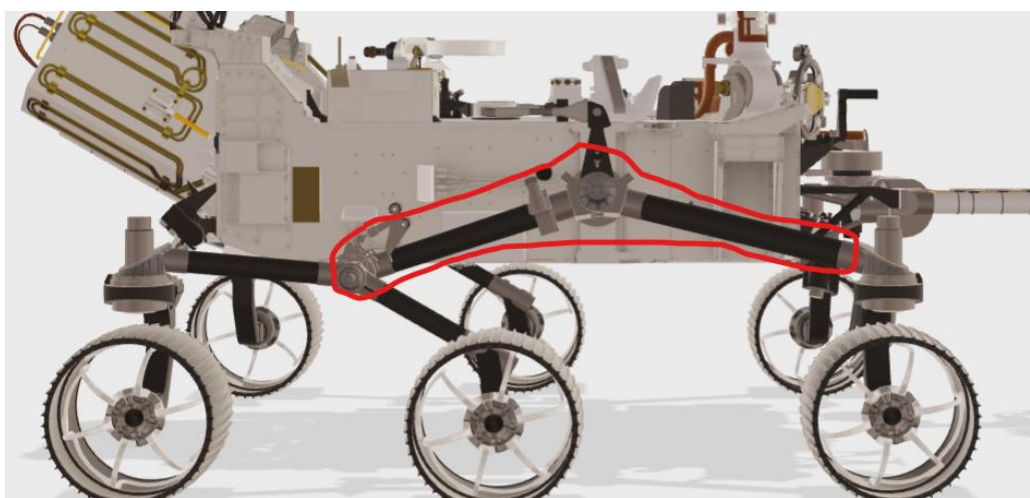


Рисунок 1.4 – Rocker ровера [10]

- *Bogie*(коромисло) – невелике з’єднання двох коліс яке приєднане до гойдалки, необхідне для адаптації і стабілізації відносно рельєфу .

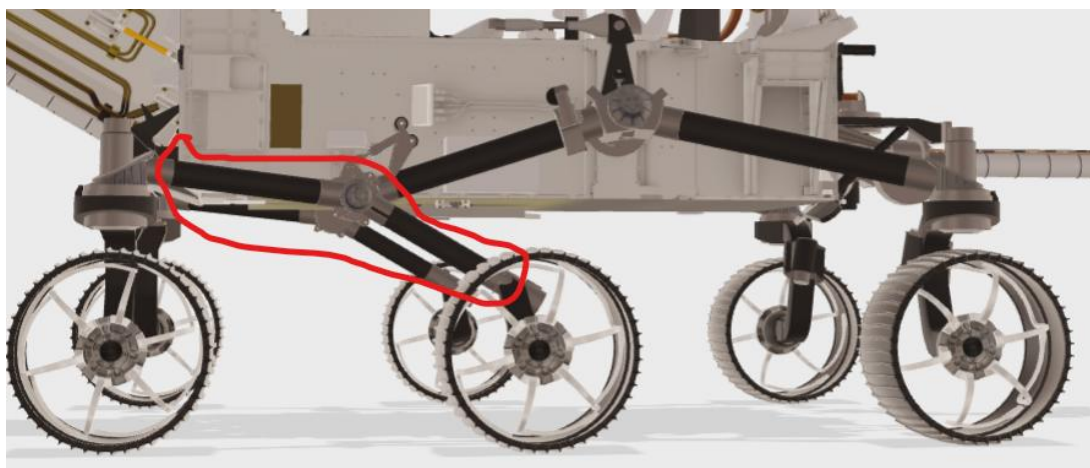


Рисунок 1.5 – *Bogie* ровера[10]

- 6 незалежних коліс які можуть обертатися незалежно одне від іншого ,також 4 країні колеса можуть обертатися що дозволяє обертатися на місці на 360 градусів

Принцип роботи криється в дії диференціала, яка дозволяє рівномірно розподіляти навантаження між колесами. Коли один бік підвіски піднімається (наприклад, на перешкоді), інший — опускається, забезпечуючи постійний контакт усіх шести коліс з поверхнею. Це зменшує тиск на ґрунт під окремими колесами — важливо, коли ровер рухається м’якою поверхнею, де надмірний тиск може призвести до «провалювання» колеса. Такий ефект також допомагає зберігати рівновагу: корпус ровера утримується під середнім кутом між двома гойдалками, зменшуючи нахил.[6]

NASA поєднає *rocker-bogie* з потужними мотор-редукторами в кожному колесі. Завдяки здатності системи утримувати всі колеса на землі, ровер має достатню тягу для подолання складного рельєфу. Навіть якщо одне чи два колеса зависли у повітрі або потрапили в пісок, інші компенсують це — і ровер не зупиняється.[6]

Ця проста, але надійна система без пружин і амортизаторів — ідеальна для умов Марса. Менше механічних частин означає менше потенційних поломок, менше зносу, менше шансів на забивання пилом. А це критично важливо, коли твій транспортний засіб знаходиться за мільйони кілометрів від технічного обслуговування.[6]

Єдина сфера, у якій конструкція *rocker-bogie* (гойдалка-балансир) поступається — це швидкість руху. Найшвидший марсохід NASA — *Perseverance* — має максимальну швидкість лише ~0.12 км/год, тоді як звичайна людська хода — близько 4 км/год. Така повільність пояснюється кількома причинами:

										Арк.
										14
Зм.	Арк.	№ докум.	Підпис	Дата	ПІМІ.БР-60.00.00.000 ПЗ					

- **Затримка сигналу між Марсом і Землею** (від кількох до 20 хвилин) унеможливує миттєве керування, а отже, швидкий рух безпечно реалізувати важко.
- **Низька швидкість зменшує ударні навантаження** — при високих швидкостях транспорт зазнає значних ударів від нерівностей. Щоб витримувати ці навантаження, потрібні складні демпфери (амортизатори), але *rocker-bogie* якраз від них відмовляється.
- **Простота конструкції** — повільний рух дозволяє зберегти конструктивну надійність і уникнути складних рішень.[6]



Рисунок.1.6 – Тестування підвіски в NASA JLP[7]

1.3 Конструкція коліс

Колеса в Perseverance пройшли значне поліпшення порівняно зі своїм попередником Curiosity після року роботи було виявлено значні пошкодження коліс що не були виявленні під час тестувань на Землі. Хоча колеса були спроектовані так щоб працювати навіть при значних пошкодженнях але швидке зношування значно зменшувало очікуваний термін роботи коліс. Обробивши всі дані які були отримані з Curiosity ,поглибили розуміння рельєфу Марса ,а також його абразивної поверхні ,виникла потреба в значному поліпшенні конструкції коліс для майбутніх місій .

Під час посадки та переміщення колеса марсохода є першою структурою, що контактує з поверхнею Марса. Як наслідок, вони спроектовані так, щоб діяти як пружина або демпфер навантажень з метою мінімізації зусиль, що передаються на основну конструкцію марсохода. Колеса також є єдиним елементом, що зменшує навантаження на приводи. Вони мають бути достатньо гнучкими, щоб забезпечити захист цих чутливих компонентів, але водночас досить міцними, щоб не зазнати катастрофічного руйнування під час посадки [8].

Марсохід MSL Curiosity та Mars 2020 Perseverance, як і їхні попередники, оснащені шістьма колесами та використовують підвіску типу "rocker-bogie". Ця підвіска дозволяє марсоходу долати перешкоди або заглиблення розміром до діаметра колеса, забезпечуючи кращу стійкість та менший кут нахилу. [8]

Кожне колесо складається з зовнішнього та внутрішнього ободів, кільця жорсткості, гнучких елементів (спиць) та ребер (граузерів), як показано на Рисунку 1.7. Гнучкі елементи забезпечують пружну підтримку колеса та приводів, а граузери — зчеплення у напрямку руху вперед, а також у поперечному напрямку. Ширина колеса також відіграє важливу роль у запобіганні його зануренню в ґрунт. [8]

Для марсоходів MSL Curiosity та Mars 2020 Perseverance кожне колесо виготовлено з блоку авіаційного алюмінію та оснащене титановими гнучкими елементами. Колеса Perseverance мають дещо більший діаметр порівняно з колесами Curiosity (20,7 дюйма проти 20,0 дюймів) та є трохи вужчими, при цьому товщина зовнішнього шару збільшена майже на міліметр. Також колеса мають нову конструкцію граузерів — злегка вигнуту замість шевронного малюнка, і їх кількість подвоєна (48 проти 24). Розширене тестування у Mars Yard Лабораторії реактивного руху NASA (JPL) показало, що нові протектори краще витримують тиск від гострих каменів і забезпечують таке ж або краще зчеплення на піску, а також зменшують ризик втомного руйнування, що спостерігався в конструкції Curiosity [8].

					ПІМІ.БР-60.00.00.000 ПЗ	Арк.
Зм.	Арк.	№ докум.	Підпис	Дата		16

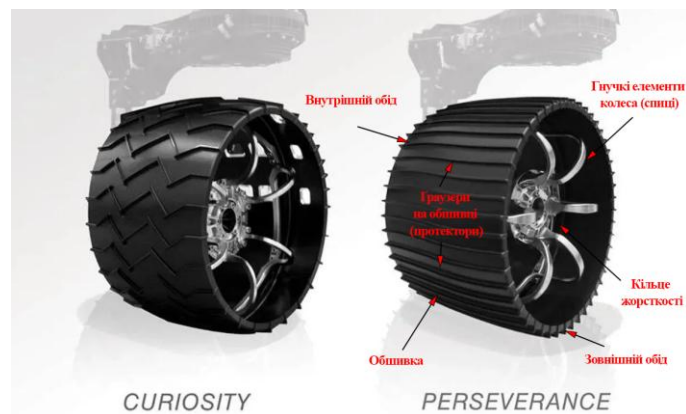


Рисунок 1.7 – Будова коліс Марсоходів[8].

Після успішного редизайну колеса виникла потреба покращити моделювання та точніше охарактеризувати поведінку колеса не лише під час руху по поверхні Марса, але особливо — під час посадки. У момент дотику до поверхні колеса піддаються значним деформаціям і напруженням. Внутрішнє дослідження JPL з моделювання посадкових навантажень показало: (1) існує невизначеність у врахуванні жорсткості колеса; (2) жорсткість колеса відіграє більшу роль у навантаженнях під час посадки, ніж очікувалося. У відповідь на це гнучкі елементи були оптимізовані на максимально можливу м'якість із збереженням структурної цілісності. [8].

Тому стало надзвичайно важливим точно визначити жорсткість і міцність нового колеса для підтвердження правильності розрахунків посадкових навантажень. [8].

Перероблене колесо марсохода Mars 2020 з оптимізованими гнучкими елементами було випробувано в JPL за допомогою візка механічного наземного допоміжного обладнання (MGSE), з гідравлічним циліндром, встановленим між ними, як показано на Рисунку 1.8. Установка була оточена опорною рамою для фотограмметрії, на яку були закріплені камери та освітлення. [8].

Статичні випробування колеса охоплювали загалом 32 навантажувальні випадки. Перші 30 призначались для визначення жорсткості, а останні два — для кваліфікації структури колеса. Випадки для визначення жорсткості були підібрані так, щоб охопити широкий спектр навантажень у різних точках колеса з метою повної характеристики жорсткості колісного вузла. [8].

Метою кваліфікаційного випробування було досягти 1,2-кратного граничного польотного навантаження (FLL) без шкоди для апаратури та 1,4-кратного FLL без катастрофічного руйнування випробуваного зразка. Пластина адаптера колеса змінювалася між навантажувальними випадками, щоб обертати колесо й відкривати різні точки кріплення, при цьому сенсор сили/моменту залишався нерухомим. Деталі щодо прикладення навантаження та розташування приладів показані на Рисунку 1.9. [8].

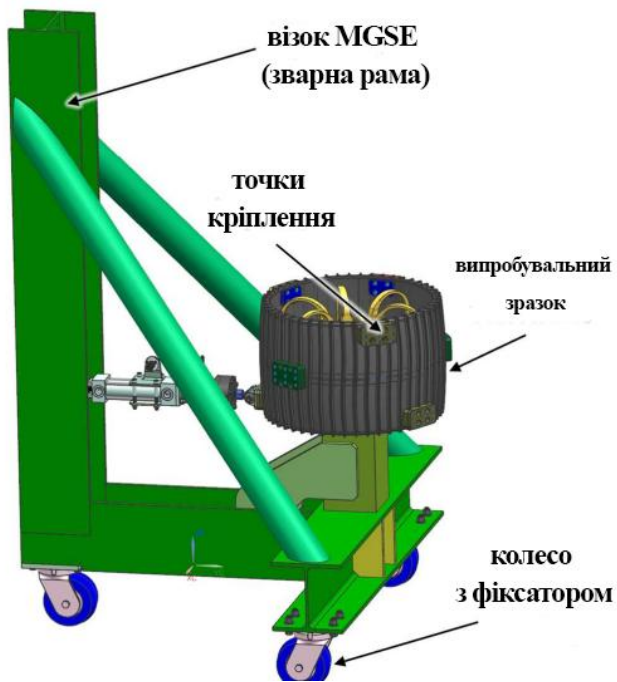


Рис.1.8 Візок MGSE з гідравлічним штоком і випробувальним зразком [8]

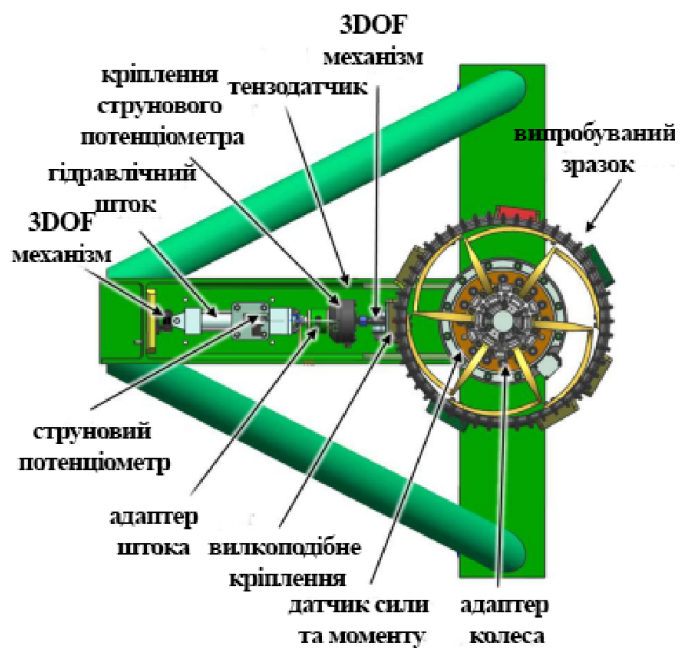


Рис.1.9 Застосування навантаження та навколишня апаратура (інструментування) [8]

Зм.	Арк.	№ докум.	Підпис	Дата

1.4 Рама та несуча конструкція

Корпус марсохода Perseverance називається «тепловий електронний блок» (англ. *Warm Electronics Box*, скорочено – *WEB*). Подібно до кузова автомобіля, корпус є міцною зовнішньою оболонкою, що захищає комп'ютер та електроніку марсохода — по суті, «мозок» і «серце» апарата. Корпус забезпечує захист і температурний контроль для всіх критично важливих систем марсохода. [9]

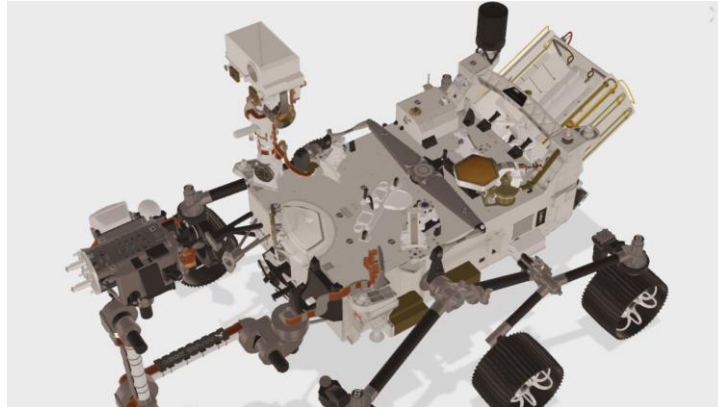


Рисунок 1.10 Корпус марсоходу [10]

Також корпус можна поділити на такі елементи :

- Основна рама - міцна і жорстка конструкція яка виготовлена з високоміцного алюмінієвого сплаву 7075 ,з'єднано це все титановими болти та вставки .Така конфігурація матеріалів дозволяє при невеликій масі витримувати сильні вібрації при посадці ,а також забезпечує довговічність при руху по нерівних поверхнях Марсу .
- Тепловий електронний блок – термоізоляційна частина рама яка крім того що захищає внутрішню електроніку від перепад температур ,а також від вібрацій і пилу ,виготовлена з багатошарової ізоляції зазвичай таке виготовляють з поліімідна фольга і каптону .
- Кронштейни підвіски жорстке кріплення для повороту Rocker-Bogie та передачі силових навантажень .Корпус виготовлений з титан Grade 5 ,а вісь обертання з загартованої нержавіючої сталі .
- Платформи для обладнання – яке має захист від вібрацій і деформацій .Виступає кріпленням для наукового обладнання ,камери ,антен і маніпулятора . Основа з алюмінієвий сплав (6061-T6) ,кріплення фіксатори ,вставки з титану.

					ПМІ.БР-60.00.00.000 ПЗ	Арк.
Зм.	Арк.	№ докум.	Підпис	Дата		19

2.МОДЕРНІЗАЦІЯ МОДЕЛІ МАРСОХОДУ

2.1 Загальний огляд базової моделі

За основу моделі марсоходу який розробляється для навчальних цілей ,було взято ,відкриту модель автора каналу і веб ресурсу “*How To Mechatronics*”.Він розробив 3д модель і програму для даної моделі .В подальших розділах буде розписана модернізація цієї моделі і процес її збірки .Але спочатку розглянемо цю базову моделі.



Рисунок 2.1 - марсохід “*How To Mechatronics*”[11]

Він використовує підвіску типу *rocker-bogie*, яка дозволяє плавно рухатися нерівною місцевістю та долати перешкоди, наприклад камені, розміром до подвійного діаметра колеса, зберігаючи при цьому контакт усіх шести коліс із поверхнею.Кожне колесо оснащено незалежним двигуном постійного струму (DC-мотором), що забезпечує рух марсохода вперед або назад. [11]



Рисунок 2.2 - підвіска *rocker-bogie*[11]

					ПМІ.БР-60.00.00.000 ПЗ	Арк.
Зм.	Арк.	№ докум.	Підпис	Дата		20

Чотири колеса по кутах марсохода оснащені індивідуальними сервоприводами для керування. Щоб ефективно здійснювати повороти та уникати пробуксовки коліс під час руху по кривій, використовується кермова геометрія Акермана (*Ackermann steering geometry*). Завдяки цій геометрії можна обчислити швидкість і кут повороту кожного колеса залежно від радіуса повороту, Рисунок 2.3 . Це означає, що під час повороту внутрішні керовані колеса матимуть більший кут повороту порівняно з зовнішніми. Одночасно внутрішні колеса рухатимуться повільніше, ніж зовнішні. [11]

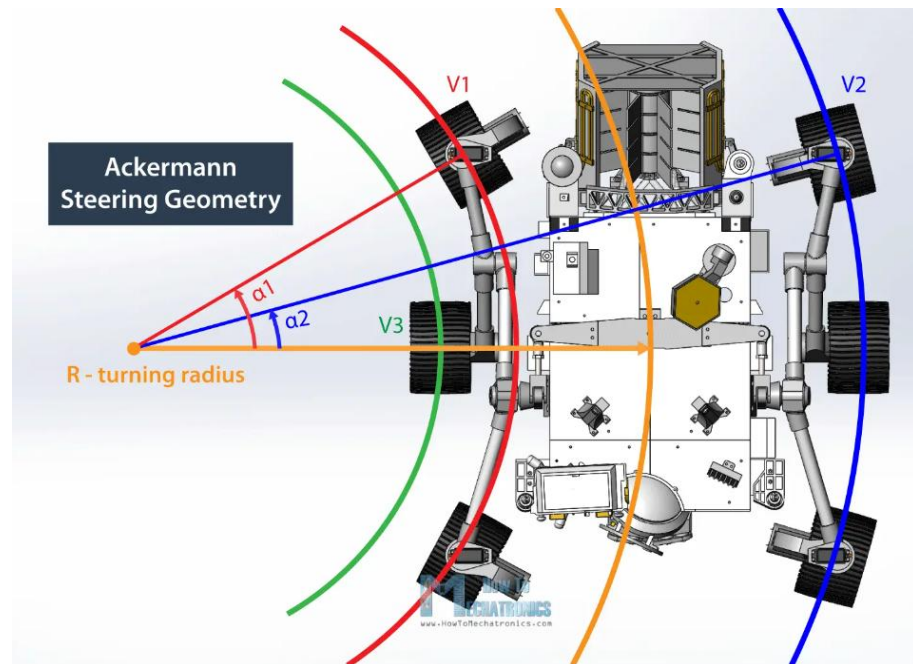


Рисунок 2.3 – Геометрія Акермана[11]

Рover керується за допомогою радіо пульта, який передає сигнал на приймач на roverі який вже в свою чергу з'єднаний з Arduino MEGA яка є "Мозком" марсоходу. Arduino керує моторами і серво приводами . Моторами керування відбувається через драйвери DRV8871. Живлення схеми відбувається через LiPo акумулятор для захисту приймача і Arduino використовується DC-DC понижувач XL4016 .

Марсохід також оснащений FPV-камерою, розміщеною в блоці камер. Вона керується за допомогою крокового двигуна та сервопривода, а відео в реальному часі я отримую на смартфон. [11]

									Арк.
									21
Зм.	Арк.	№ докум.	Підпис	Дата	ПІМІ.БР-60.00.00.000 ПЗ				

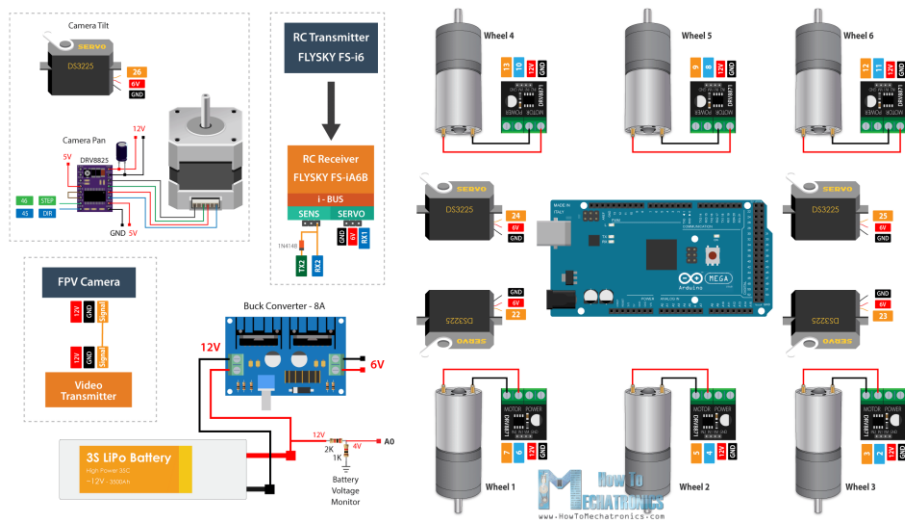


Рисунок 2.4 -схема підключення електроніки [11]



Рисунок 2.5 – Приклад роботи камери [11]

В цьому проекті автор зробив репліку яка включає не тільки основні елементи але й багато декоративних деталей .Моя задача стоїть в створенні основи яка вже зможе їздити і в подальшому яку можна модифікувати під різні задачі ,а також вивчати конструкцію в навчальних цілях .Тому модель яку я буду розробляти не буде мати таких елементів :

- Камери і відповідно конструкції під неї
- Декоративних елементів
- Обшивка рами буде відкритою

Завдяки такій конфігурації ровер чудово підходить для подальших модифікацій усіма, хто хоче глибше зануритися в цю тему.

Зм.	Арк.	№ докум.	Підпис	Дата

2.2 Модернізація механічної конструкції

Під час збірки моделі було виявлено пару недоліків конструкції ,які в цьому розділі будуть описані і виправленні.

Для моделювання деталей було використано програмне забезпечення AUTODESK Inventor версії 2026. Це 3D САПР якій має широкій інструментарій для проектування і моделювання, а також надає безплатні ліцензії для студентів .

Почнемо з з'єднання сервоприводу ,тут проблема в двох деталях в кронштейні сервоприводу і його важеля .

Кронштейн в оригіналі має такий вигляд дивитися на Рисунок 2.6 і 2.7.

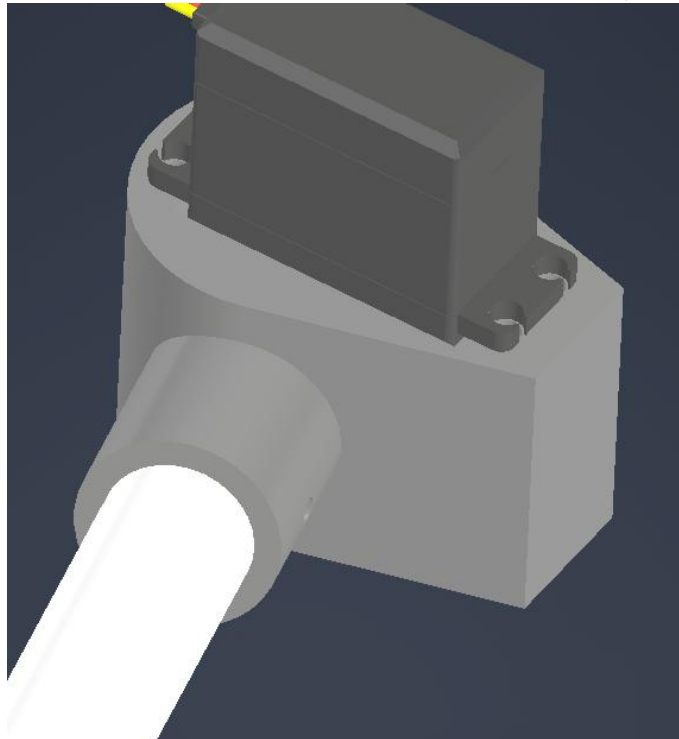


Рисунок 2.6 – кронштейн сервоприводу



Рисунок 2.7 - кронштейн сервоприводу

					ПІМІ.БР-60.00.00.000 ПЗ	Арк.
Зм.	Арк.	№ докум.	Підпис	Дата		23

Така конструкція кронштейну має недолік який не робить його надійним і не забезпечує виконання своєї функції .Основний недолік це те що саме серво не закріплено жорстко і немає нормального зчеплення з віссю обертання від цього виникають пропуски при обертанні .Тому перше рішення це створити спеціальне посадочне місце під серводвигун Рисунок 2.8.

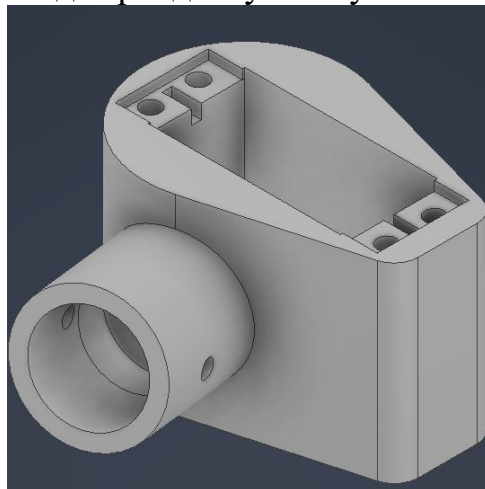


Рисунок 2.8 – посадкове місце

Таке поліпшення тримає сам сервопривід жорстко в кронштейні і не дозволяє йому рухатися .

Друга проблема це великий отвір між підшипниками через що вісь обертання могла рухатися не строго перпендикулярно відносно колеса ,це видно на рисунку 2.7.Рішення зменшити отвір до діаметру осі обертання ,плюс невеликий допуск на зазор. Результат на рисунку 2.8



Рисунок 2.8 – зменшений отвір під ось обертання

Третя проблема вже стосується особливості друку на FDM принтерах. Кронштейн кріпиться до підвіски через алюмінієву трубу .Отвір під цю трубу друкується горизонтально ,тому він спотворюється сильно і труба не сідає в нього. Рішення значно збільшити допуск посадки на зазор ,0.5мм, також в кінець отвору зробили конічним з ще більшим зазором .Ці зазори не вплинуть на лишній небакенний рух труби ,так як сама труба закріплюється болтом і гайкою самоблок. Результат на рисунку 2.9.Креслення цієї деталі є в додатку .

Зм.	Арк.	№ док.ум.	Підпис	Дата

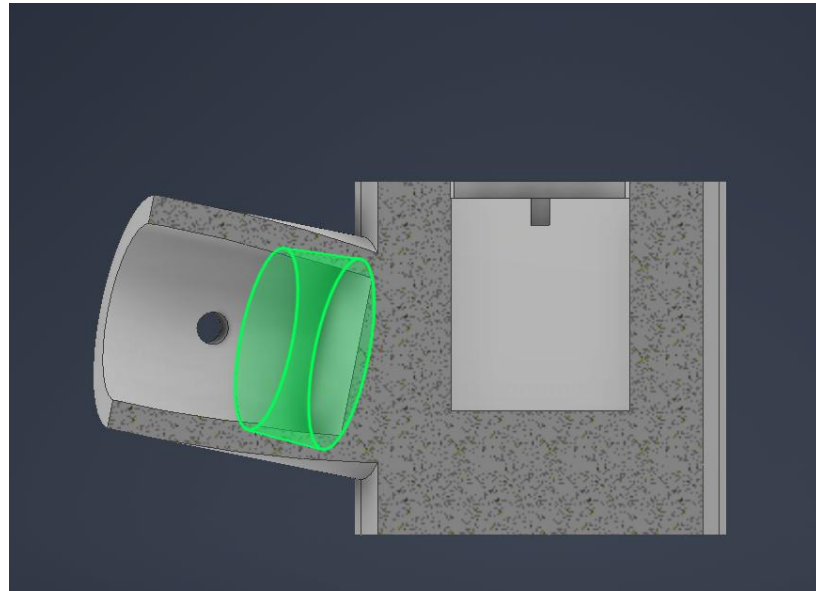


Рисунок 2.9 – Отвір під кріплення труби

Наступне розберемо які проблеми були в важеля сервоприводу .Основна його проблема це в допусках і посадках які не відповідають те що треба щоб закріпити його на сервоприводі ,а також встановити вісь обертання .Рішення просте збільшити розміри під отвори до кроштейну серводвигуна і також збільшити розмір шестикутника під вісь обертання яка являє собою болт М8 з плоскою головкою .Результат на Рисунку 2.10 , а також повне робоче креслення в Додатку.

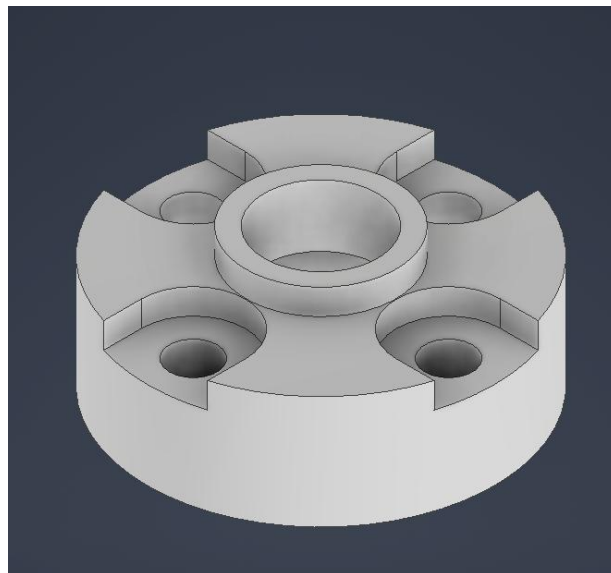


Рис.2.10 важіль сервоприводу

На рисунку 2.11 зображено порівняння між версіями ,зліва оригінальна, з права

					ПІМІ.БР-60.00.00.000 ПЗ	Арк.
Зм.	Арк.	№ докум.	Підпис	Дата		25



Рисунок .2.11 – Порівняння двох варіантів

Наступна деталь на розгляді муфта яка з'єднує обидва колеса з двигуном постійного струму. На рисунку 2.12 зображена оригінальна деталь.

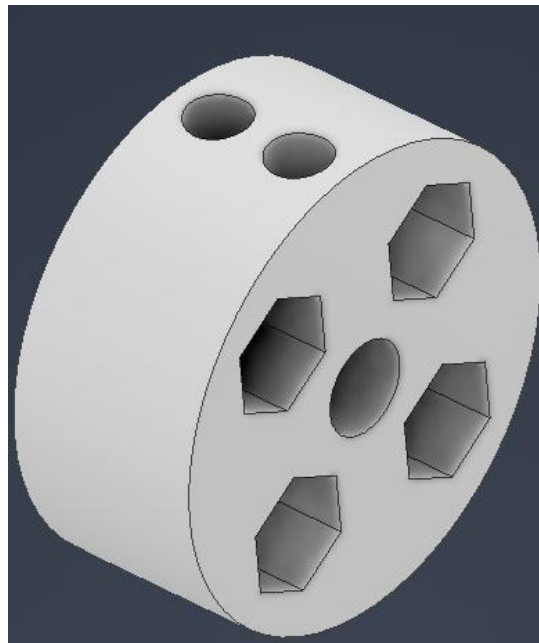


Рисунок 2.12 муфта

Тут Дві проблеми :

1. Не відповідний допуск деталі що робить не можливим без додаткової обробки насадити на двигун а також вставити гайки в відповідні пази

					ПІМІ.БР-60.00.00.000 ПЗ	Арк.
Зм.	Арк.	№ докум.	Підпис	Дата		26

2. По задумці тут мали б використовуватися установчий гвинт М4 ,але не було вказано якої він довжини і стандарту ,плюс ще можна додати те що в таких гвинтах кінець не плоский а конічний і не забезпечує міцного і надійного зчеплення з валом ,через що може крутитися мотор без муфти .

Тому рішення наступні :

1. Збільшити допуск посадок отворів
2. Замість установчих гвинтів використати звичайні болти М3 стандарту DIN 912 і сховати головки в муфті

Результат на рисунку 2.13 ,а також робоче креслення є в додатку

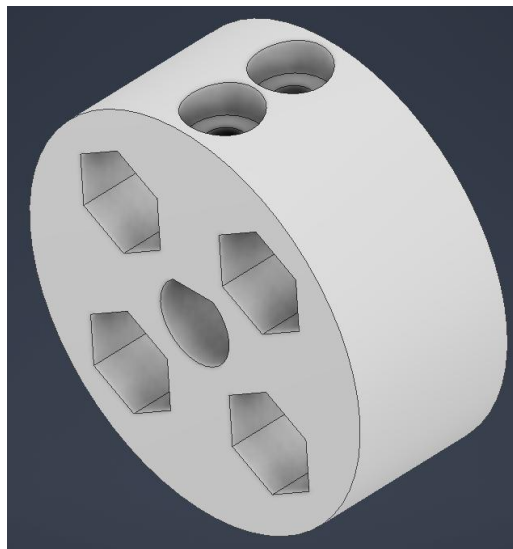


Рисунок 2.13 - модифікована муфта

Наступна деталь на це кронштейнів для алюмінієвих верстатних профілів .

Під час збірки було виявлено що стандарті кути для верстатних профілів ,приклад зображений на рисунку 2.14 ,не забезпечує потрібну жорсткість рами ,плюс ще одну причину те що вони не дуже широкодоступний товар через що ціна відповідна.

Тому мною було спроектовано кронштейн в вигляді пластини з стінками для надійної фіксації профілів ,і яку можна легко і швидко надрукувати на 3д принтері. Є 2 модифікації цієї пластини під різне з'єднання яка використовується ровері:

					ПІМІ.БР-60.00.00.000 ПЗ	Арк.
Зм.	Арк.	№ докум.	Підпис	Дата		27



Рис.2.14 - Алюмінієвий кут для верстатного профілю 2020

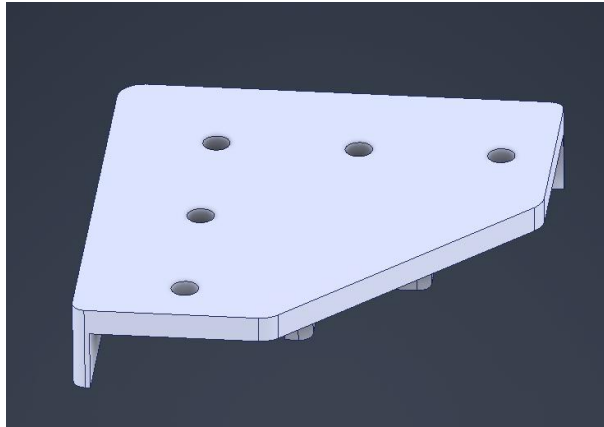


Рисунок 2.15 – кутовий кронштейн

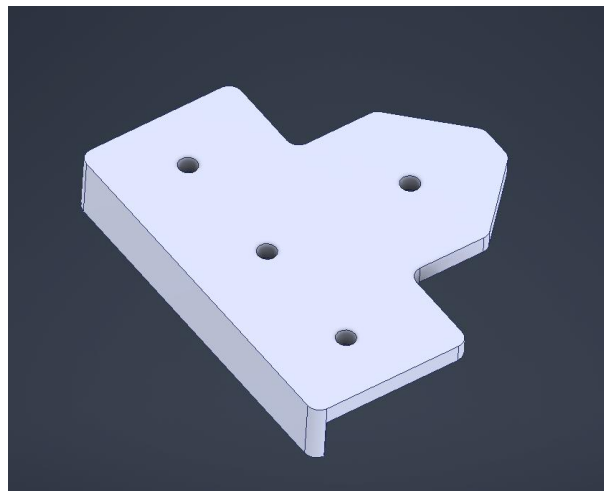


Рисунок 2.16 – т-подібний кронштейн

					ПІМІ.БР-60.00.00.000 ПЗ	Арк.
Зм.	Арк.	№ докум.	Підпис	Дата		28

Як має вигляд з'єднання з рамою зображено на рисунку 2.17 і 2.18.

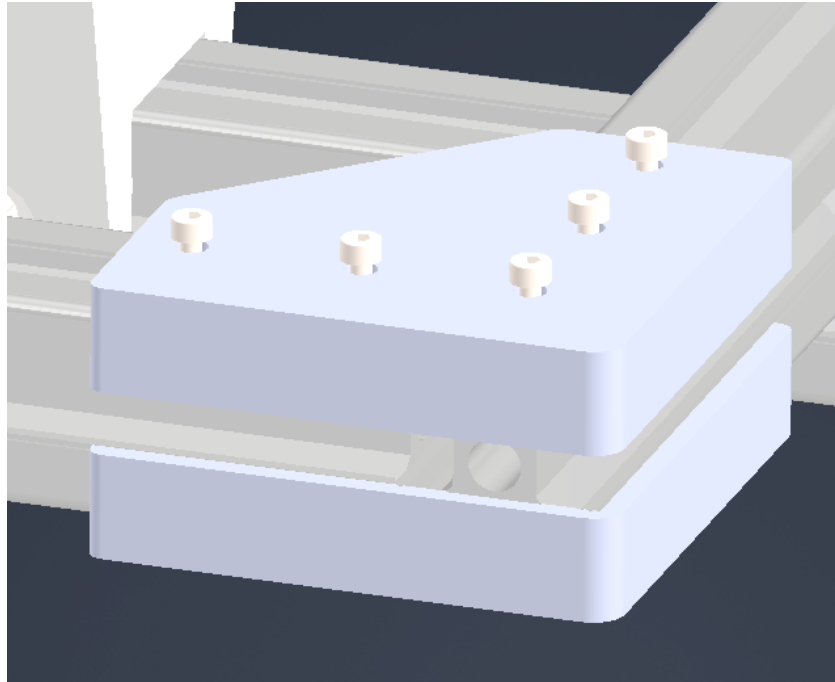


Рисунок 2.17 - з'єднання з рамою кутового кронштейну

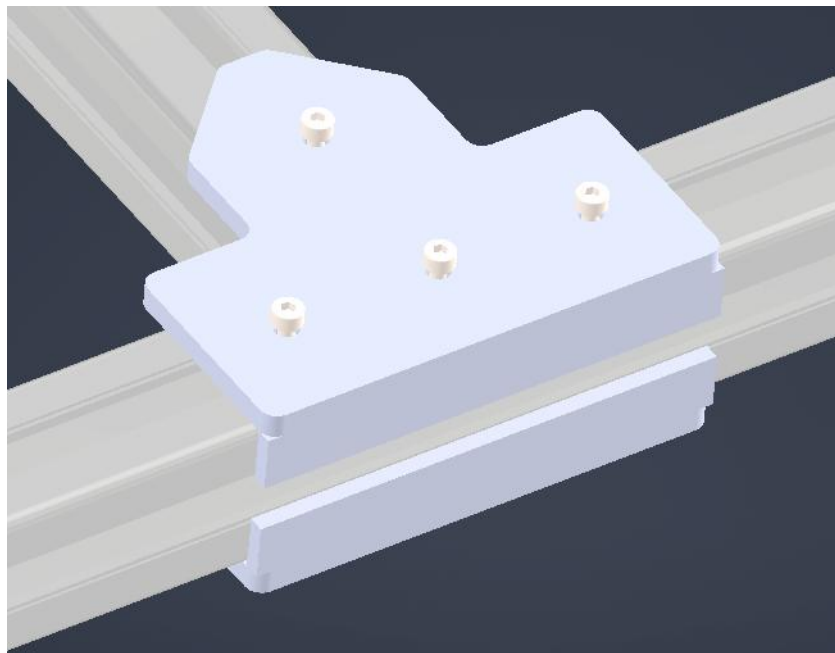


Рисунок 2.18 – з'єднання з рамою т-подібного кронштейну

					ПІМІ.БР-60.00.00.000 ПЗ	Арк.
Зм.	Арк.	№ докум.	Підпис	Дата		29

2.4 Оновлення електроніки керування

В цьому підрозділі буде описано оновлення електроніки керування . В оригінальній моделі використовується в ролі “мозку” ровера Arduino Mega , яка на даний час вже морально застаріла. Як в плані обчислювальних потужностей , так і плані можливостей . Тому прийнято рішення замість ардуїно використовувати мікроконтролер сімейства Esp32 , а саме плату розробника ESP32-WROOM Devkit V1(рисунок 2.19).Вона переважає Arduino Mega майже всьому ,також її головна особливість це те що в ній є вбудований модуль Wifi і Bluetooth.Що значно розширює можливості застосування плати в різних задач .Але і має свій негативний вплив в вигляді високого споживання енергії .Тому якщо треба високо енергоефективність треба розглядати інші варіанти. Але в випадку ровера ,збільшення споживання електроенергії не грає суттєвої ролі .В таблиці 2.1 наведено порівняння по основних характеристиках мікроконтролерах Arduino і Esp32.

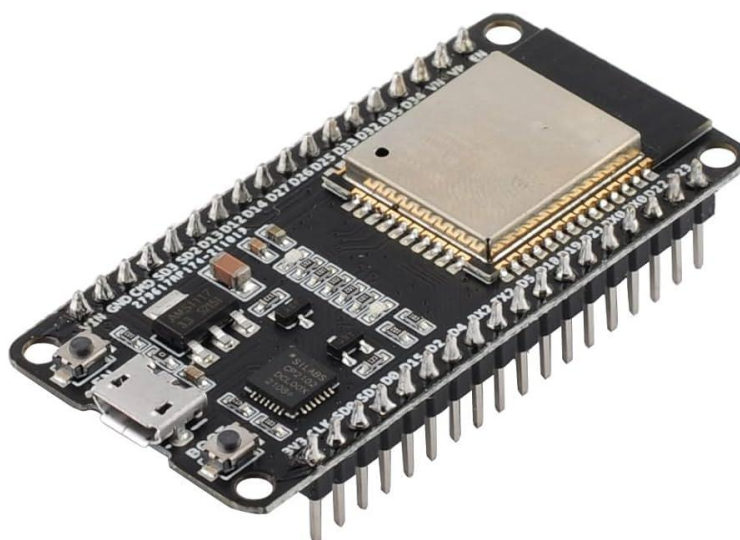


Рисунок 2.19 – плата розробника ESP32[12]

Таблиця 2.1 [13]

	ESP32	Arduino Mega2560
Флеш-пам'ять	4 МБ	256 КБ
SRAM	520 КБ	8 КБ
EEPROM	-	4 КБ
Тактова частота	240 МГц	16 МГц
Робоча напруга	3.3 В DC	7-12 В DC
Споживання струму	80 мА – 90 мА	150 мкА
Цифрові входи/виходи	36	54
Аналогові входи	18	16
ШИМ	16	14
UART	3	4
I2C	2	1
SPI	4	1
CAN	1	-
Wi-fi	Стандарт IEEE 802.11 b/g/n	-
Bluetooth	Bluetooth: v4.2 (BR/EDR, BLE)	-

Проект задовольняє потреби нашого проекту але є можливість розвинути і використати Wifi зв'язок замість радіо зв'язку що дозволить керувати ровером з любого ПК ,телефона який має доступ.

Друга ідея поліпшення це зменшення використання пінів мікроконтролера шляхом переведення керування на через плату посередника .Для цього було використано 16-канальний 12-бітний ШІМ/Серво драйвер на мікросхемі PCA9685 від компанії Adafruit.Це плата керується через інтерфейс протокол I2C ,відповідно дозволяє 2 проводами керувати 16 сервоприводами або драйверами моторів .В I2C є недолік в його швидкості обміну даних але в нашому випадку дані це не складні протоколи передачі даних і ровер сам по собі не рухається швидко і йому висока швидкодія інших протоколів як UART ,SPI або CAN не потрібна .

					ПІМІ.БР-60.00.00.000 ПЗ	Арк.
Зм.	Арк.	№ докум.	Підпис	Дата		31

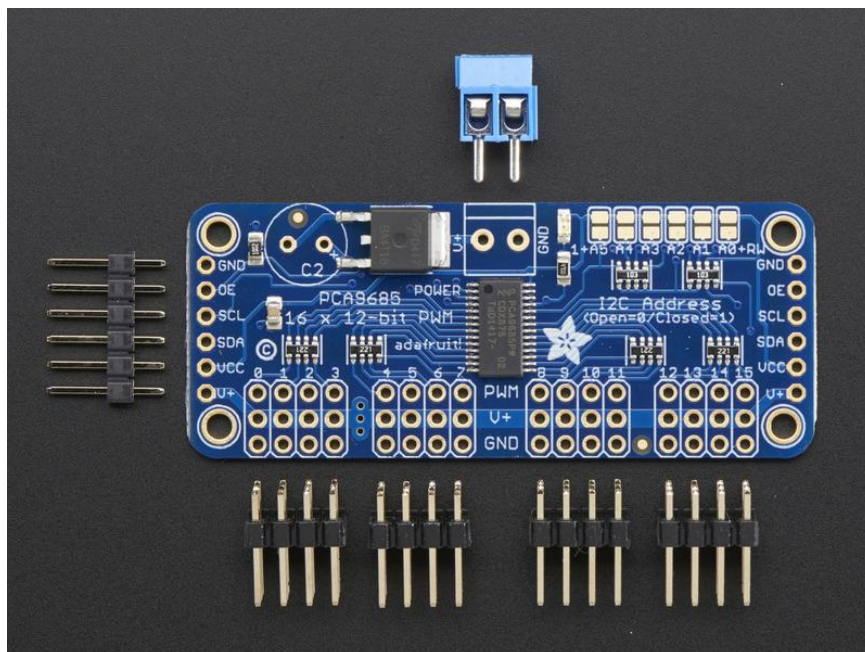


Рисунок 2.20 - драйвер на мікросхемі PCA9685 від Adafruit[14]

В проєкті це плата керує сервоприводами і також встановлює швидкість моторів . таким чином було зекономлено 10 пінів мікроконтролера. Схема підключення зображено на Рисунку 2.21.

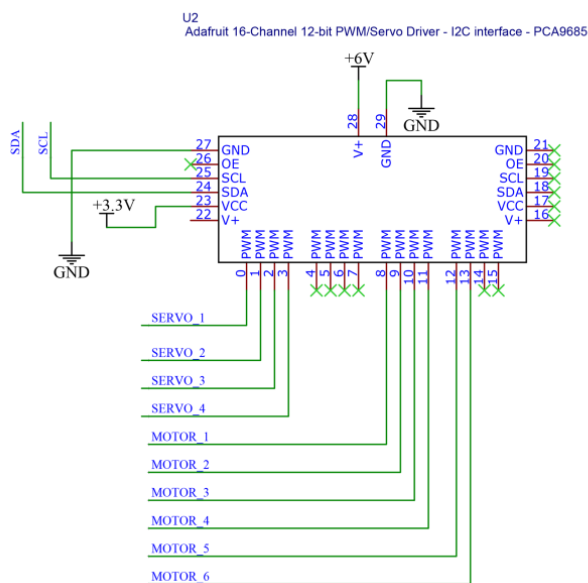


Рисунок 2.21 – схема підключення драйвера

Наступне що було змінено це драйвер для керування моторами. В проєкті автора “How to mechatronics” використовується драйвер на мікросхемі DRV8871. Це плата повністю задовільняє потреби моделі для керування моторами ,але має деякі недоліки. Перший недолік що ця плата є досить дорога і може коштувати більше ніж мікроконтролер esp32. Другий її недолік є як і плюсом так і мінусом ,це проста логіка керування .Керується двома контактами які встановлюють напрям обертання і швидкість. З таким керуванням кладно реалізувати складну логіку роботи коліс.

Тому це було замінено на драйвер двоканальний на мікросхемі TB6612FNG. Він дозволяє керувати одразу 2 двигунами ,задовольняє силові потреби в живленні моторів, має малу ціну .Цей драйвер має вдосконалену логіку керування ,має різні режими : гальмування ,зворотне обертання ,пряме обертання , Стоп ,очікування . в таблиці 2.2 наведена таблиця істинності для встановленні різних режимів .

Таблиця 2.2

IN1	IN2	PWM	STBY	OUT1	OUT2	Опис режиму
1	0	-	1	0	0	Гальмування
0	1	1	1	0	1	Зворотне обертання
0	1	1	1	0	0	Гальмування
1	0	1	1	1	0	Пряме обертання
1	0	0	1	0	0	Гальмування
0	0	1	1	0	0	Стоп
-	-	-	0	0	0	Очікування

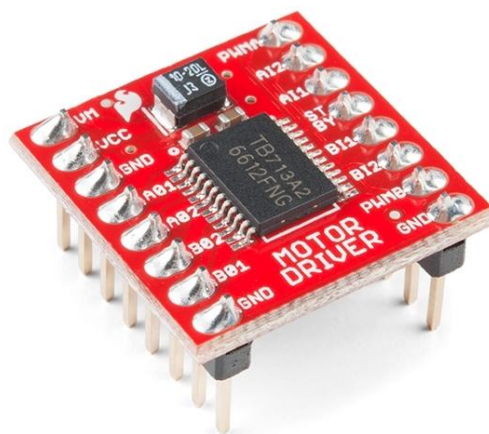


Рисунок 2.22 – Двоканальний драйвер моторів на TB6612FNG[15]

На рисунку 2.23 зображено схема підключення одно з драйверів ,в загальному в блоці керування використовується 3 таких драйвери.

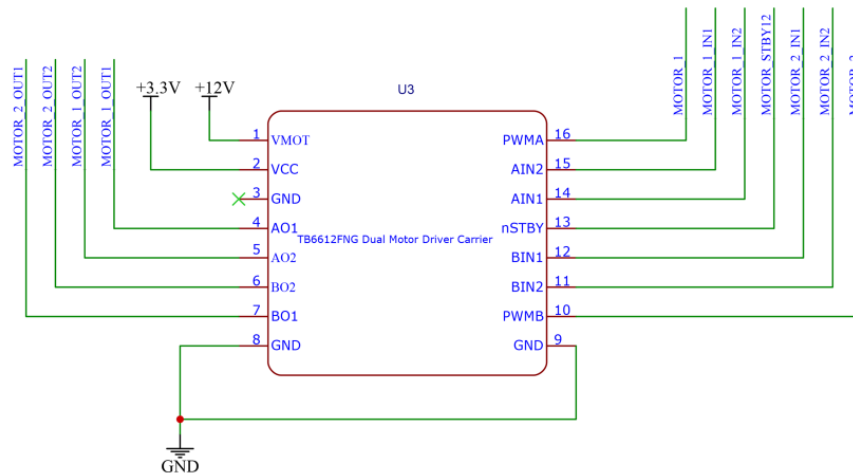


Рисунок 2.23 – Схема підключення драйвера TB6612FNG

Як висновок після цих поліпшень блок керування став дешевший в виготовленні, функціонал і обчислювальні потужності зросли завдяки заміні мікроконтролера. Також “делегуванні” керування сервомоторами і ШІМ сигналом драйверу PCA9685 вдалося зекономити контакти мікроконтролера для використання в подальших модифікацій. Заміна драйверів для двигунів постійного струму розширила можливості логіки без застосування складних алгоритмів також знизала вартість всього блоку. Загальна електрична принципова схема розміщена в додатку.

2.4 Оновлення програмного коду

В попередньому розділі було описано модернізацію електроніки блоку керуванні і відповідно таке оновлення вимагає оновлення програмного коду для нього. Програмне забезпечення будемо писати на Arduino Framework на мові програмуванні C++.

Раніше популярним рішенням для написання коду було використання Arduino IDE ,а зараз воно є застарілим засобом розробки який не дозволяє зручно і швидко писати програми для мікроконтролерів. Тому для цього буде використовувати сучасніший підхід ,використовувати середовище VS code з розширенням PlatformIO.

PlatformIO — це кросплатформний, кросархітектурний, багатофреймворковий професійний інструмент для інженерів вбудованих систем і розробників програмного забезпечення, які пишуть застосунки для вбудованих продуктів.[16].Цей інструмент має широкий функціонал :

- Система управління проектами .Кожний проєкт має конфігураційний файл *platformio.ini* в якому можна налаштувати :
 - Плату або MCU(board)
 - Компілятор/платформу(platform)
 - Фреймворк(framework)
 - Прапорці компіляції (build_flags)
 - Параметри логування ,інтерфейс прошивання і так далі
 - Стандартна структура проєкту як в більшості інших сфер програмування
 - Підтримує найрізноманітніші платформи(Arduino,ESP32 ,STM32, AVR,Rasbery Pi і інші) і фреймворки(Arduino Framework , ESP-IDF ,STM32Cube ,FreeRTOS ,CMSIS і інші)
 - Вбудоване Юніт-тестування для хосту(native) так і на самому залізі
 - Керування бібліотеками ,легко можна встановити оновити бібліотеку для потреб любого проєкту
 - Підтримує різні види моніторингу : серійний монітор ,фільтри ,логування в файл
 - Інтеграція з різними середовищами розробки : VS code , CLion ,Atom ,Eclipse
 - Різні види інтерфейсів налагодження (GDB ,ST-Link ,J-Link,OpenOCD)
- Як видно по списку можливостей зверху ,можна повністю впенитися що цей інструмент на декілька порядків кращий за звичайний Arduino IDE ,навіть для

									Арк.
									35
Зм.	Арк.	№ докум.	Підпис	Дата	ПІМІ.БР-60.00.00.000 ПЗ				

написання коду під саме Arduino.

Дальше розглянемо саму структуру коду .Проект складається з таких головних елементів :

- Файл конфігурації проекту platformio.ini в якому встановлюється тип плати ,фреймворк ,встановлюємо швидкість моніторингу і підключаємо необхідні бібліотеки . файл має наступний вигляд:

```
[env:esp32doit-devkit-v1]
platform = espressif32
board = esp32doit-devkit-v1
framework = arduino
monitor_speed = 115200
lib_deps =
    blynkkk/Blynk
    adafruit/Adafruit PWM Servo Driver
    Library@^3.0.2
```

- Файл config.h включає в собі констатні змінні налаштувань контактів для сервомоторів ,фрагмент коду:

```
//конфігурування каналів керування
#define SERVO_1 0
#define SERVO_3 1
#define SERVO_4 2
#define SERVO_6 3

#define MOTOR_STBY12 13

#define MOTOR_1 8
#define MOTOR_1_IN1 14
#define MOTOR_1_IN2 12

#define MOTOR_2 9
#define MOTOR_2_IN1 27
#define MOTOR_2_IN2 26
```

- І головний файл коду програми main.cpp в якому розміщена вся логіка прошивки ,його ми розберемо детально .

Головний файл можна розділити на такі під блоки : підключення бібліотек , оголошення змінних ,блок функцій ,блок налаштування і блок вічного циклу .

В проекті використовуються дві основні бібліотеки :

“Adafruit_PWMServoDriver.h” і “BlynkSimpleEsp32.h”

“Adafruit_PWMServoDriver.h” -бібліотека для керування 16 канальним драйвером ШІМ/Серво на мікросхемі PCA9685 ,через протокол I2C.В проекті використовуються наступні функції з цією бібліотеки :

- Для роботи з драйвером необхідно створити об’єкт його класу :

					ПІМІ.БР-60.00.00.000 ПЗ	Арк.
Зм.	Арк.	№ докум.	Підпис	Дата		36

```
// Драйвер серво PCA9685
```

```
Adafruit_PWMServoDriver pwm = Adafruit_PWMServoDriver();
```

- В функції PCA9685_init використовуються функції базового ініціалізації драйвера .Функції :begin для ініціалізації і перевірки чи правильно підключений драйвер до мікроконтролера ,setPWMPfreq функція встановлення частоти виходу з драйвера для сервоприводів і моторів ,код функції наведений нижче :

```
// Ініціалізація PCA9685
```

```
void PCA9685_init(int servoInitAngle)
```

```
{
```

```
    // Ініціалізація PCA9685
```

```
    if (!pwm.begin())
```

```
    {
```

```
        Serial.println("Помилка ініціалізації PCA9685!");
```

```
        while (true); // Зупинка, якщо ініціалізація не вдалася
```

```
    }
```

```
    else
```

```
    {
```

```
        Serial.println("PCA9685 успішно ініціалізовано.");
```

```
    }
```

```
    pwm.setPWMPfreq(50); // Частота для сервоприводів (50 Гц)
```

```
    setServoPWMViaPCA9685(SERVO_1, servoInitAngle);
```

```
    setServoPWMViaPCA9685(SERVO_3, servoInitAngle);
```

```
    setServoPWMViaPCA9685(SERVO_4, servoInitAngle);
```

```
    setServoPWMViaPCA9685(SERVO_6, servoInitAngle);
```

```
}
```

- Функція setServoPWMViaPCA9685 встановлює довжину імпульсу ШІМ сигналу для сервоприводу ,в ній використовується функція з бібліотеки setPWM ,в ній є 3 параметри : перший це номер каналу в якій треба встановити ШІМ ,наступний рівень імпульсу на початку і останній рівень імпульсу в кінці :

```
// Встановлення ШІМ для серво
void setServoPWMLViaPCA9685(uint8_t servoChannel, int microseconds)
{
    uint16_t pulseLength = map(microseconds, 0, 180, SERVO_MIN, SERVO_MAX);
    pwm.setPWM(servoChannel, 0, pulseLength);
}
}
```

Наступна бібліотека на огляд - “BlynkSimpleEsp32.h”.

Blynk – це повністю інтегрована платформа Інтернету речей, яка не залежить від обладнання. Вона має мобільні додатки, хмарні сервіси і дозволяє керуванням пристроями, аналітикою даних і машинним навчанням.[17]

Блінк є це повним набором програмного забезпечення, необхідного для створення прототипу, розгортання та віддаленого керування підключеними електронними пристроями в будь-якому масштабі: від персональних проєктів IoT до мільйонів комерційних підключених продуктів.[17]

Платформа забезпечує практично усе, що вам потрібно для створення підключеного обладнання та керування ним. Це підготовка (provisioning) пристроїв, візуалізація даних датчиків, дистанційне керування за допомогою мобільних і веб-додатків, оновлення мікропрограми по повітрю (OTA), безпечна хмара, аналіз даних, керування користувачами та доступом, сповіщення, автоматизація та багато іншого більше.[17]

Хоча цей сервіс більше призначений для інтернет речей ,але в додатку є віджети для які позвлять нам керувати ровером. На рисунку 2.24 зображений інтерфейс керуванням ровера :

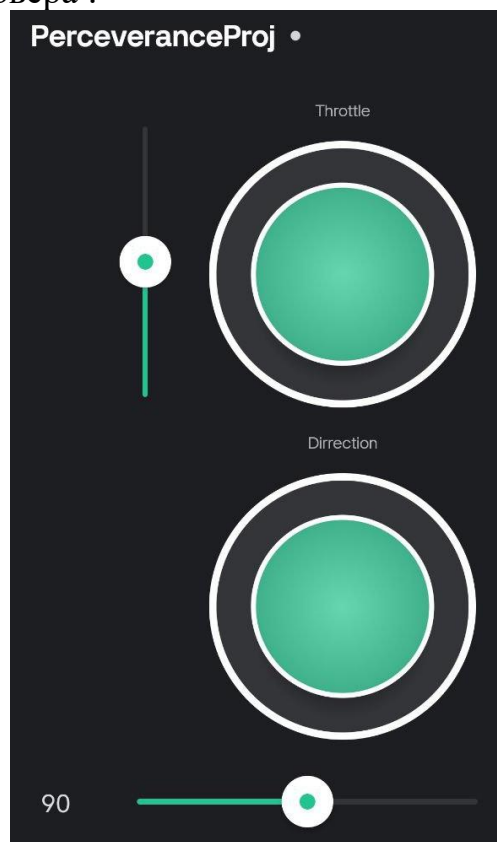


Рис.2.24 – Інтерфейс керування в Blynk App

Цей інтерфейс є простим але дозволяє замінити радіопульт і дозволить керувати моделлю з будь-якого смартфона або комп'ютера в якого є доступ до акаунту Blynk ,Тепер розглянемо як реалізувати це керування в коді :

- Для початку треба підключитися до Wifi і до серверів Blynk ,для цього треба такий перелік константних змінних :
BLYNK_TEMPLATE_ID , BLYNK_TEMPLATE_NAME ,
BLYNK_AUTH_TOKEN , auth , ssid ,pass. Тепер ми можемо підключитися за допомогою функції ініціалізації :

```
Blynk.begin(auth, ssid, pass);
```

- Наступне треба визначити функції зворотного зв'язку з сервера ,які працюють по принципу переривання і встановлюють нове значення змінної швидкості і кута :

```
//Функція виклику Blynk V1
```

```
BLYNK_WRITE(V1)
```

```
{
```

```
  XPlot = param.asInt(); // Отримати значення кута з повзунка (0-180)
```

```
}
```

```
//Функція виклику Blynk V2
```

```
BLYNK_WRITE(V2)
```

```
{
```

```
  YPlot_b = param.asInt(); // Отримати значення кута з повзунка (-90-90)
```

```
}
```

- Для того щоб зв'язок тримався стабільно треба в вічному циклі програми викликати функцію Blynk.run()

Тут показані всі етапи необхідні щоб зв'язати ровер з сервісами Blynk ,як видно це все просто і не потребує великих знань щоб це реалізувати.

Наступним розглянемо як реалізовані алгоритми обчислення для кінематики марсоходу .Алгоритм керування реалізований за кермова геометрія Акермана.

В ровера є 4 колеса які повертаються тому треба робити 4 розрахунки два для внутрішніх і два для зовнішніх коліс .Згідно геометрії зробимо формули 2.1...2.4 ,приставка до змінної In означає внутрішні колеса ,Out - зовнішні ,F - переднє ,B - заднє :

$$\text{angle_In_F} = \tan^{-1} \left(\frac{D_3}{r+D_1} \right) \times \frac{180}{\pi} \quad (2.1)$$

$$\text{angle_In_B} = \tan^{-1} \left(\frac{D_2}{r+D_1} \right) \times \frac{180}{\pi} \quad (2.2)$$

$$\text{angle_Out_F} = \tan^{-1} \left(\frac{D_3}{r-D_1} \right) \times \frac{180}{\pi} \quad (2.3)$$

$$\text{angle_Out_B} = \tan^{-1} \left(\frac{D_2}{r-D_1} \right) \times \frac{180}{\pi} \quad (2.4)$$

Сталі величини ланок підвіски : $D_1=271$ мм $D_2=278$ мм $D_3=301$ мм $D_4=304$ мм .Змінна r - це загальний радіус на який має повернутися колеса ,є вхідної змінної величиною який отримується від пульта.В кодї ці формули мають наступний вигляд :

// Обчислити кут для кожного сервоприводу на основі заданого радіуса повороту

```
void calculateServoAngle(int radius)
```

```
{
```

```
thetaInnerFront = round((atan((LINK_D3 / (radius + LINK_D1)))) * 180 / PI);
```

```
thetaInnerBack = round((atan((LINK_D2 / (radius + LINK_D1)))) * 180 / PI);
```

```
thetaOuterFront = round((atan((LINK_D3 / (radius - LINK_D1)))) * 180 / PI);
```

```
thetaOuterBack = round((atan((LINK_D2 / (radius - LINK_D1)))) * 180 / PI);
```

```
}
```

Дальше треба обчислити швидкість колїс ,є два сценарїї якщо кут повороту в межах 90 то це означає що модель знаходиться в прямому положенні отже швидкість всіх пар колїс однакова ,в інакшому випадку ,є 3 швидкості. Це обчислюється за допомогою формул 2.5...2.7 :

$$s_1 = s \quad (2.5)$$

$$s_2 = s \times \frac{\sqrt{D_3^2 + (r-D_2)^2}}{r+D_4} \quad (2.6)$$

$$s_3 = s \times \frac{r-D_4}{r+D_4} \quad (2.7)$$

Величина s це змінна величина швидкості яка отримується від пульта .В кодї обчислення швидкості має наступний вигляд :

					ПІМІ.БР-60.00.00.000 ПЗ	Арк.
						41
Зм.	Арк.	№ докум.	Підпис	Дата		

```

// Обчислення швидкості двигунів
void calculateMotorsSpeed(int radius, int speed)
{
    // Якщо немає кермового впливу, швидкість усіх коліс однакова — прямолінійний рух
    if (YPlot > 89 && YPlot < 91)
    {
        speed1 = speed2 = speed3 = speed;
    }
    // Під час повороту швидкість коліс залежить від значення радіуса повороту
    else
    {
        // Зовнішні колеса, найдальші від центру повороту, мають найбільшу швидкість
        // Через геометрію ровера всі три зовнішні колеса повинні
        // обертатися майже з однаковою швидкістю.
        // Різниця становить лише близько 1%, тому вважаємо їх однаковими.
        speed1 = speed;
        // Внутрішні передні та задні колеса ближче до точки повороту і мають нижчу
        // швидкість порівняно із зовнішніми колесами
        speed2 = speed * sqrt(pow(LINK_D3, 2) + pow((radius - LINK_D1), 2)) / (radius + LINK_D4);
        // Внутрішнє середнє колесо найближче до точки повороту і має найнижчу швидкість
        speed3 = speed * (radius - LINK_D4) / (radius + LINK_D4);
    }

    // Значення швидкості від 0 до 100% конвертується у PWM від 0 до 4095
    speed1PWM = map(round(speed1), 0, 100, 0, 4095);
    speed2PWM = map(round(speed2), 0, 100, 0, 4095);
    speed3PWM = map(round(speed3), 0, 100, 0, 4095);
}

```

					ПІМІ.БР-60.00.00.000 ПЗ	Арк.
Зм.	Арк.	№ докум.	Підпис	Дата		41

3.ВИГОТОВЛЕННЯ МОДЕЛІ

3.1Вибір матеріалів для друку та стандартних елементів

Виготовлення моделі почнемо з вибору матеріалів з яких вона буде зроблена. Вибір матеріалів спираються на особливості конструкції і її як вона буде використовувється а також на обмеження 3Д друку. Також беручи до уваги що модель призначена для навчальних цілей, треба додати критеріями були доступність матеріалів, легкість і доступність технічної обробки та достатня механічна міцність для імітації реальної конструкції.

В моделі використовуються в більшості використовується для 3д друку філамент PLA .Його головна перевага це доступність і легкість друку ,також він забезпечує необхідну міцність і жорсткість для моделі,але у в усіх вузлах моделі. Наприклад в підвісці є одне місце сили зависокі і PLA не витримує ,тому треба використати більш міцніший матеріал ABS ,на рисунку 3.1 з чорного пластику виготовлений шарнір хитуна .

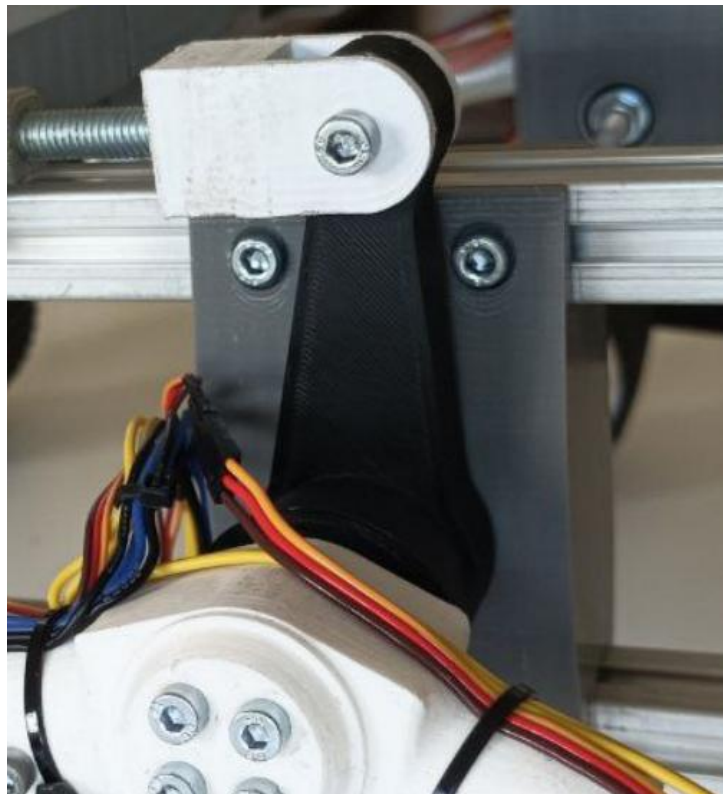


Рис.3.1 – шарнір хитуна з ABS

					ПІМІ.БР-60.00.00.000 ПЗ	Арк.
Зм.	Арк.	№ докум.	Підпис	Дата		42

Також в ровера є потенціал до заміни деяких деталей з PLA на PETG , він не був зроблений переважно з нього по причині коли друкувалися основні деталі цей філамент не був сильно поширений а також він вимагає вищих температур що не кожний принтер зміг би з ним впаритися .Іншою проблемою є те що самі колеса також зроблені з PLA але він досить жорсткий для такої деталі ,тому краще було б надрукувати його з гнучкого пластику такий як TPU ,але через досить великі вимоги до самого 3д принтера і величину самої деталі ,друкування такої деталі вимагає принтер промислового рівня, тому треба було приймати компромісне рішення.

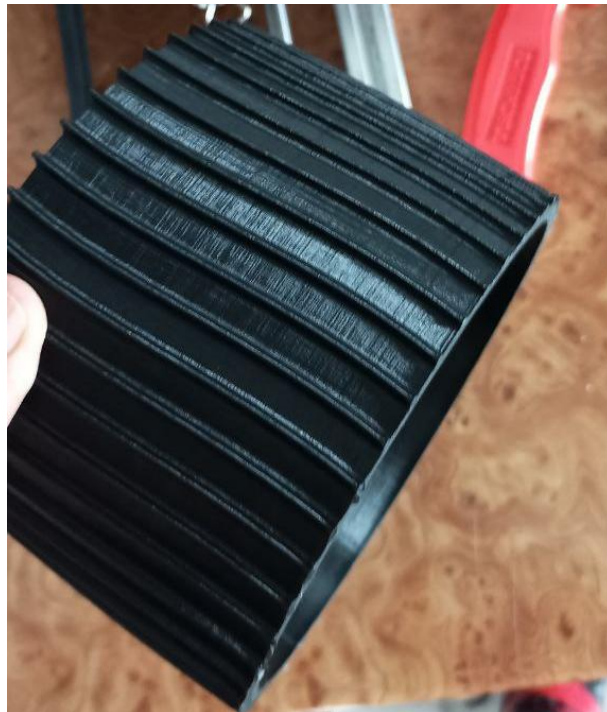


Рисунок 3.2 – Колесо виготовлене на 3д принтері PLA пластиком

Крім пластикових деталей в моделі використовуються стандарті деталі такі як алюмінієві труби і верстатні алюмінієві профіля 20x20 .Причина їх вибору дуже проста, вони є міцними легко доступними і легко обробляються .

					ПІМІ.БР-60.00.00.000 ПЗ	Арк.
Зм.	Арк.	№ докум.	Підпис	Дата		43

3.2 Особливості підготовки моделей до друку

Виготовлення деталей на 3д принтері є один з складних і найдовших етапів всієї розробки і виготовлення моделі ,це зумовлено тим що 3д принтер хоч і дозволяє виготовлювати дешево складної форми деталі ,але в нього також є недоліки такі як :

- Мала швидкість виготовлення деталей, деякі деталі друкувалися більше 10 годин
- Деталі не виходять точними і треба робити додаткову механічну обробку
- Довга підготовка ,кожну деталь вимагає правильного коригування вихідного файлу для друку ,а також треба підготувати сам принтер для роботи ,перевірити подачу пластику рівень стола і так далі
- Великий процент браку ,навіть якщо все було перевірено на етапі підготовки ,брак може сягати до 30%

Але не дивлячись на всі ці недоліки виготовлення моделі є набагато легшим і дешевшим якщо б це робилися традиційними методами виготовлення .Також ця індустрія не стоїть на місці і постійно розвивається що більшість недоліків які я перерахував вище значно зменшилися за останні роки.

Основна більшість деталей було виготовленна 3д принтері VERNERFAB і3 v 2.1.



Рисунок 3.3 – принтер VERNERFAB і3 v 2.1.[18]

Принтер VERNERFAB і3 2.1 — це модифікована версія популярної конструкції Prusa і3, орієнтована для вивчення 3D-друку.Кінематична схема типу Cartesian(Декартива) ,екструдер типу Bowden ,робоча зона 220x220.

Також використовувався принтер Flying Bear Ghost 5 – це можна сказати вже наступне покоління доступних принтерів .Цей принтер перевершує попередній в усіх параметрах має більшу область друку (255x210 мм) ,має міцну металеву раму яка зменшує вібрації ,сучасне програмне забезпечення і багато іншого .

					ПІМІ.БР-60.00.00.000 ПЗ	Арк.
Зм.	Арк.	№ докум.	Підпис	Дата		44



Рисунок 3.4 – принтер Flying Bear Ghost 5 [19]

Для підготовки моделей необхідний слайсер ,для виготовлення моделі марсоходу було використано Ultimaker Cura. Це безкоштовне програмне забезпечення для підготовки і нарізанні моделі на g-code для 3д принтера. Розглянемо підготовку деталі до друку на прикладі обіду колеса .Парметри на які треба звернути для підвищення міцності : товщина стінок(wall thickness) ,товщина низу(Bottom thickness) і верху(Top thickness) і процент заповнення (infill destiny).Також треба звернути на температуру для філаменту ,цей параметре відрізняється від виробника пластику тому треба слідувати рекомендаціям ,а також дещо змінювати відносно того як друкує сам принтер .Також деякі моделі для успішного друку треба друкувати підтримки(support).Отже щоб надрукувати деталь до колеса були зміненні такі параметри :

- Товщина стінок 1.6 мм
- Товщина низу 0.8 мм
- Товщина верху 0.8 мм
- Процент заповнення 50%
- Температура хотенда 225 °C
- Температура стола 65 °C
- Підтримки включенні

Такі параметри мають баланс між міцність і швидкості друку .На рисунку 3.5 зображенне вікно в Cura з готовою моделлю яку можна розглянути пошарова як буде друкуватися деталь ,стільки займе часу виготовлення і витрати по пластику в грамах і м. З часом в Cura є проблема ,він не відображає дійсну затрату принтера для деталі .Наприклад обід колеса мав би друкуватися 7 годин 46 хвилин ,а в реальності цей час треба множити на 1.25 і 1.35 щоб приблизно оцінити реальний час друку .

					ПІМІ.БР-60.00.00.000 ПЗ	Арк.
Зм.	Арк.	№ докум.	Підпис	Дата		45

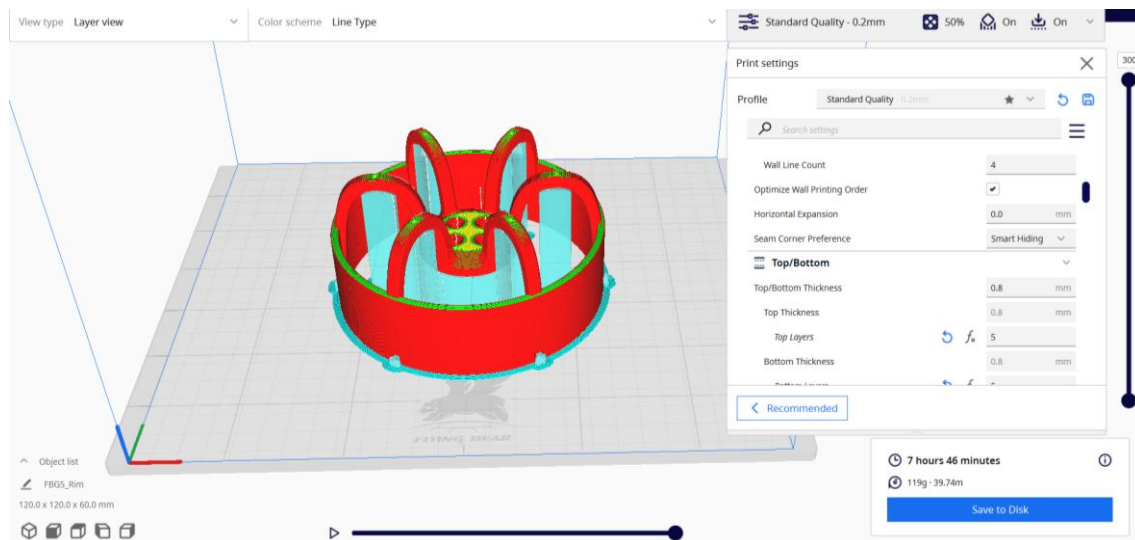


Рисунок 3.5 – “нарізана” модель для друку обіду колеса

Решта деталей друкувалися з подібними параметрами. Виняток становить деталі виготовлення з ABS. Друк цим пластиком для відкритого типу принтерів, є справжнім випробуванням, цей пластик має більшу міцність ніж PLA але під час друку він є набагато слабшим, і любий потік лишнього повітря може заставити модель розійтися по шарам пластику, тому крім підняття температури хотенда до 250 °C і стола 90°C, також треба зменшити швидкість друку до 50мм/с, і один з самих головних параметрів це відключення охолодження моделі (Enable print cooling), також через те що модель яка друкувалася з ABS це шарнір хитуна, повинна на себе сприйняти великі навантаження процент заповнення збільшений на 75%.

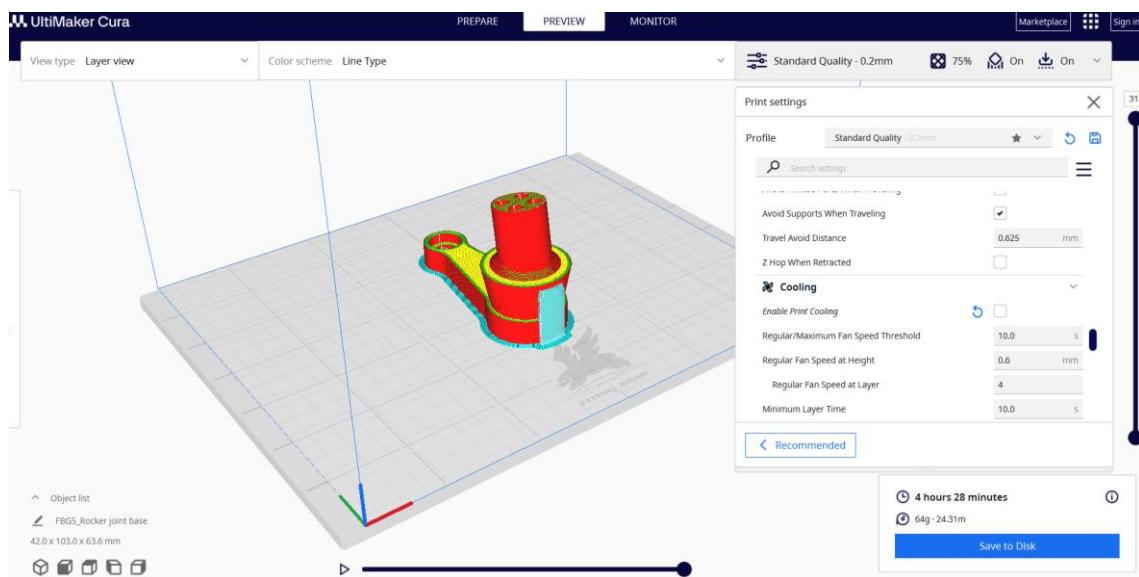


Рисунок 3.5 підготовлена модель до друку шарніра хитуна

					ПІМІ.БР-60.00.00.000 ПЗ	Арк.
Зм.	Арк.	№ докум.	Підпис	Дата		46

3.3 Використання стандартних виробів і компонентів

В моделі використовується великий список стандартних виробів ,дальше коротко розглянемо основні кріпильні компоненти. В основному всі болти стандарту DIN 912 ,через їх міцність ,легкість монтування і доступність .Крім гвинтів також застосовуються різьбові стержні ,вони використовуються щоб з'єднати диференціальний шарнір з шасі і рамою .Гайки представленні 3 видами : звичайні по типу DIN 934 ,само блокуючі Din985 і Т-подібні для алюмінієвих профілів 20x20 .Шайби використовуються в з'єднанні частин шасі ,щоб розподілити навантаження ,а також зменшити тертя на пластикові деталі.



Рисунок 3.6 – Гайки самоблок М8 DIN 985



Рисунок.3.7 – Болти М5х38

Для рухливих ланок використанні підшипники кулькові однорядні стандарту DIN 6xxRS ,різних діаметрів. Також використовуються шарнір кульковий наконечник стандарту ISO 12240-4.

					ПІМІ.БР-60.00.00.000 ПЗ	Арк.
Зм.	Арк.	№ докум.	Підпис	Дата		47



Рисунок 3.8 – Підшипник DIN 625RS



Рисунок 3.9 – Шарнір кульковий наконечник ISO 12240-4 [20]

В проекті в ролі основи рами рами використовуються верстатні алюмінієві профілі 20x20 ,забезпечують необхідну жорсткість і міцність рами .

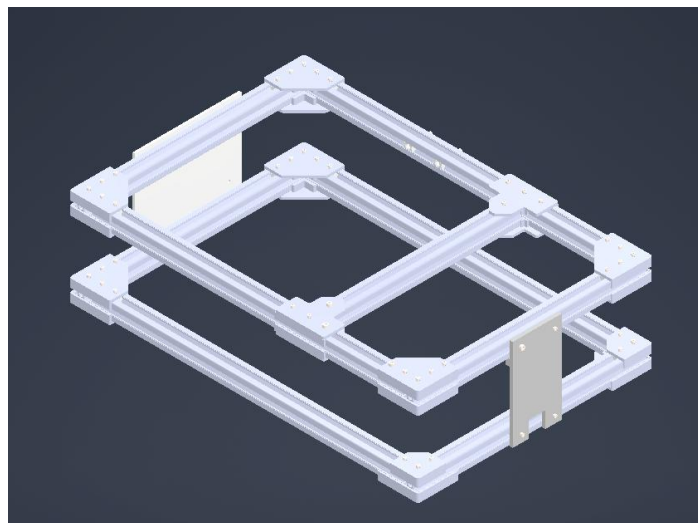


Рисунок 3.10 – конструкція рами марсохода

					ПМІ.БР-60.00.00.000 ПЗ	Арк.
Зм.	Арк.	№ докум.	Підпис	Дата		48

З'єднання ланок в Rocker-Bogie реалізоване через алюмінієві труби діаметром 20.



Рисунок 3.11 – частина шасі марсоходу

В ровері використовується редукторні електродвигуни XD-37GB555 з можливістю регулювання їх швидкості. Вони мають напругу живлення 12В,максимальний струм 3А ,номінальний струм 0.6-1.5А ,потужність 15Вт.Діаметр двигуна 37мм ,діаметр вала 6 мм, циліндричний тип редуктора, мають високий крутний момент ,50 обертів на хвилину .



Рисунок 3.11 – редукторний електродвигун XD-37GB555[11]

В марсоході використовуються серводвигуни DS3230 Pro ,для здійснення поворотів. Серводвигун має наступні характеристики : робоча напруга 6-8.4 вольта ,крутний момент до 30кг*см, металеві шестерні з сталі ,розмір 40.5x20x40.5,керування через ШІМ сигнал з частотою 50Гц.

					ПІМІ.БР-60.00.00.000 ПЗ	Арк.
Зм.	Арк.	№ докум.	Підпис	Дата		49



Рисунок 3.12 – серводвигун DS3230 встановлений на марсоході

					ПІМІ.БР-60.00.00.000 ПЗ	Арк.
Зм.	Арк.	№ докум.	Підпис	Дата		50

3.4.Збірка механічної та електричної частини моделі

В цьому розділі я опишу основні етапи збірки моделі марсоходу.

Почнемо з збирання трьох опорної ланки шасі особливість збірки цієї ланки полягає в тому щоб всі отвори через які з'єднуються ланки були на одній лінії ,це можна легко зробити притиснувши трубу і провести олівцем ,а потім зробити отвори в потрібних місцях .



Рис.3.13 -збірка Vogie частини шасі

Дальше щоб завершити ланку треба зібрати під ланки коліс з сервоприводом і без .

З ланка з сервоприводом має особливість в приєднанні кронштейна до деталей з'єднання колеса ,це з'єднання виконане в вигляді висі болта з головкою під ключ який обертається на двох підшипниках один кінець висі з'єднаний з важелем сервопривода а другий з'єднання колеса №2 через само блокуючу гайку, фрагмент на якому зображено це креслення на рисунку 3.14

					ПІМІ.БР-60.00.00.000 ПЗ	Арк.
Зм.	Арк.	№ докум.	Підпис	Дата		51

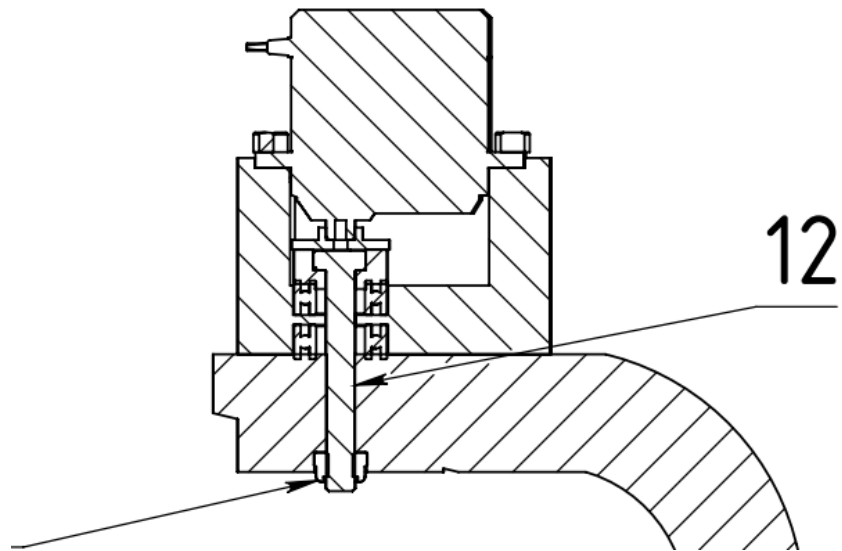


Рисунок 3.14 – з'єднання кронштейна сервопривода з колесом

Саме колесо з'єднуються через муфту яка встановлюється на ва електродвигуна. На рисунку 3.15 показано як обід колеса з'єднається з муфтою через 4 болти М4 і 4 самоблокуючі гайки ,звернути увагу треба на те що гайки розміщені в протилежний бік до болтів з розвернуті лицем до двигуна .

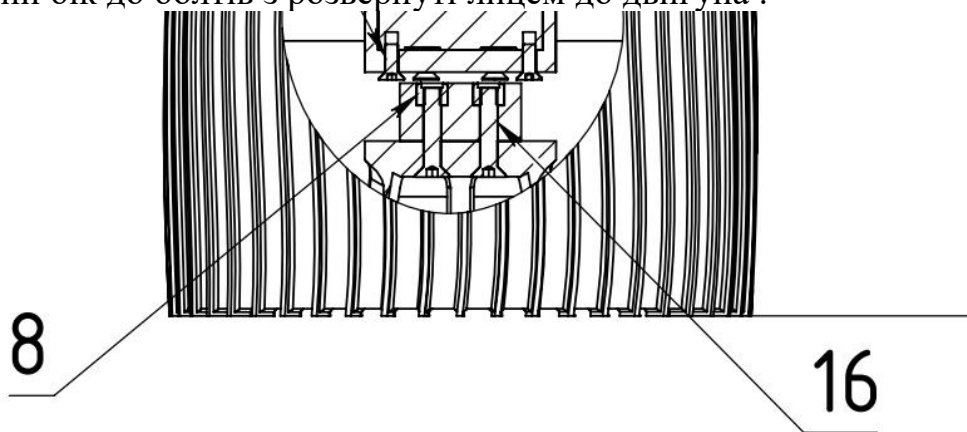


Рисунок 3.15 – з'єднання муфти з обідом колеса

					ПІМІ.БР-60.00.00.000 ПЗ	Арк.
Зм.	Арк.	№ докум.	Підпис	Дата		52

Тепер ми можемо скласти половину ланки шасі .На цьому етапі треба правильно закріпити Bogie до решти Rocker ,щоб підвіска працювала плавно і мала достатню міцність. На рисунку 3.16 показане це з'єднання ,як видно з рисунку ця вісь з'єднання через болт і підшипники щоб зменшити тертя використовуються підшипники

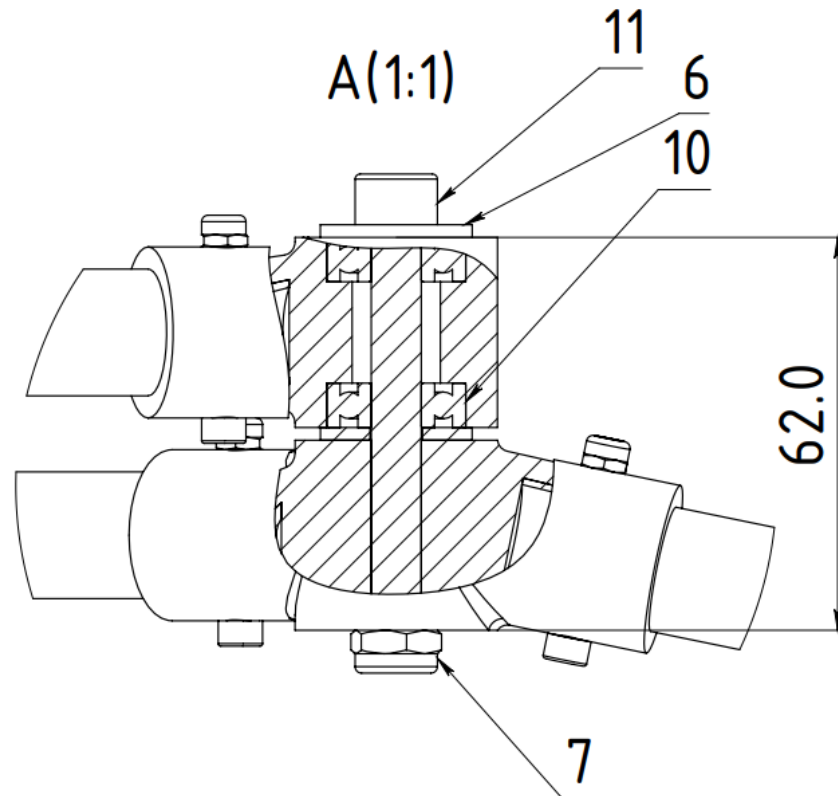


Рисунок 3.16 з'єднання шасі



Рисунок 3.17 Перша збірка шасі

Дальше розберемо основні моменти збірки рами. Спочатку треба зібрати верхню і нижні основи рами за допомогою кутників-кришок які були описані раніше ,за допомогою болтів і т-подібних гайок для верстатних профілів .

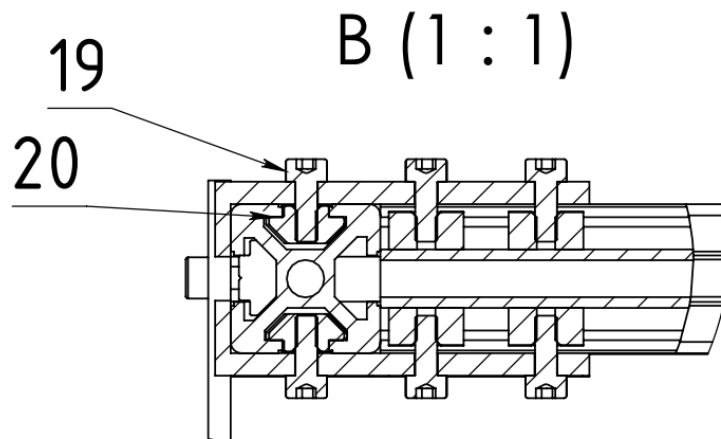


Рисунок 3.18 – кріплення кутників до профілів

Тепер треба посадити диференціальний шарнір на раму ,він закріплюється за допомогою рухомої вісі ,як показано на рисунку 3.19.

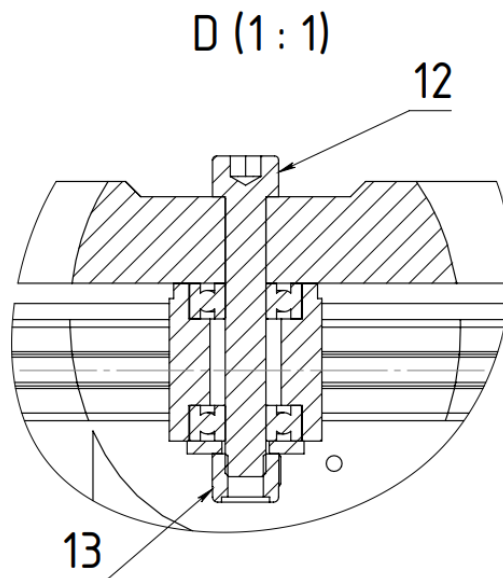


Рисунок 3.19 – з'єднання диференціального шарніру

					ПМІ.БР-60.00.00.000 ПЗ	Арк.
Зм.	Арк.	№ докум.	Підпис	Дата		54

Диференціальний шарнір з'єднаний з шасі через шарнір кульковий наконечник який вже приєднується через різьбовий стержень який фіксується болтами стандарту ISO 4032.

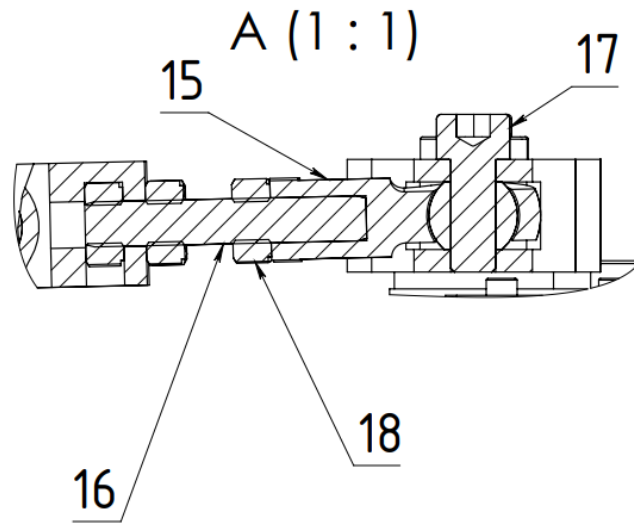


Рисунок 3.20 – зелення диференціального шарніру з шасі

Саме шасі кріпиться до рами через шарнір хитуна ,сам хитун має в собі впаяні латунні втулки М4 стандарту VN1052 щоб забезпечити надійне різьбове з'єднання.Хитун з рамою з'єднаний подібним шляхом як і інші рухомі з'єднання через підшипникову опору ,на рисунку 3.21 зображене це з'єднання.

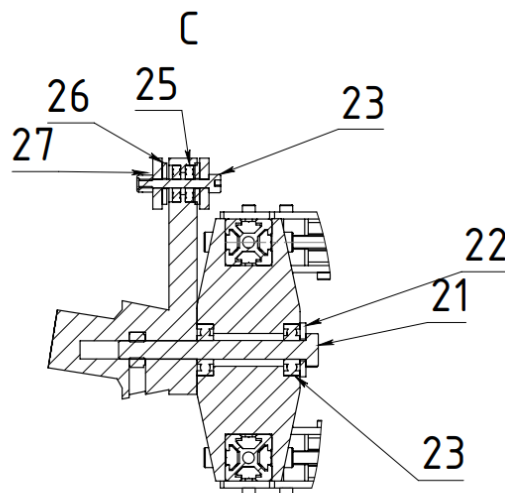


Рисунок 3.21 – з'єднання з хитуна з рамою

					ПМІ.БР-60.00.00.000 ПЗ	Арк.
Зм.	Арк.	№ докум.	Підпис	Дата		55

Деякі моменти я пропустив бо вони прості і очевидні з креслень які зображені в додатках і не потребують уваги .Тепер можна перейти до монтажу електронної частини марсоходу.

Почнемо з того все живлення і логічні сигнали під'єднанні до блоку керування як показано на рисунках 3.22 і 3.23 .

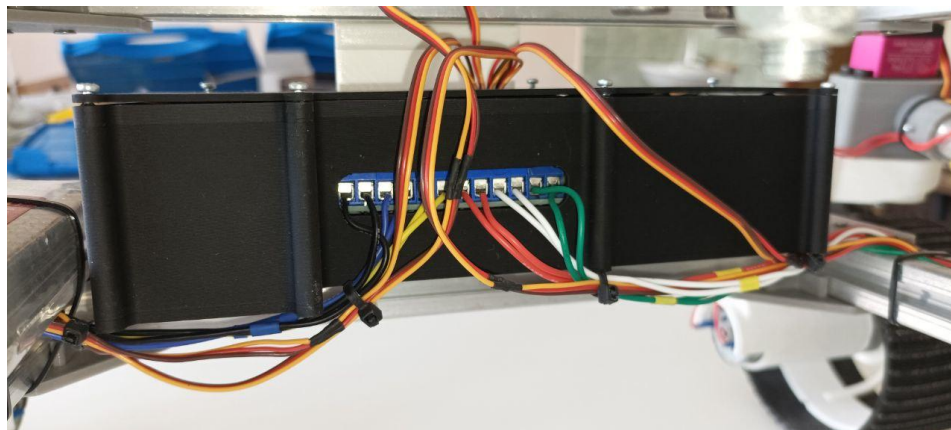


Рисунок 3.22 – передній вихід проводки



Рисунок 3.23 - Верхній вихід проводки

Проводка реалізоване проводами в силіконовій ізоляції ,також треба з'єднувати джгути стяжками щоб проводка прилягали до марсохода .

Виконавши всі монтажні роботи результат збірки можна поглянути на рисунках 3.25..3.28.

					ПІМІ.БР-60.00.00.000 ПЗ	Арк.
Зм.	Арк.	№ докум.	Підпис	Дата		56

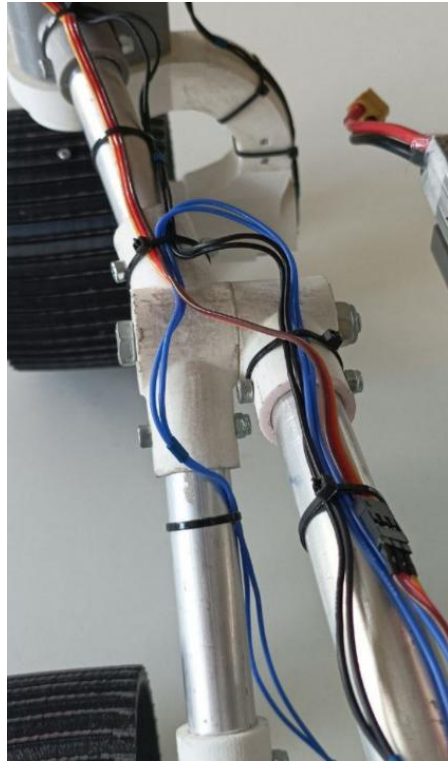


Рисунок 3.24 – монтаж проводки на шасі

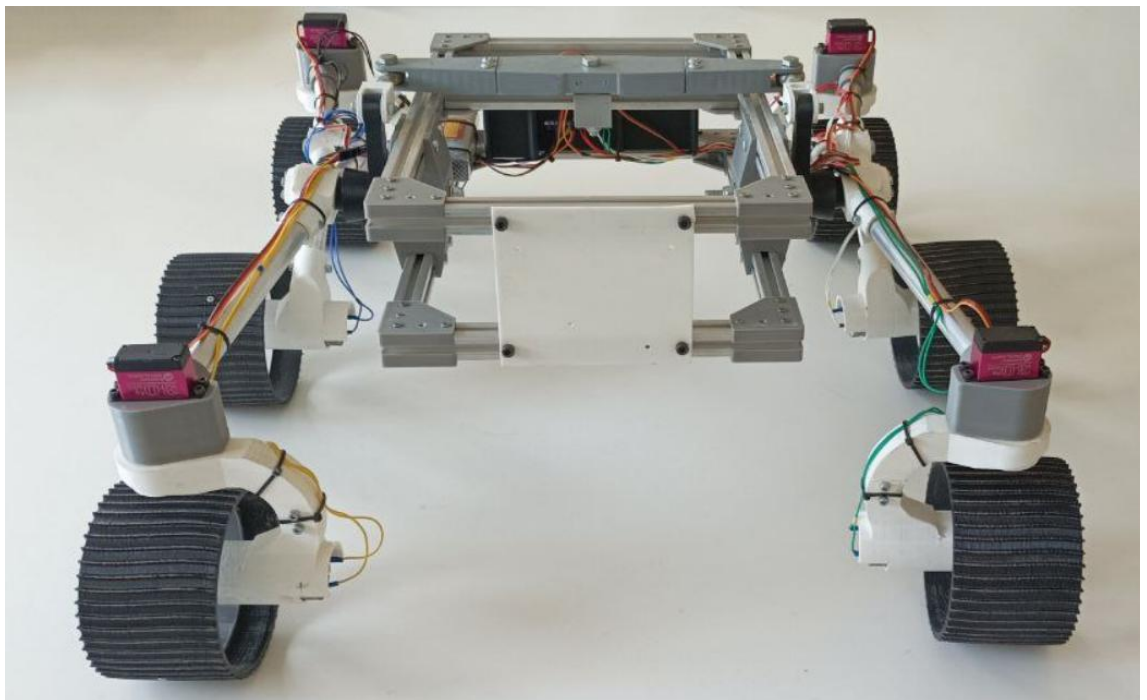


Рисунок 3.25 – модель марсоходу

					ПІМІ.БР-60.00.00.000 ПЗ	Арк.
Зм.	Арк.	№ докум.	Підпис	Дата		57

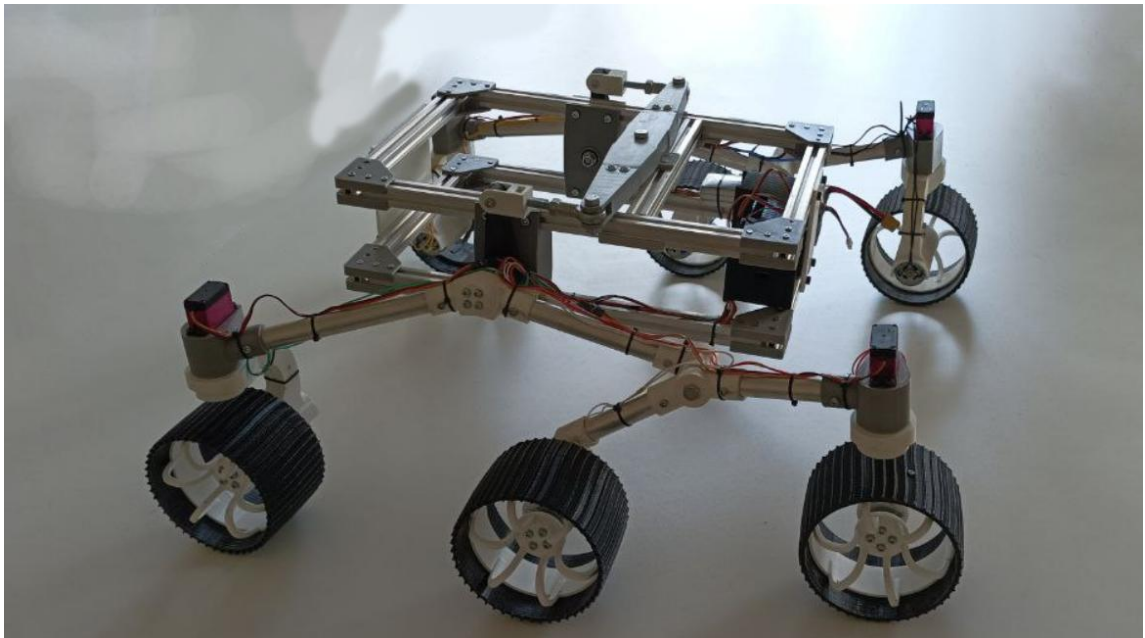


Рисунок 3.26 – модель марсоходу

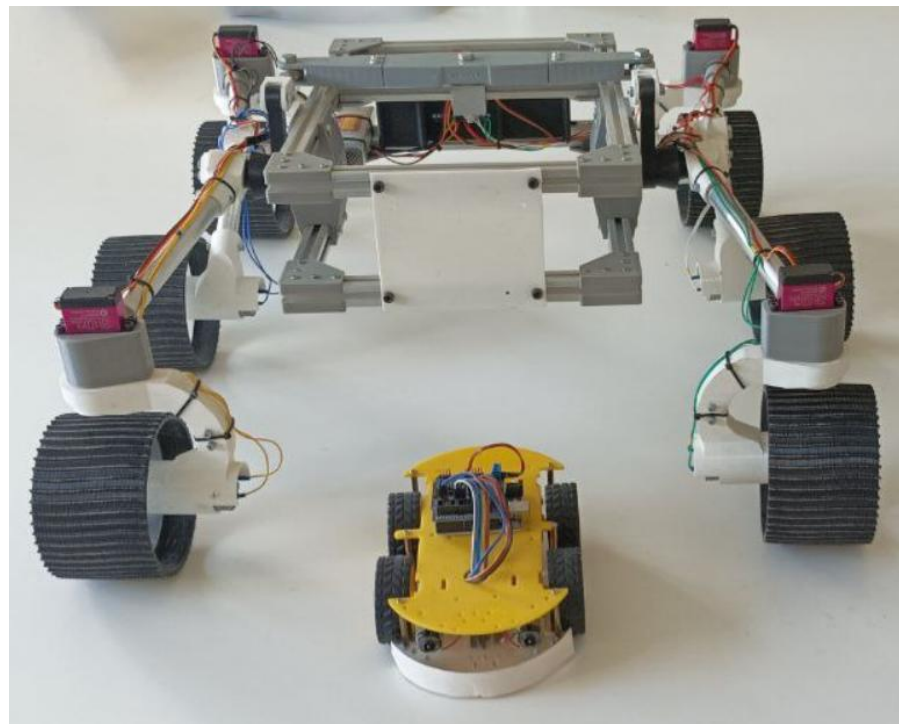


Рисунок 3.27 – порівняння габаритів ”стандартних” роботів

					ПІМІ.БР-60.00.00.000 ПЗ	Арк.
Зм.	Арк.	№ докум.	Підпис	Дата		58

ВИСНОВКИ

У ході виконання роботи було досягнуто поставлену мету — розроблено відносно просту ,доступну ,функціональну і модульну модель марсохода для навчальних цілей.

На основі аналізу літературних джерел ,відкритих технічних матеріалів та документацій марсоходу Perseverance було детально розглянуто особливості будови конструкції .Було детально розглянуто такі елементи як : підвіска типу Rocker-bogie ,конструкцію коліс ,рама та несучі елементи .

Було проведене модернізацію базової моделі ,врахувавши її слабкі місця і усунення їх з створення або модернізації вже наявних деталей .Щоб забезпечити надійність і жорсткість необхідну для цієї конструкції .

Також було проведено поліпшення блоку керування і програмного забезпечення для підвищення його модульності .І відповідно було переписано програмне забезпечення. Після цієї модернізації підвищена загальна обчислювальна здатність ,можливість керування через Wifi ,зменшено використання виводів з мікроконтролера для модальної модернізації марсоходу .

Було підготовлено всі STL-файли для друку деталей ,обранні відповідні матеріали і параметри для кожної деталі . Обрані стандарти компоненти ,для подальшої збірки механічної і електричної частини.

Описовно основні етапи збірки з увагою на нюансами кресленням для наглядності для заміни комплектуючих в разі необхідності модернізації або ремонту.

Практичне значення цієї модель завдяки своїй модульності має великий потенціал для подальших розробок таких як : автоматична навігація ,сенсорні системи для збору даних ,рука маніпулятор і тому подібне.

Такими чином ,результат проробленої роботи показує потенціал цієї моделі для навчальних цілей і показує її як інструмент технічної освіти і розвитку технічно практичних навичок.

					ПМІ.БР-60.00.00.000 ПЗ	Арк.
						59
Зм.	Арк.	№ док.ум.	Підпис	Дата		

СПИСОК ВИКОРИСТАНИХ ДЖЕРЕЛ

1. Science NASA mission [Електронний ресурс] // Mars-2020 Perseverance rover . URL: <https://science.nasa.gov/mission/mars-2020-perseverance/>
2. NASA mars [Електронний ресурс] //Mars2020 Fact sheet URL: https://mars.nasa.gov/files/mars2020/Mars2020_Fact_Sheet.pdf
3. NASA mission [Електронний ресурс] // Devil’s in Details in Selfie Taken by NASA’s Mars Perseverance Rover.–URL: <https://www.nasa.gov/missions/mars-2020-perseverance/perseverance-rover/devils-in-details-in-selfie-taken-by-nasas-mars-perseverance-rover/>
4. Space.com [Графічний матеріал].// Perseverance rover: Everything you need to know URL: <https://www.space.com/perseverance-rover-mars-2020-mission>
5. Space.com [Графічний матеріал]. // Sojourner: The first successful Mars rover URL: <blob:chrome-untrusted://image-magnify/cbd01a2c-4814-4af0-99d4-460da0a90ebc>
6. Hackaday [Електронний ресурс]. // Blog by Lewin day : Rocker Bogie Suspension:The Beloved Solution To Extra-Planetary Rovers URL: <https://hackaday.com/2023/09/14/rocker-bogie-suspension-the-beloved-solution-to-extra-planetary-rovers/>
7. JLP NASA [Графічний ресурс] // Ramp-drive-test-for-curiosity-mars-rover URL: <https://www.jpl.nasa.gov/images/pia13383-ramp-drive-test-for-curiosity-mars-rover/>
8. NTRS NASA [Електронний ресурс]. // Utilizing 3D-DIC on the Mars 2020 Rover Wheel Assembly: Test-Analysis Correlation URL: <https://ntrs.nasa.gov/api/citations/20220015213/downloads/2023%20IEEE%20Aerospace%20Conference-Full%20Paper-20221003-NWG-JCH-SK-MKC-TFJ.pdf>
9. Science NASA [Електронний ресурс]. // Mars 2020: Perseverance Rover Rover Components URL: <https://science.nasa.gov/mission/mars-2020-perseverance/rover-components/>

					ПІМІ.БР-60.00.00.000 ПЗ	Арк.
Зм.	Арк.	№ докум.	Підпис	Дата		60

10. Science NASA [Графічний ресурс] // Mars Perseverance Rover, 3D Model
URL : <https://science.nasa.gov/resource/mars-perseverance-rover-3d-model/>
11. How to Mechatronics [Електронний ресурс]. // Project by Dejan DIY Mars Perseverance Rover Replica – Arduino based Project URL : <https://howtomechatronics.com/projects/diy-mars-perseverance-rover-replica-with-arduino/>
12. Amazon [Графічний ресурс] // ESP32 DEVKIT ESP32-WROOM-32 Development Board URL : <https://www.amazon.com/ESP32-WROOM-32-Development-ESP-32S-Bluetooth-Arduino/dp/B084KWNMM4>
13. Makerguides [Електронний ресурс]. // ESP32 vs Arduino Speed Comparison URL : <https://www.makerguides.com/esp32-vs-arduino-speed-comparison/>
14. Adafruit [Графічний ресурс]. //Adafruit PCA9685 16-Channel Servo Driver URL : <https://learn.adafruit.com/16-channel-pwm-servo-driver?view=all>
15. SparkFun [Графічний ресурс]. //Motor Driver - Dual TB6612FNG URL : <https://www.sparkfun.com/sparkfun-motor-driver-dual-tb6612fng-with-headers.html>
16. Docs PlatformIO [Електронний ресурс]. //What is PlatformIO? URL : <https://docs.platformio.org/en/latest/what-is-platformio.html>
17. Oxorona [Електронний ресурс]. //Сервіс Blynk URL : <https://oxorona.com/blynk/>
18. Rozetka [Графічний ресурс] // 3D-принтер Vernerfab i3 v2.1 URL : <https://rozetka.com.ua/ua/265779221/p265779221/>
19. Flying Bear ghost [Графічний ресурс] // Ghost 5 Quick Review URL : <https://flyingbearghost.com/en/five>
20. Kipp [Графічний ресурс] // Rod ends with ball bearing internal thread, DIN ISO 12240-4 URL : <https://www.kipp.com/ie/en/Products/Operating-parts-standard-elements/Joints/Rod-ends-with-ball-bearing-internal-thread-DIN-ISO-12240-4.html>

					ПІМІ.БР-60.00.00.000 ПЗ	Арк.
Зм.	Арк.	№ докум.	Підпис	Дата		61

ДОДАТКИ

					ПІМІ.БР-60.00.00.000 ПЗ	Арк.
Зм.	Арк.	№ докум.	Підпис	Дата		62

Форма	Зона	Поз.	Позначення	Найменування	Кіл.	Примітка
				Документація		26
			ПМІ БР.60.00.00.000	Складальне креслення		
			ПМІ БР.60.00.00.000	Схема електрично принципова		
				Складальні одиниці		
		1	ПМІ БР.60.04.00.000	Рама	1	
		2	ПМІ БР.60.03.00.000	Трьохпорна ланка шасі	2	
		3	ПМІ БР.60.05.00.000	Модуль керування	1	
				Стандартні вироби		
		4		Втулка різьбова латунна М4 ВN1052	8	
		5		Болт М4х20 DIN 7991	8	
		6		Болт М3х10 DIN 7991	2	
		7		Т-подібна гайка М3 під паз 6 мм профілю 20-ї серії	2	

ПМІ БР.60.00.00.000

Модель марсоходу

Зм.	Арк.	№ докум.	Підп.	Дата
Розроб.		Дрегалю О.Ю.		
Перев.		Панчук В.Г.		
Т. контр.		Панчук В.Г.		
Реценз.				
Н. контр.		Панчук В.Г.		
Затв.		Панчук В.Г.		

Літ.	Масса	Масштаб
Аркуш 2		Аркушів 2
ІНФІТУНГ		
ПМІ-21-1		

Форма	Зона	Поз.	Позначення	Найменування	Кіл.	Примітка
				Документація		26
			ПМІ БР.60.03.00.000	Складальне креслення		
				Складальна одиниця		
		1	ПМІ БР.60.03.01.000	Колосе з сервоприводом	2	
		2	ПМІ БР.60.03.02.000	Колеса без сервоприводу	1	
				Деталі		
		3	ПМІ БР.60.03.00.003	Шарнір хитуна	1	
		4	ПМІ БР.60.03.00.004	Шарнір візка №1	1	
		5	ПМІ БР.60.03.00.005	Шарнір візка №2	1	
				Стандартні вироби		
		6		Шаїда М8 DIN 9021	2	
		7		Контргайка М8 DIN EN ISO 10511	1	

А

А

ПМІ БР.60.03.00.000

Зм.	Лист	№ докум.	Підп.	Дата	Літ.	Масса	Масштаб
Розроб.		Дрезало О.Ю.					
Перев.		Панчук В.Г.					
Т. контр.		Панчук В.Г.					
Реценз							
Н. контр.		Панчук В.Г.					
Затв.		Панчук В.Г.					
Трьохопорна ланка шасі					Аркуш 2		Аркушів 3
					ІНФІТУНГ		

Форма	Зона	Поз.	Позначення	Найменування	Кіл.	Примітка
				Стандартні вироби		
		8		Болт М4Х30 DIN912	8	
		9		Контргайка М4 DIN EN ISO 10511	8	
		10		Підшильник 608RS	2	
		11		Болт М8Х70 DIN 912	1	
				Матеріали		
		12		Алюмінієва труба D= \varnothing 20мм L=197мм	1	
		13		Алюмінієва труба D= \varnothing 20мм L=162мм	1	
		14		Алюмінієва труба D= \varnothing 20мм L=122мм	1	
		15		Алюмінієва труба D= \varnothing 20мм L=116мм	1	

A

A

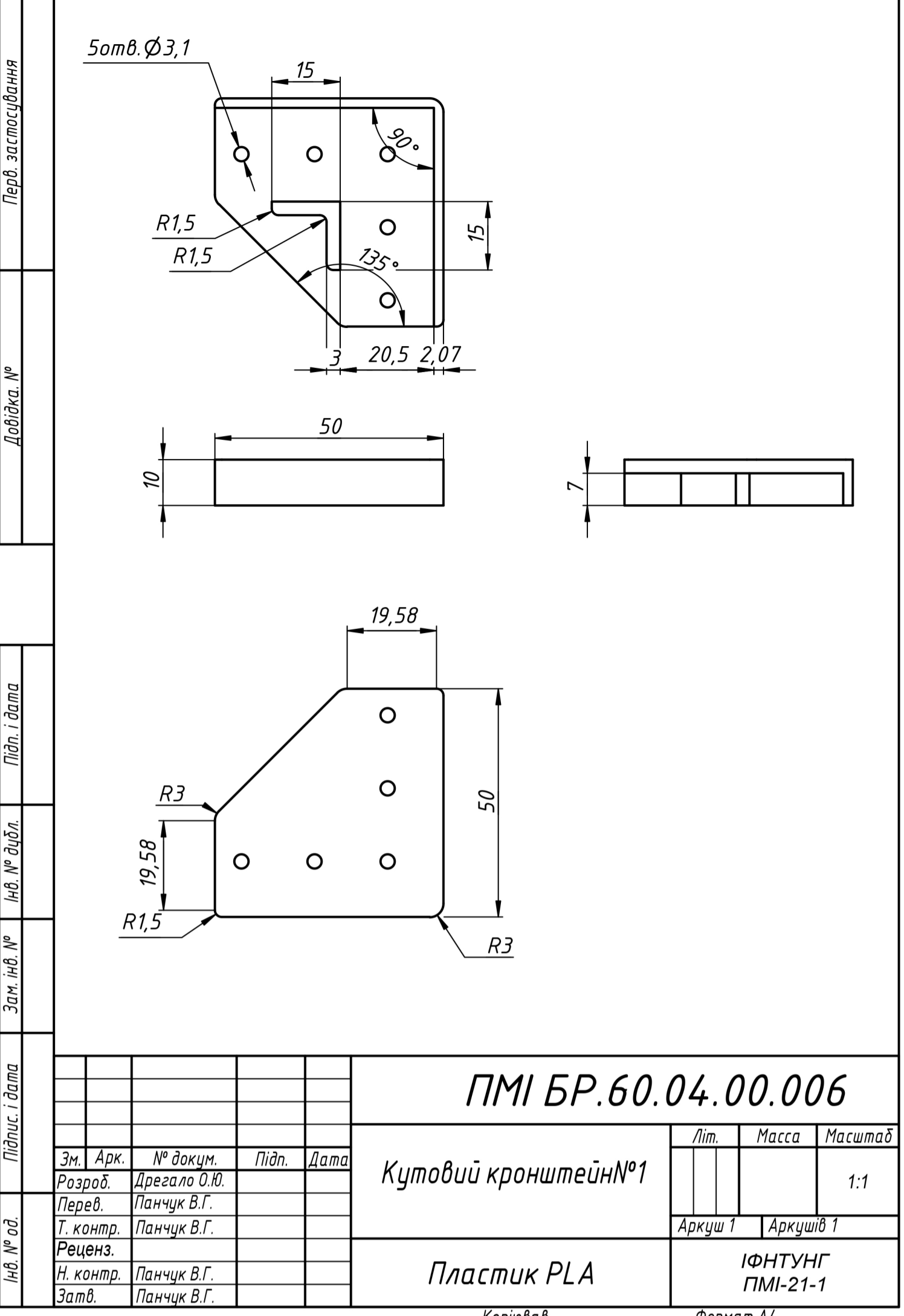
6

ЗМ.	Арк.	№ докум.	Підс.	Дата	Трьохопорна ланка шасі	Арк.
						3

Форма	Зона	Поз.	Позначення	Найменування	Кіл.	Примітка
				Документація		26
			ПМІ БР.60.04.00.000	Складальне Креселння		
				Деталі		
		1	ПМІ БР.60.04.00.001	Основа шарніра хитуна	2	
		2	ПМІ БР.60.04.00.002	Шарнір хитуна	2	
		3	ПМІ БР.60.04.00.003	Тяга диференціального шарніра	2	
		4	ПМІ БР.60.04.00.004	Задня опорна пластина рами	1	
		5	ПМІ БР.60.04.00.005	Передня опорна пластина рами	1	
A		6	ПМІ БР.60.04.00.006	Кутовий кронштейн№1	14	A
		7	ПМІ БР.60.04.00.007	T-подібний кронштейн	4	
		8	ПМІ БР.60.04.00.008	Кутовий кронштейн№2	2	
		9	ПМІ БР.60.04.00.009	Диференціальний шарнір частина №1	2	
		10	ПМІ БР.60.04.00.010	Диференціальний шарнір частина №2	1	
		11	ПМІ БР.60.04.00.011	Кронштейн для диференціального шарніра	1	

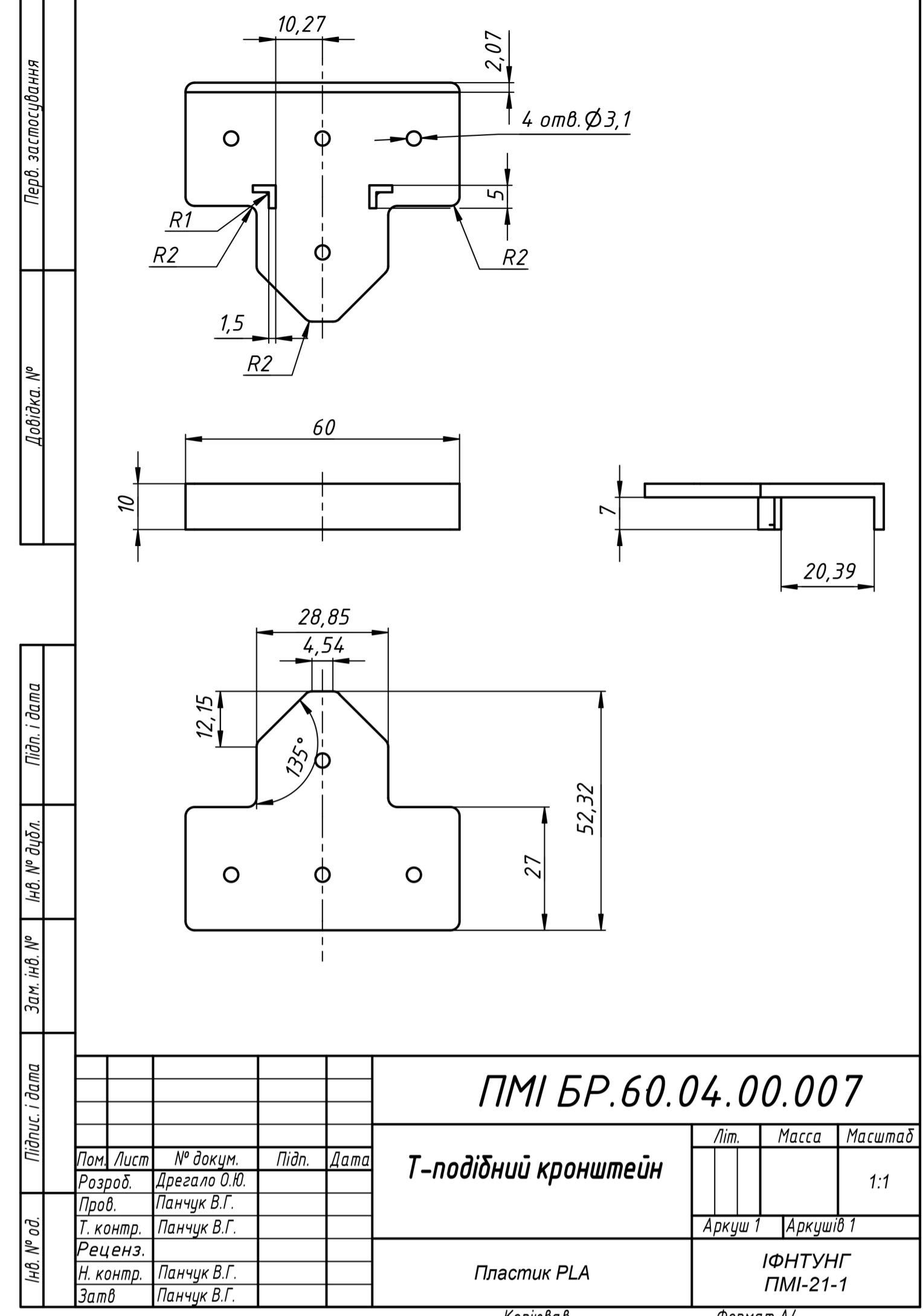
ПМІ БР.60.04 .00.000

Зм.	Арк.	№ докум.	Підп.	Дата	Літ.	Масса	Масштаб
Розроб.		Дрегало О.Ю.					
Пров.		Панчук В.Г.					
Т. контр.		Панчук В.Г.					
Реценз.							
Н. контр.		Панчук В.Г.					
Утв.		Панчук В.Г.					
Рама					Аркуш 2		Аркушів 4
					ІНФІТУНГ		



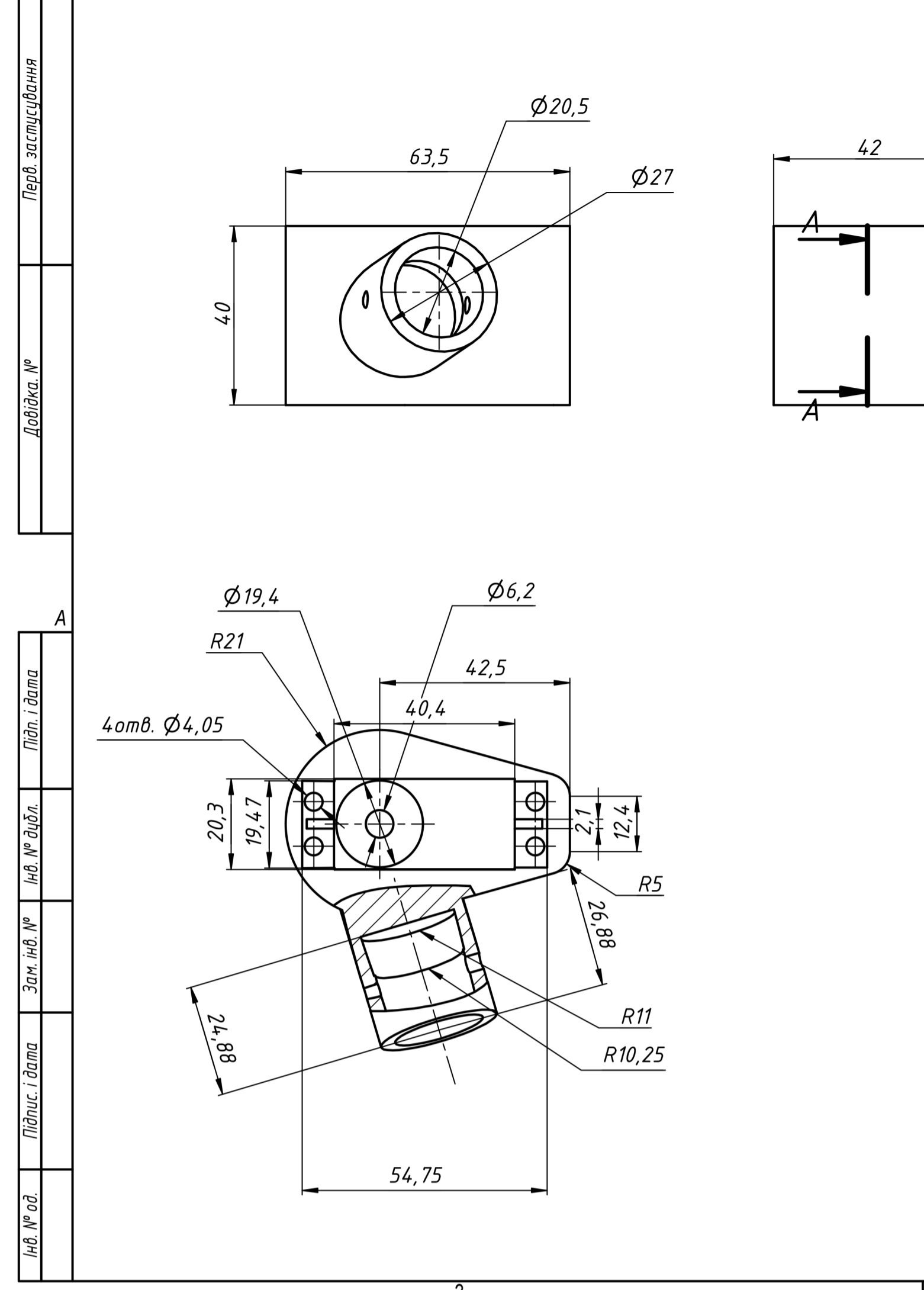
ПМІ БР.60.04.00.006

Кутювий кронштейн №1				Лит.	Масса	Масштаб
Пластик PLA				Аркуш 1	Аркушів 1	1:1
ІФНТУНГ ПМІ-21-1				Копіював Формат А4		



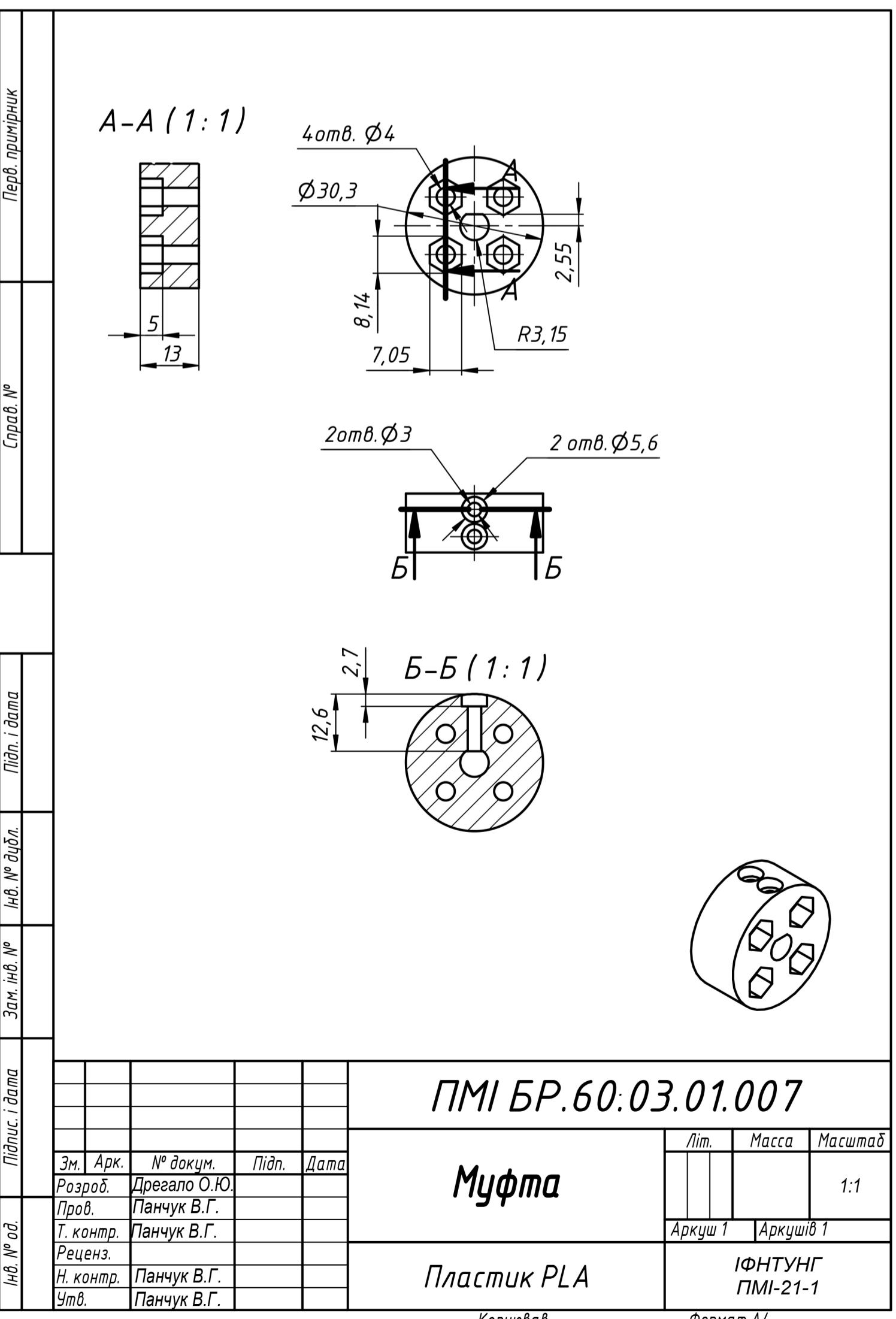
ПМІ БР.60.04.00.007

Т-подібний кронштейн				Лит.	Масса	Масштаб
Пластик PLA				Аркуш 1	Аркушів 1	1:1
ІФНТУНГ ПМІ-21-1				Копіював Формат А4		



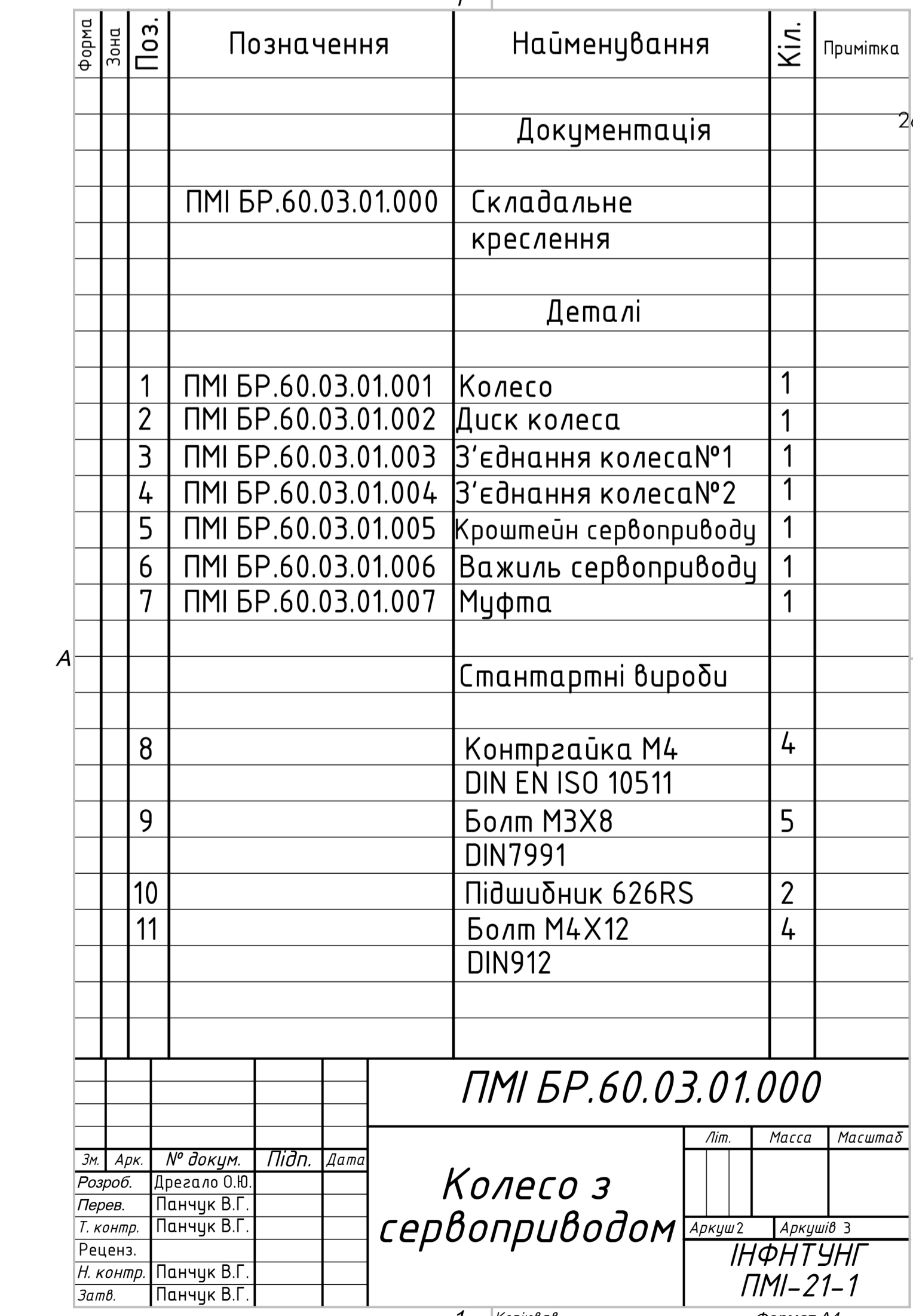
ПМІ БР.60.03.01.005

Кронштейн сервоприводу				Лит.	Масса	Масштаб
Пластик PLA				Аркуш 1	Аркушів 1	1
ІФНТУНГ ПМІ-21-1				Копіював Формат А3		



ПМІ БР.60.03.01.007

Муфта				Лит.	Масса	Масштаб
Пластик PLA				Аркуш 1	Аркушів 1	1:1
ІФНТУНГ ПМІ-21-1				Копіював Формат А4		



ПМІ БР.60.03.01.000

Колесо з сервоприводом				Лит.	Масса	Масштаб
ІФНТУНГ ПМІ-21-1				Аркуш 2	Аркушів 3	1:1
ІФНТУНГ ПМІ-21-1				Копіював Формат А4		

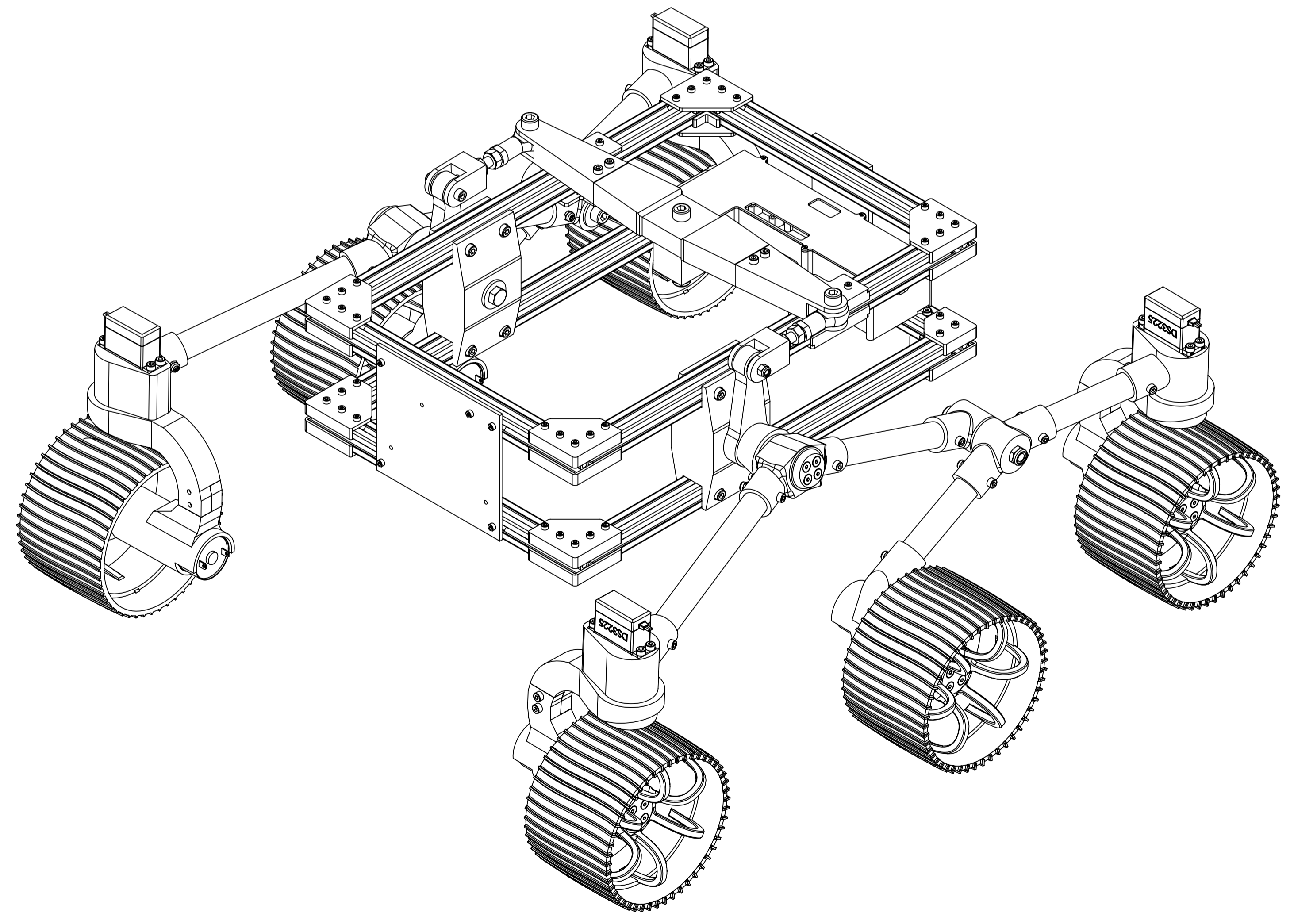
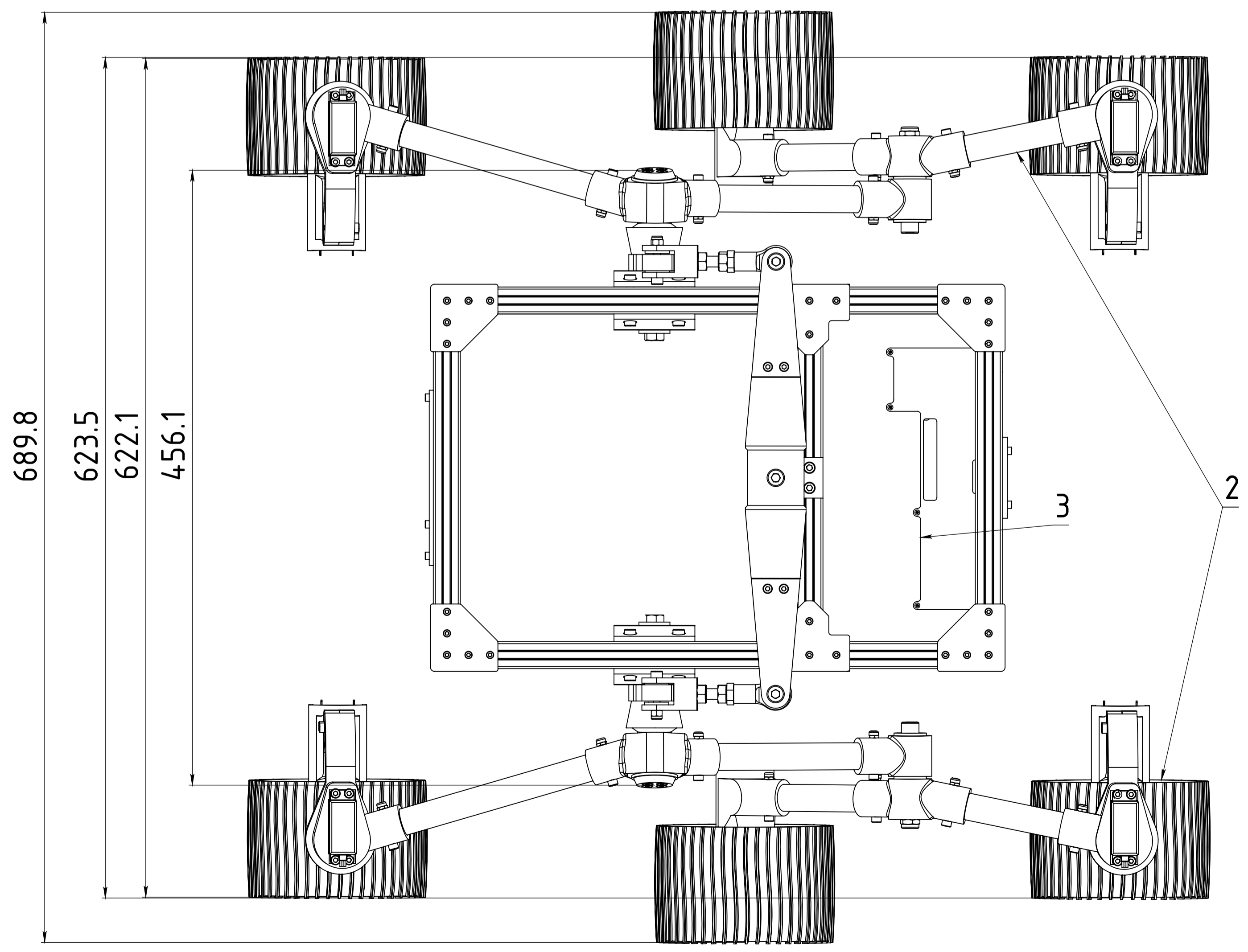
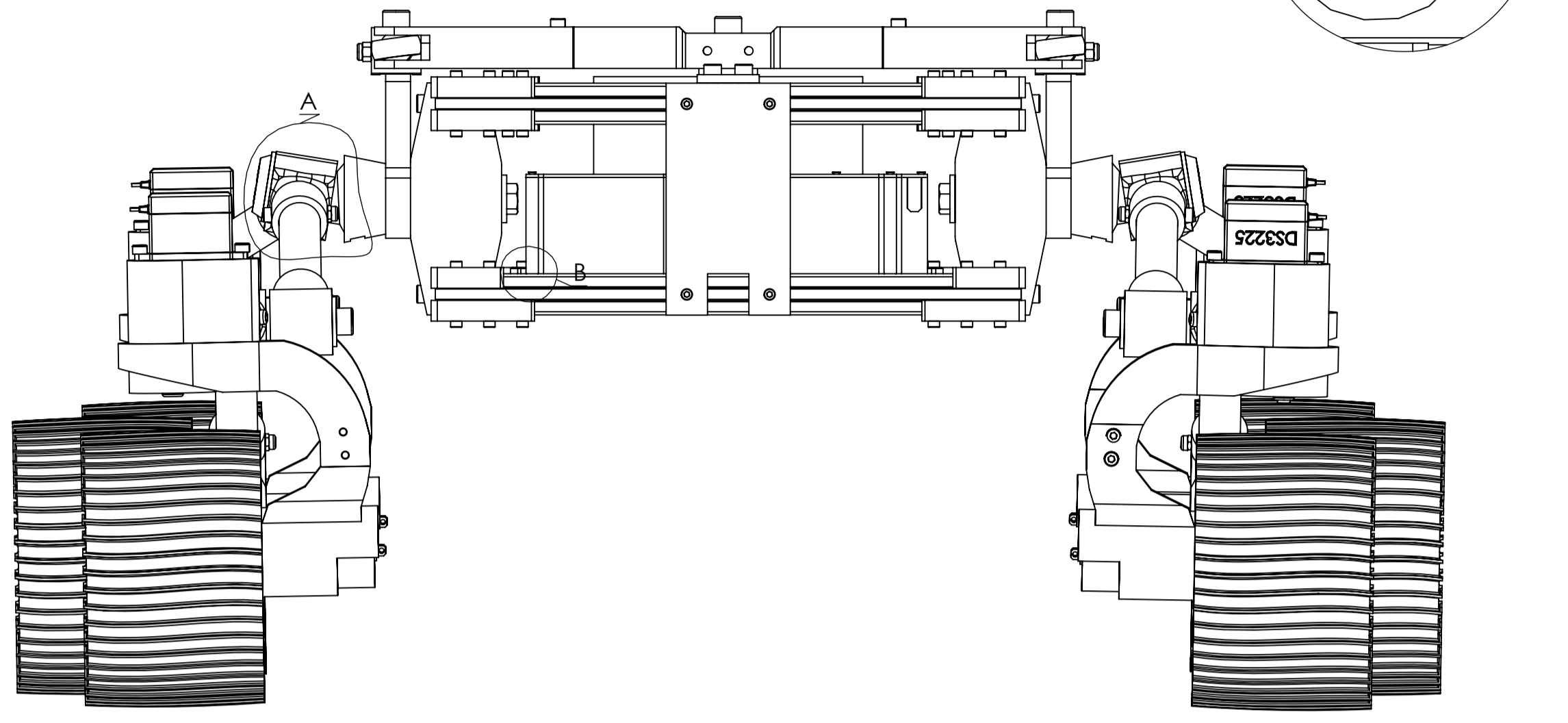
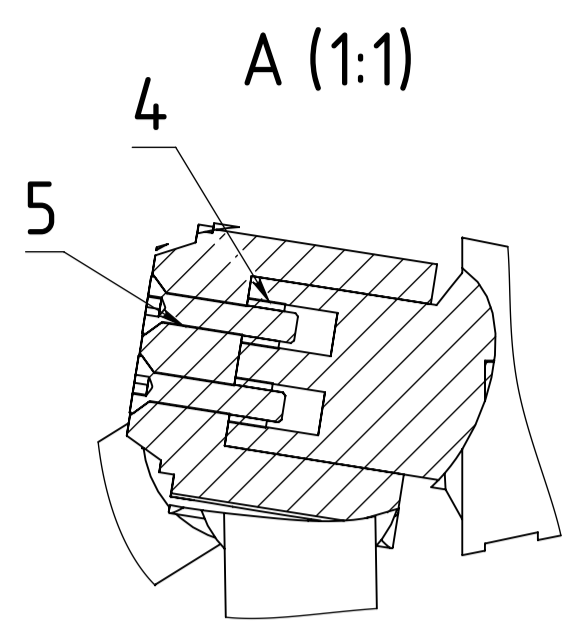
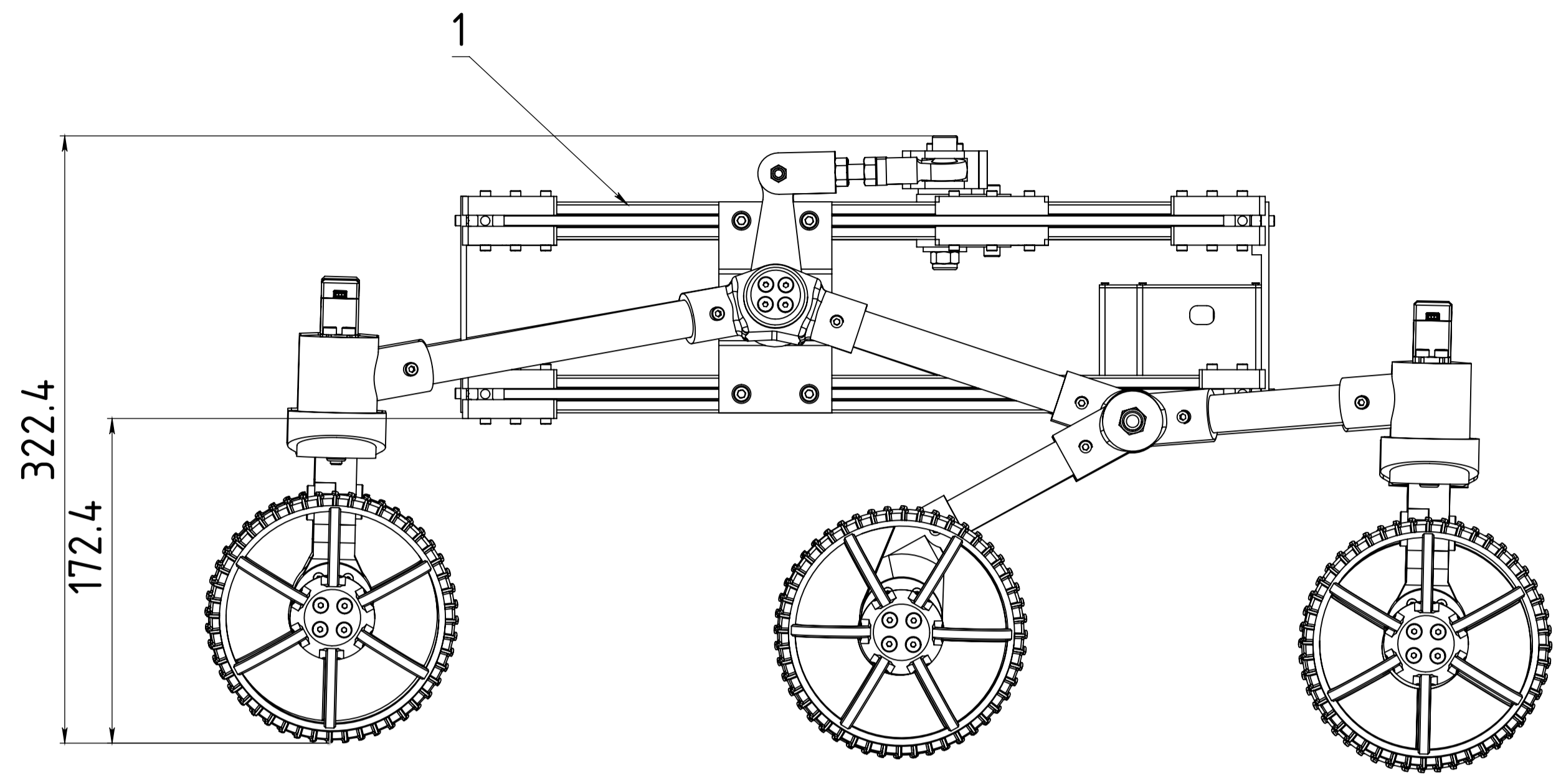
Форма	Зона	Поз.	Позначення	Найменування	Кіл.	Примітка
				Документація	26	
				Стандартні вироби		
		12		Болт М6Х45 DIN EN 24 014	1	
		13		Контр Гаїка М6 DIN EN ISO 10511	1	
		14		Болт М3Х10 DIN912	2	
		15		Болт М4Х20 DIN912	2	
		16		Болт М4Х20 DIN7991	4	
				Інші вироби		
		17		Сервопривід DS3225	1	
		18		Двигун DC V=12V d=37mm	1	
		19		Муфта сервоприводу 25Т	1	

Колесо з сервоприводом

Форма	Зона	Поз.	Позначення	Найменування	Кіл.	Примітка
				Документація		
				Схема електрично принципова		
			ПМІ БР.60.00.000	Схема електрично принципова		
			U1	ESP32 WROOM-32	1	
			U2	Adafruit 16-канальний 12-бітний ШІМ/Серво	1	
			U3...U5	Драйвер РСА9685 Драйвер двигунів двоканальний TB6612FNG	3	
			U6	DC-DC конвертер знижуючий XL4016	1	
			U7	Роз'єм XT60	1	
			X1...X6	Клемники KF301-2P	6	

Блок керування

ПМІ БР.60.00.000				Лит.	Масса	Масштаб
ІФНТУНГ ПМІ-21-1				Аркуш 2	Аркушів 2	1:1
ІФНТУНГ ПМІ-21-1				Копіював Формат А4		



Лист заступальника

Добавочна №

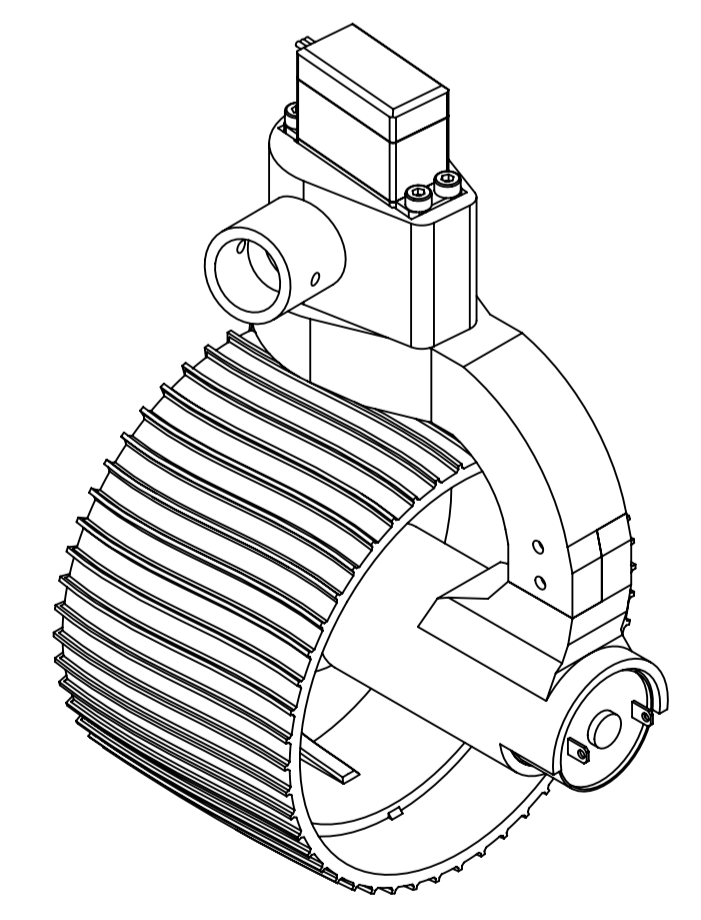
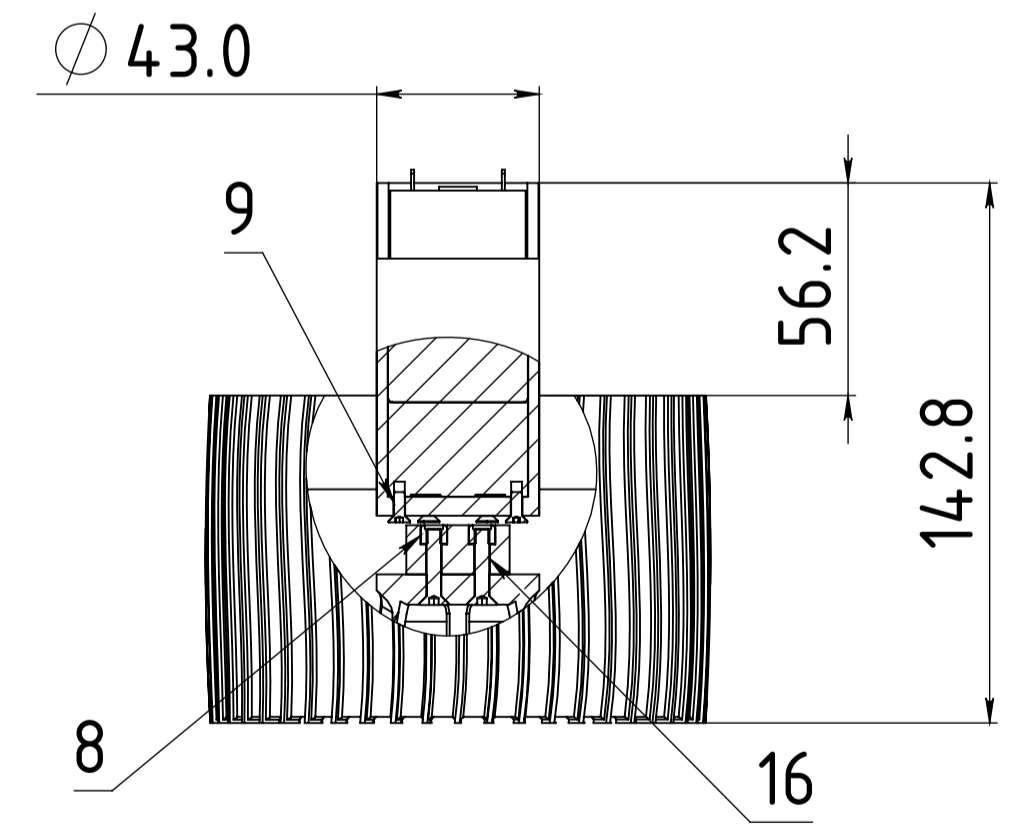
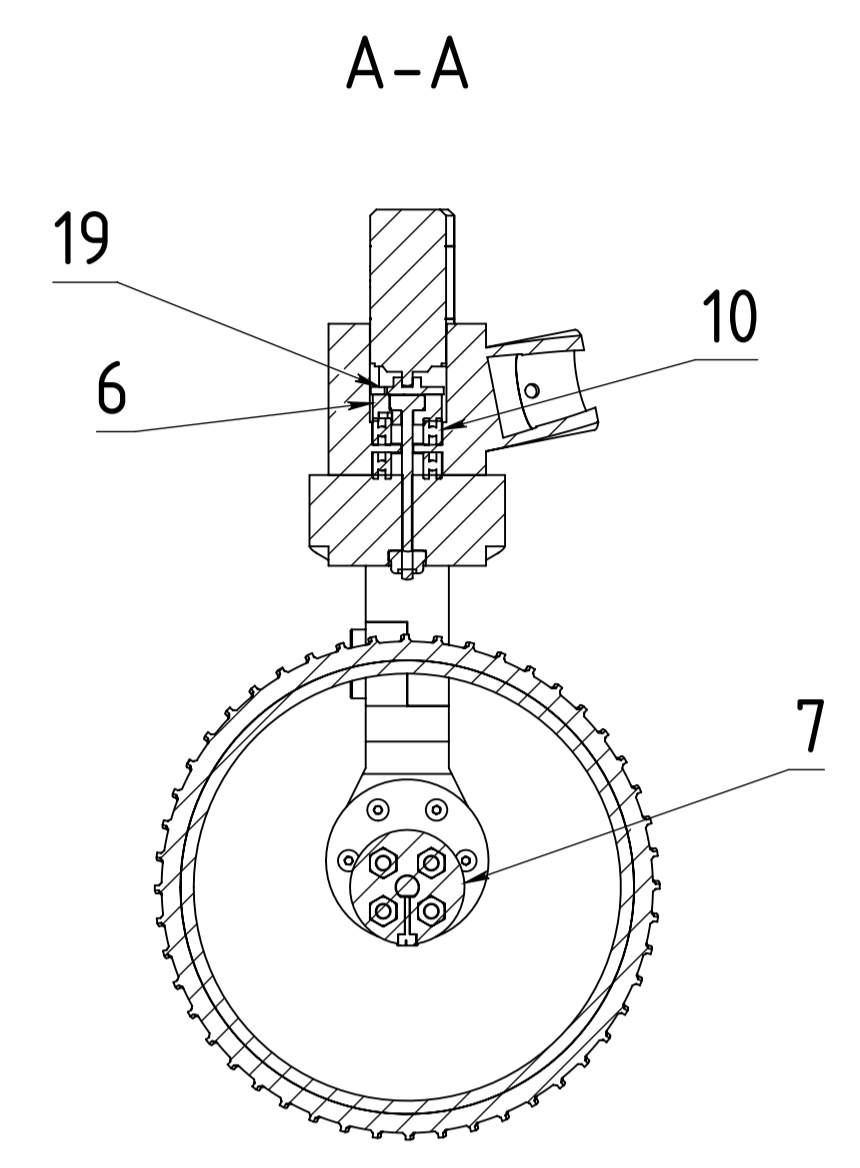
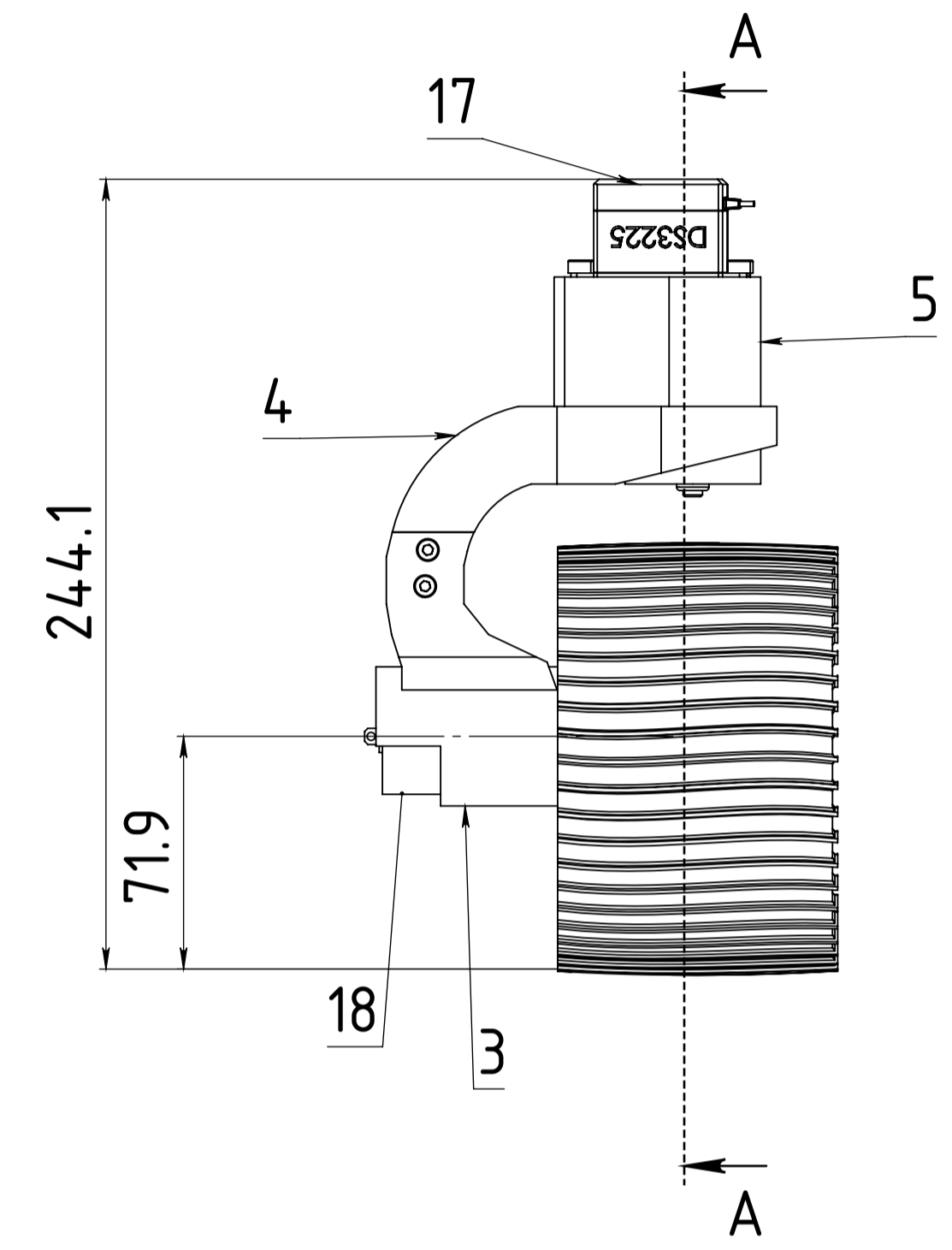
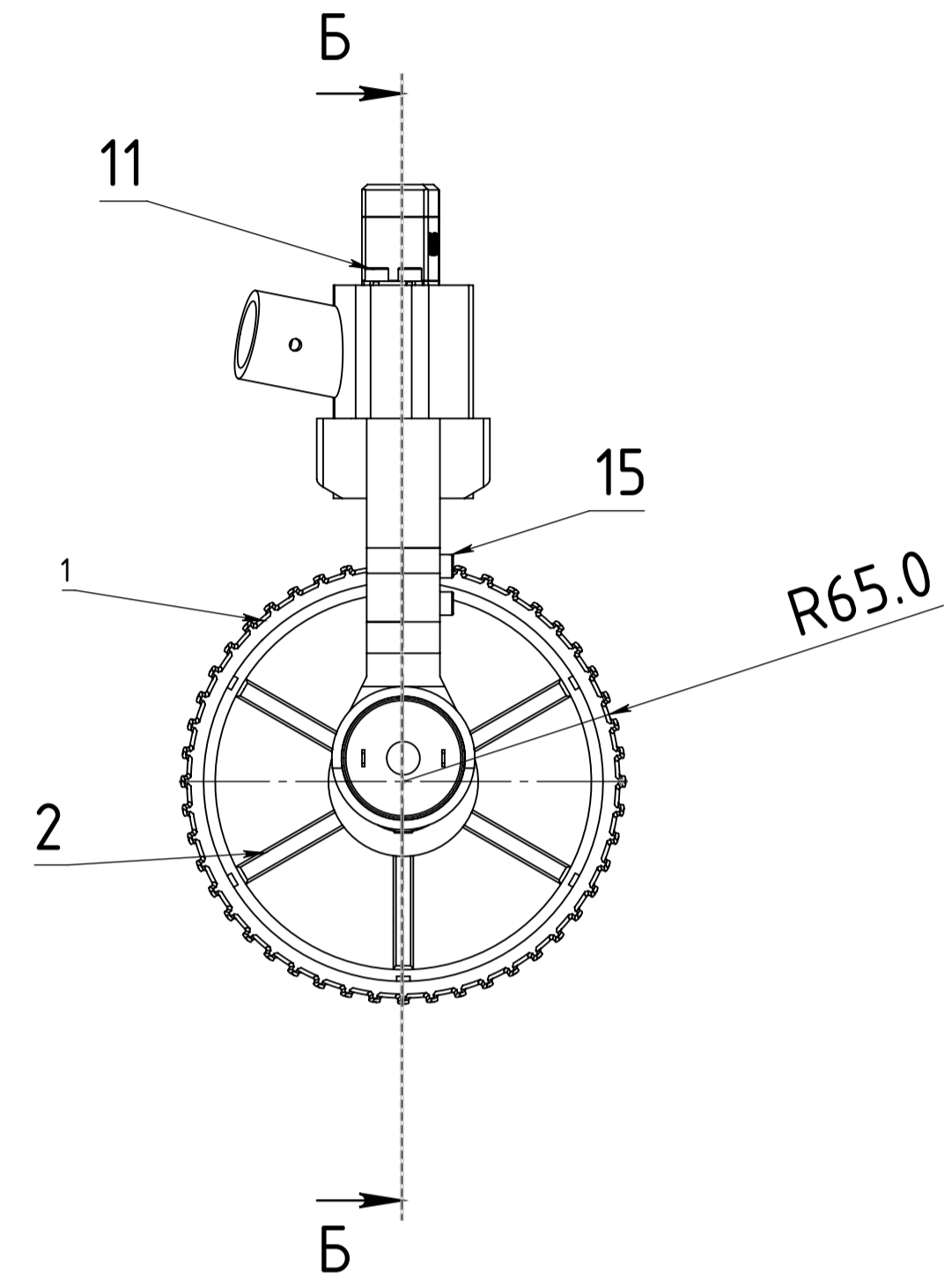
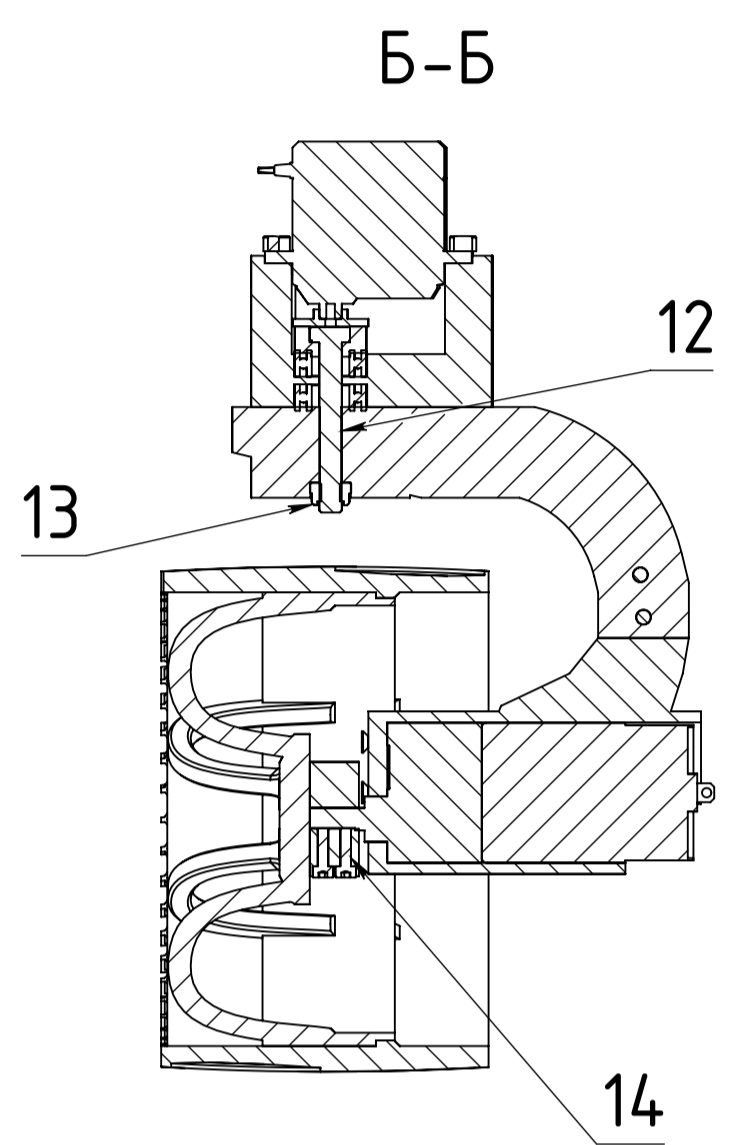
Лист № змін

Замість наб. №

Лист № дата

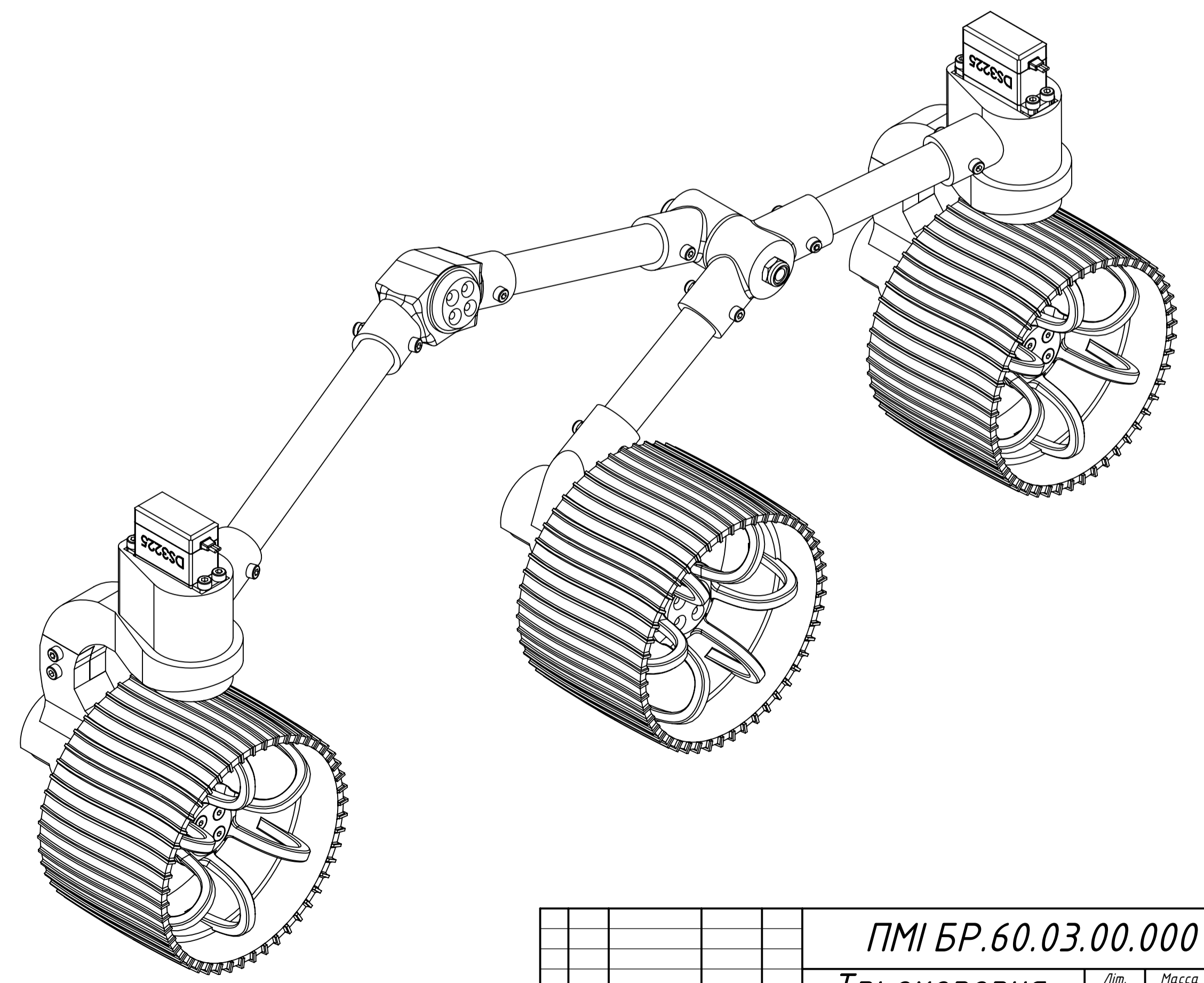
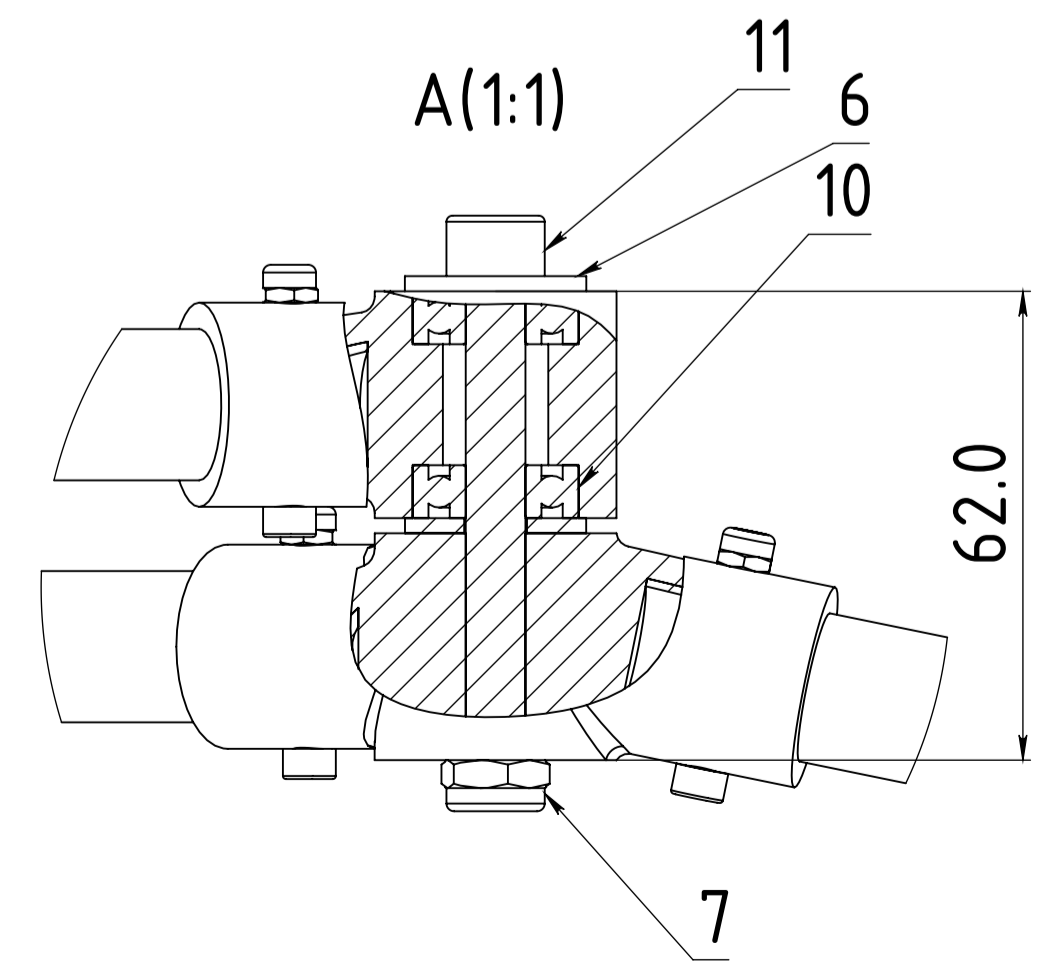
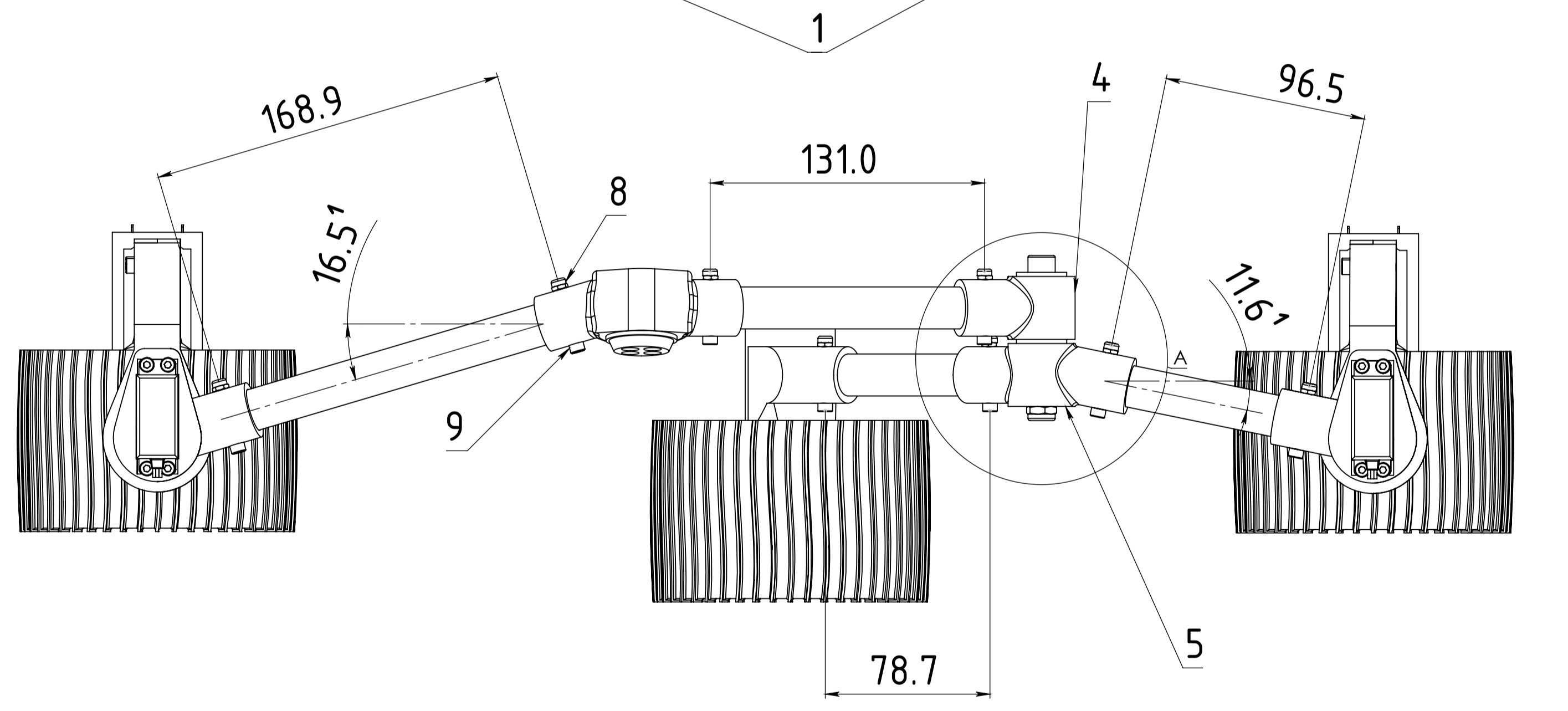
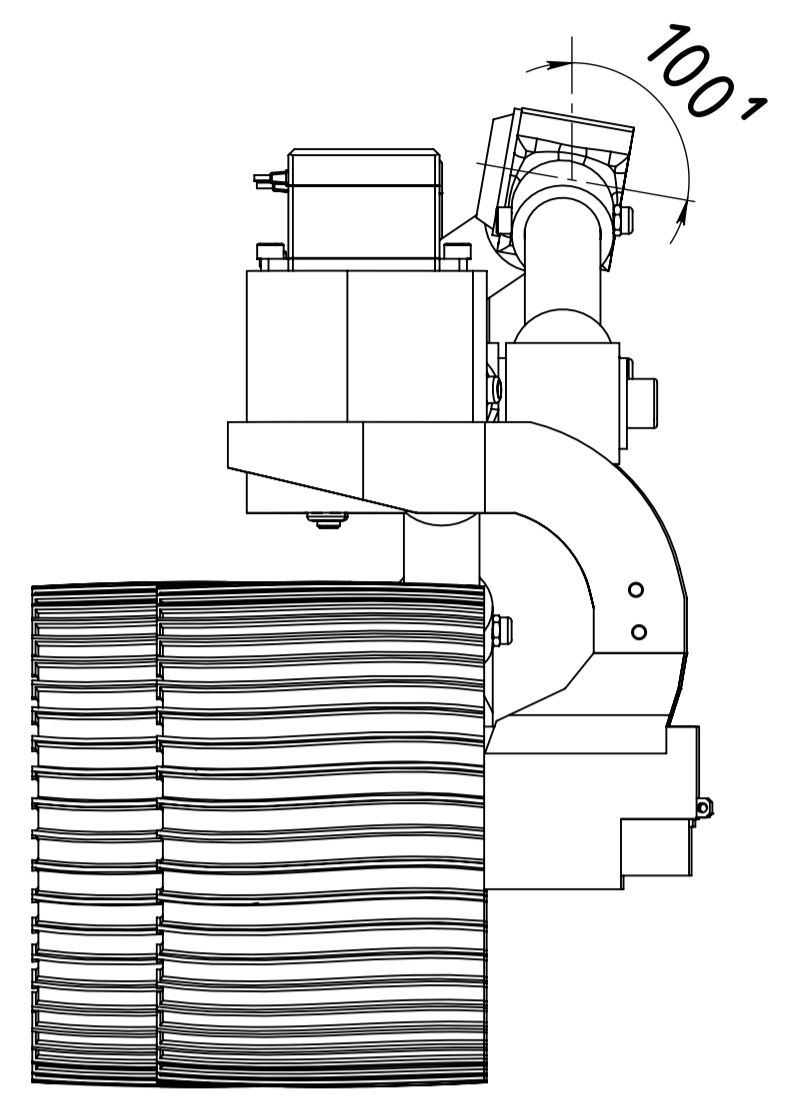
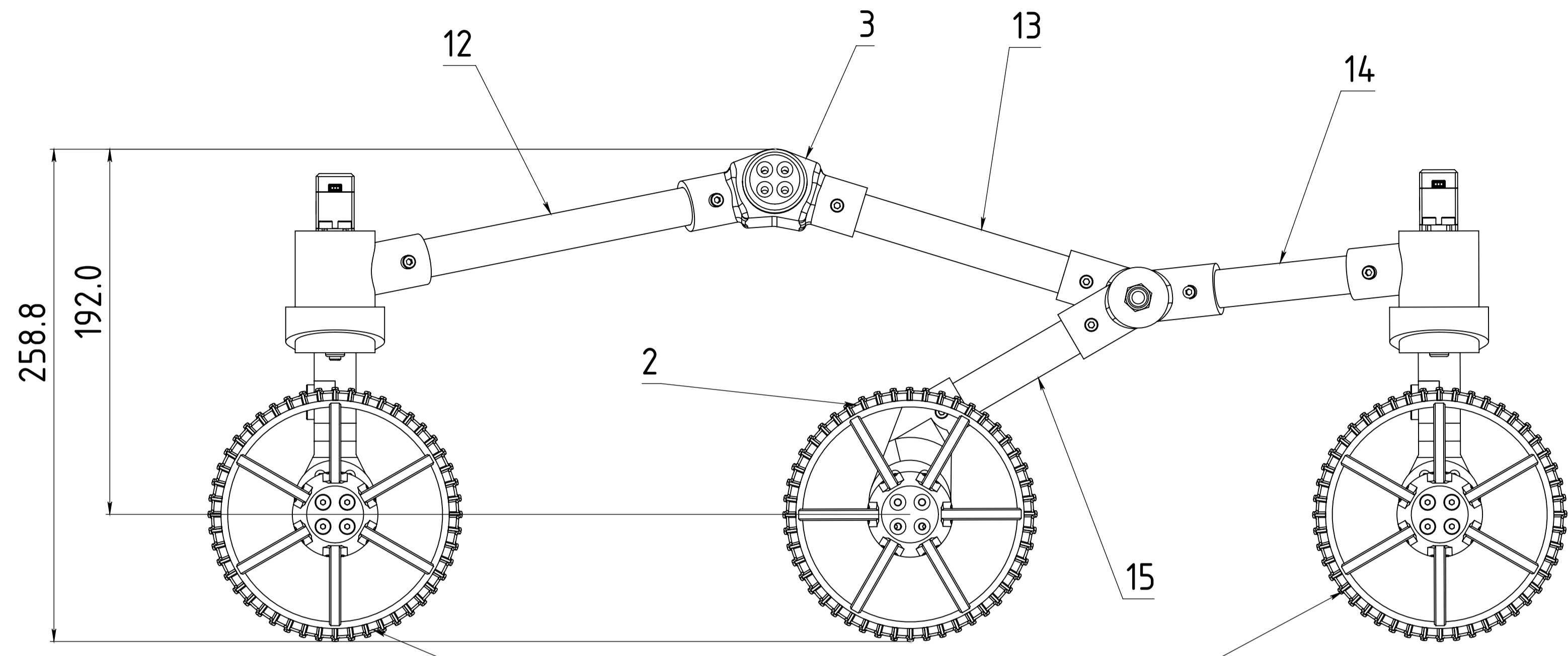
Лист № графіки

					ПМІ БР.60.00.000 СК		
					Модель марсоходу		
					Складальне креслення		
Зм.	Арх.	№ док.	Підп.	Дата	Лит.	Масса	Масштаб
Разроб.	Дрезало О.Ю.						1:2,5
Перев.	Панчук В.Г.						
Т. контр.	Панчук В.Г.				Архив 1	Архив 2	
Реценз.					ІНТУНГ		
Н. контр.	Панчук В.Г.				ПМІ-21-1		
Затв.	Панчук В.Г.				Формат А1		



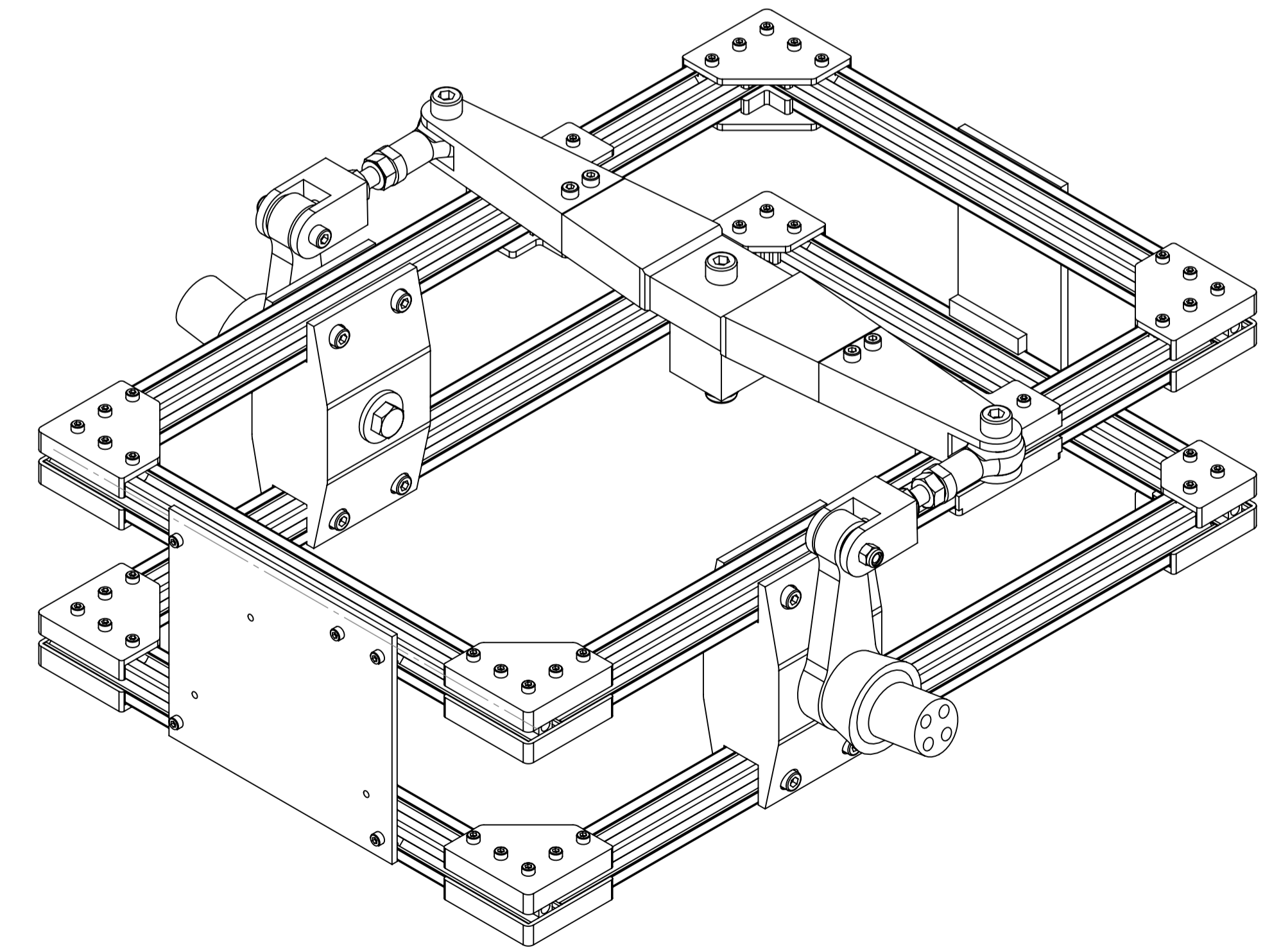
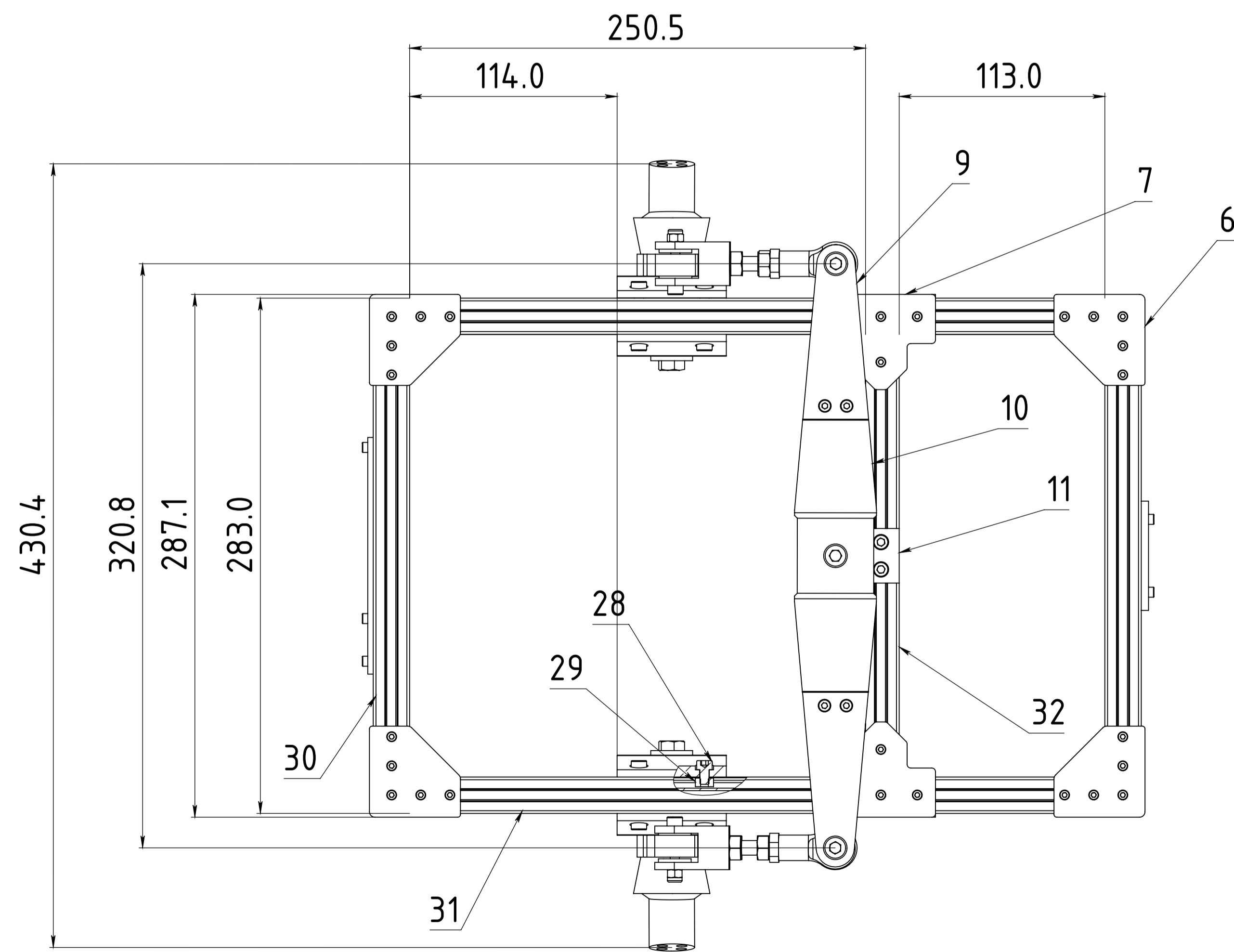
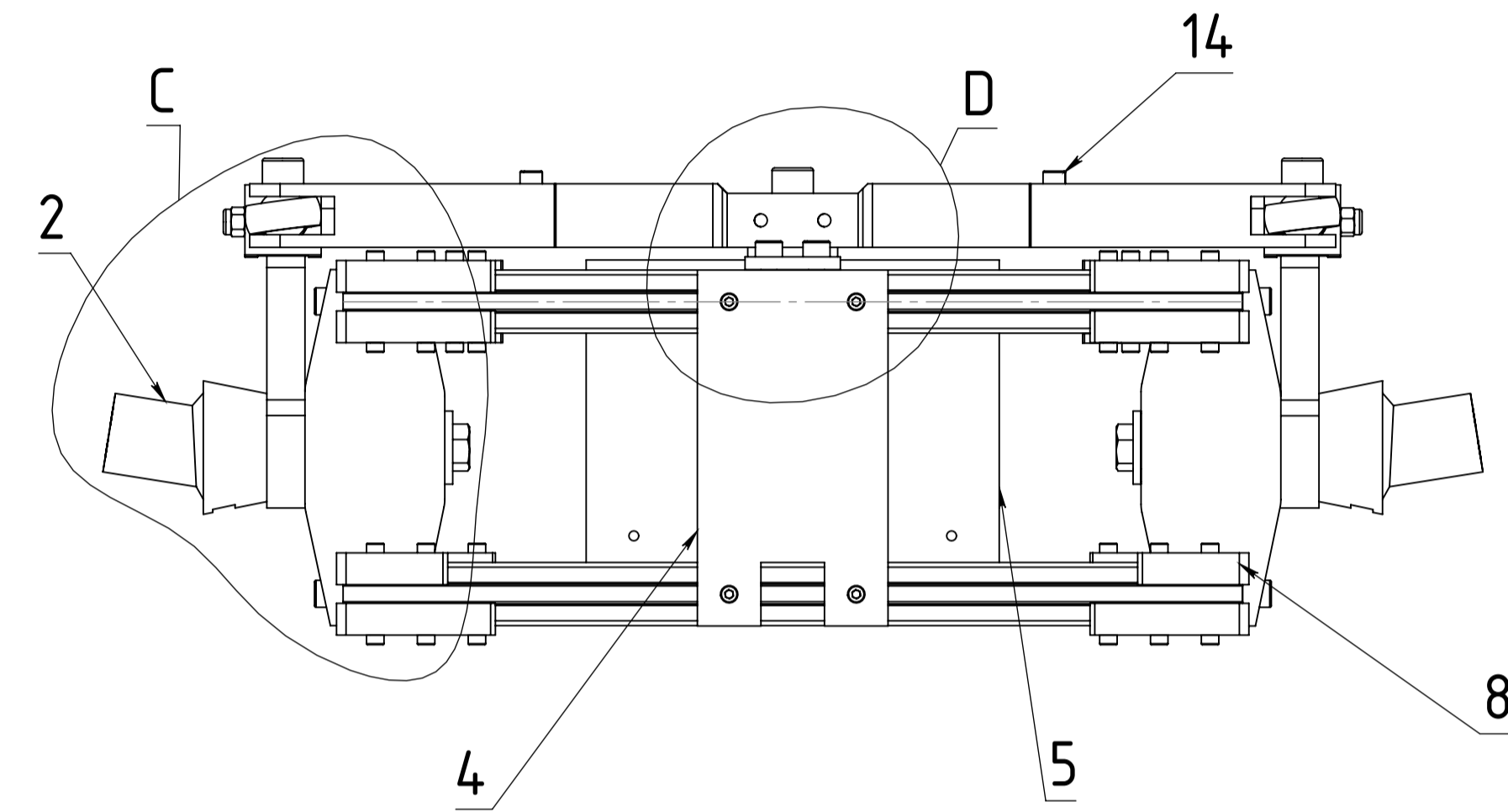
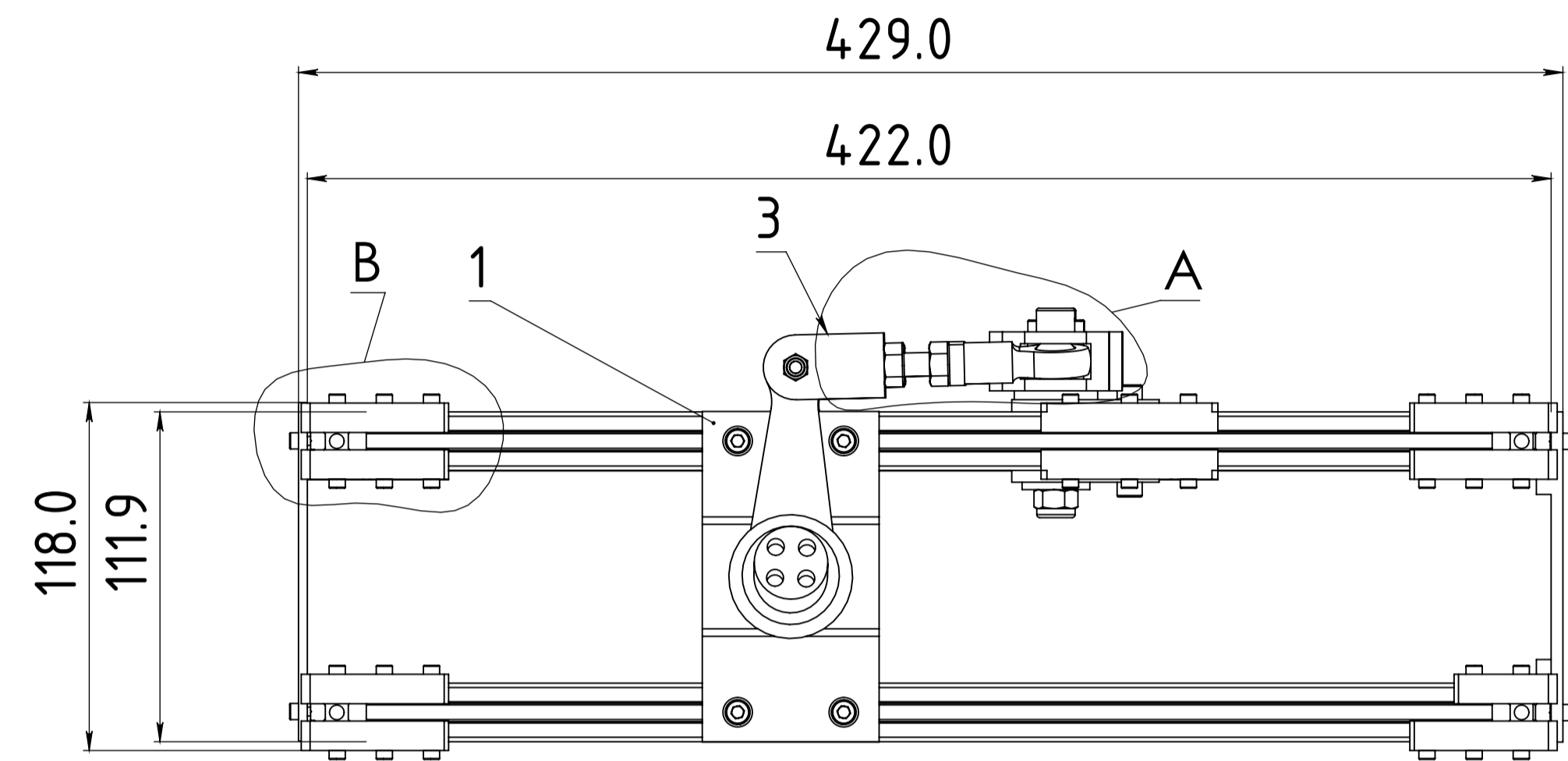
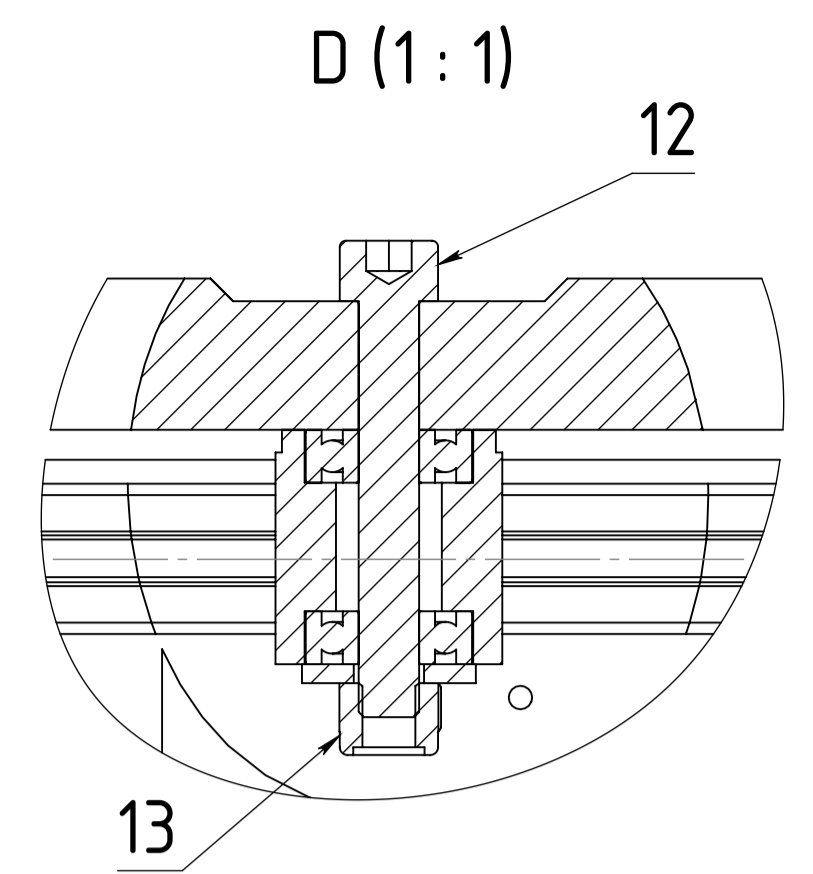
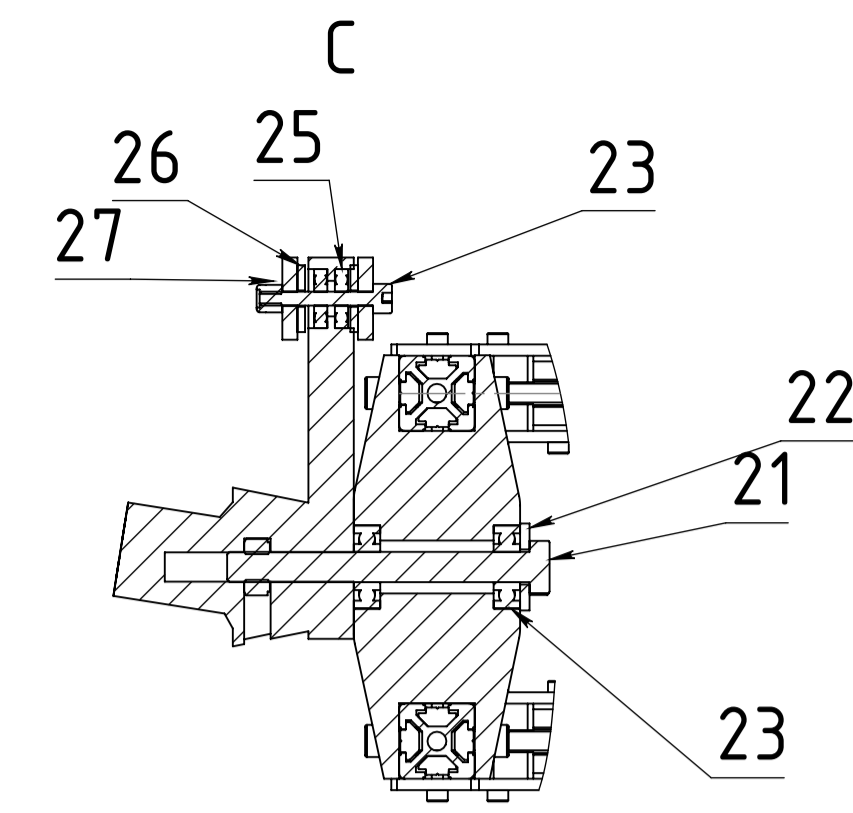
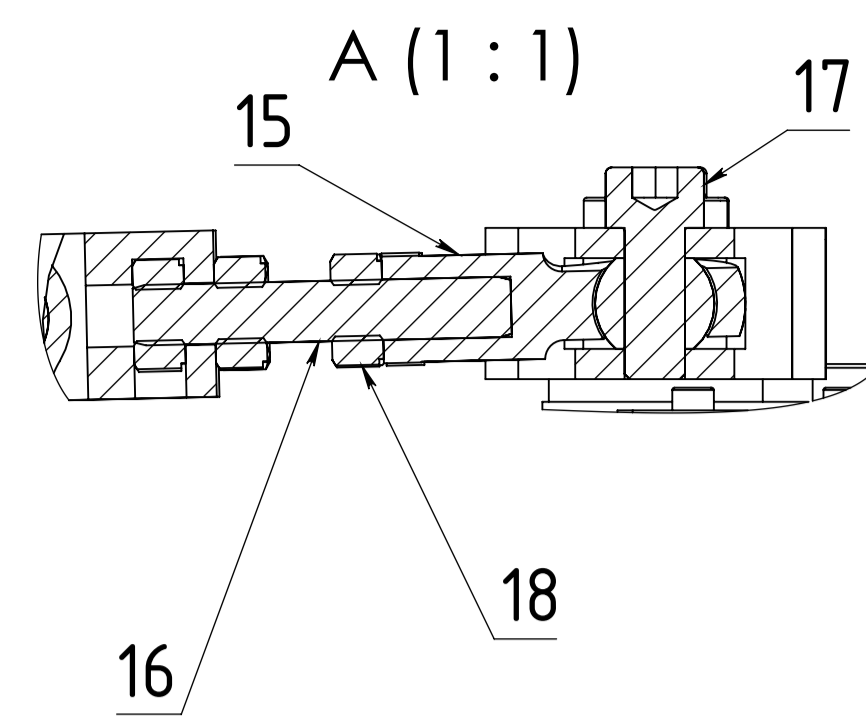
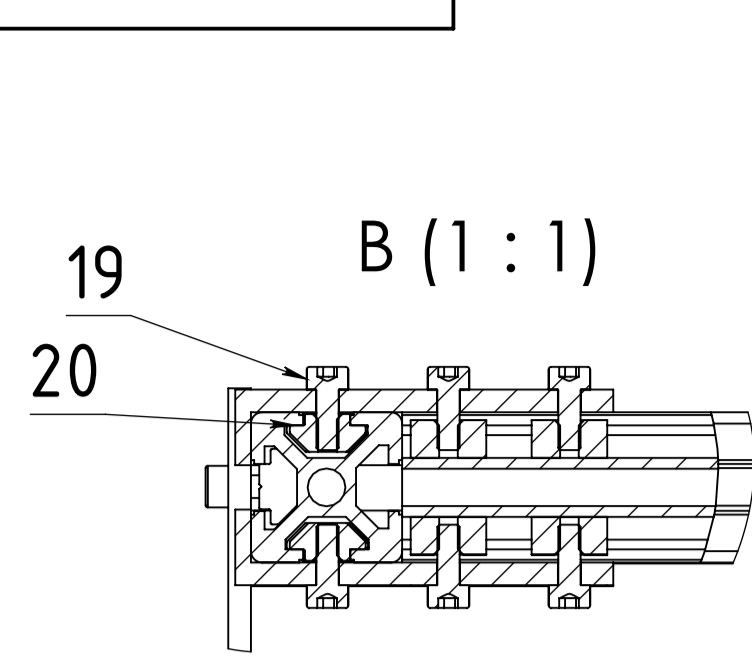
Перв. Застосування
Добірка №
Ліст. і дата
№ в збір.
Замість №
Ліст. і дата
№ в збір.
Замість №
Ліст. і дата
№ в збір.

					ПМІ БР.60.03.01.000 СК		
					Колесо з сервоприводом		
					Складальне креслення		
Зм.	Арк.	№ докум.	Підп.	Дата	Літ.	Маса	Масштаб
Розроб.		Дрезало О.Ю.					1:2
Перев.		Панчук В.Г.					
Т. контр.		Панчук В.Г.			Аркш 1	Аркшів 3	
Реценз.					ІФНТУНГ		
Н. контр.		Панчук В.Г.			ПМІ-21-1		
Затв.		Панчук В.Г.			Формат А1		



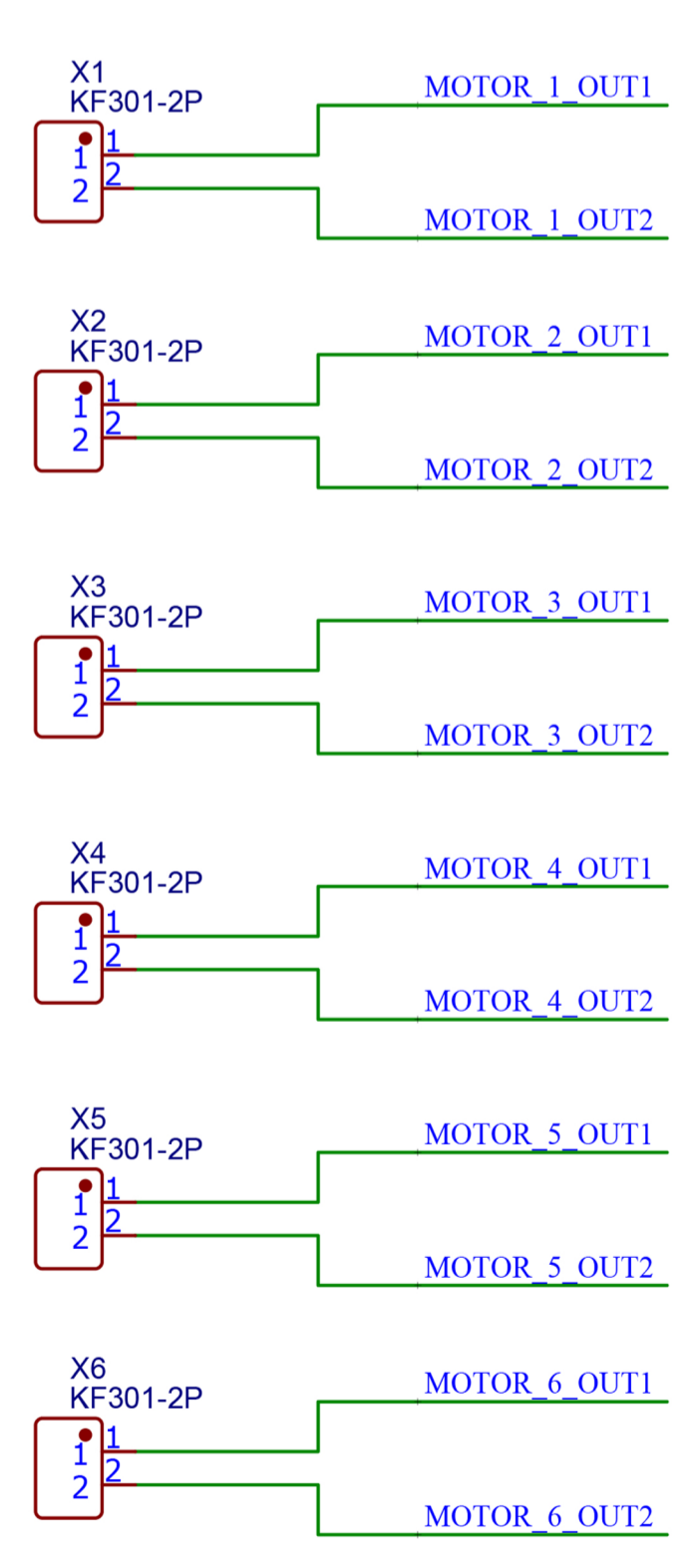
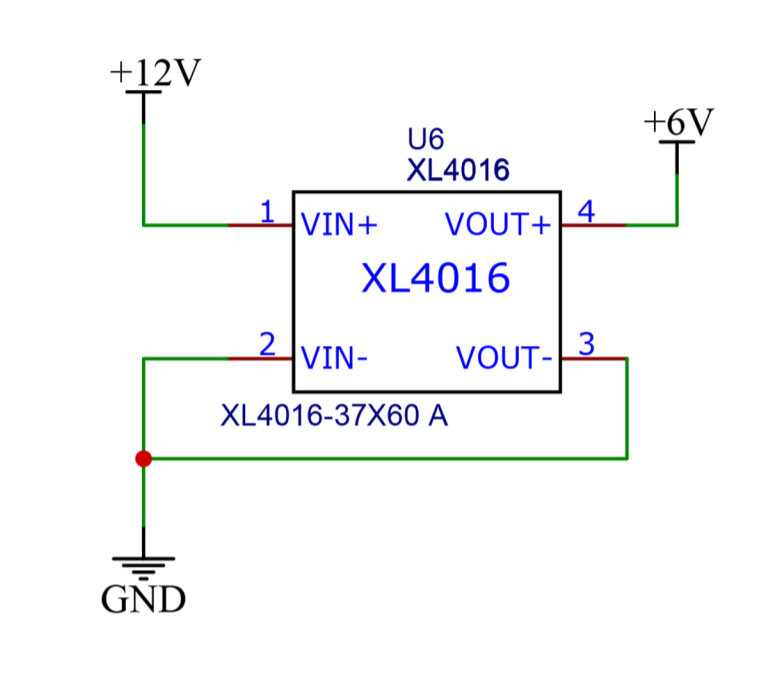
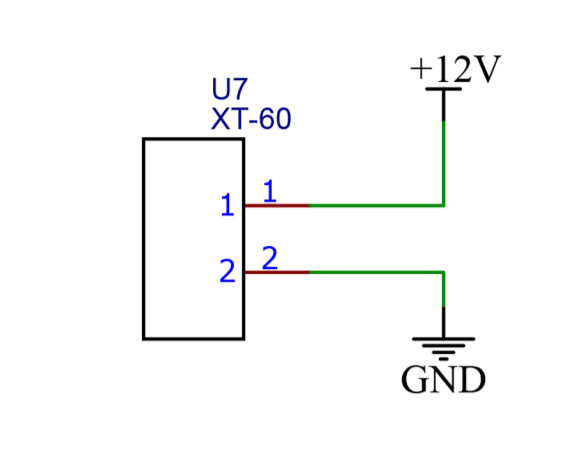
Перв. заснування
Довідка №
Підп. І дата
Інв. № дубл.
Замість інв. №
Підп. І дата
Інв. № правдін.

ПМІ БР.60.03.00.000 СК			
Трьохопорна ланка шасі			
Складальне креслення			
Лит.	Маса	Масштаб	
		1:2	
Аркш 1	Аркшів 3	ІФНТУНГ	
ПМІ-21-1		Формат А1	

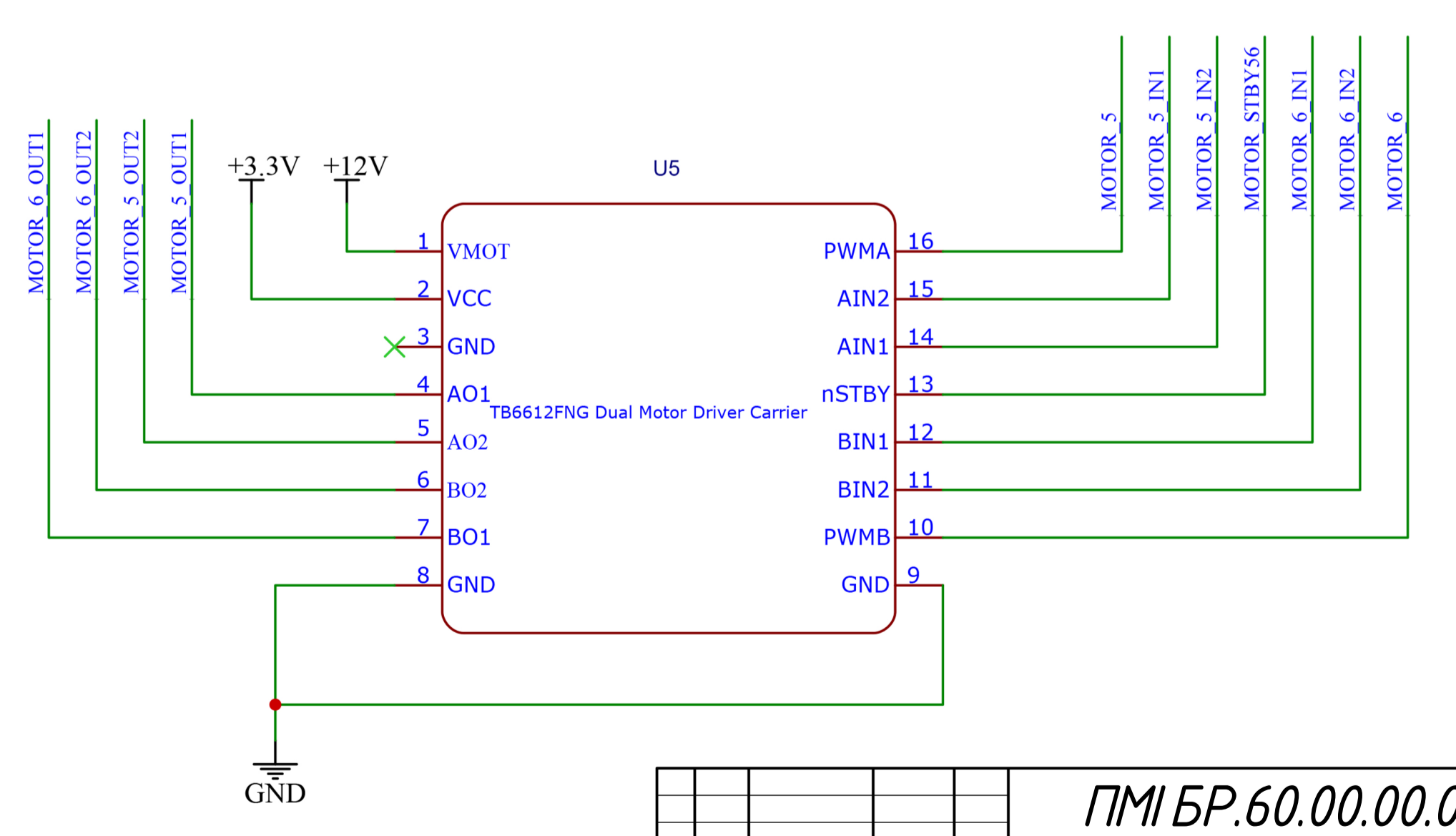
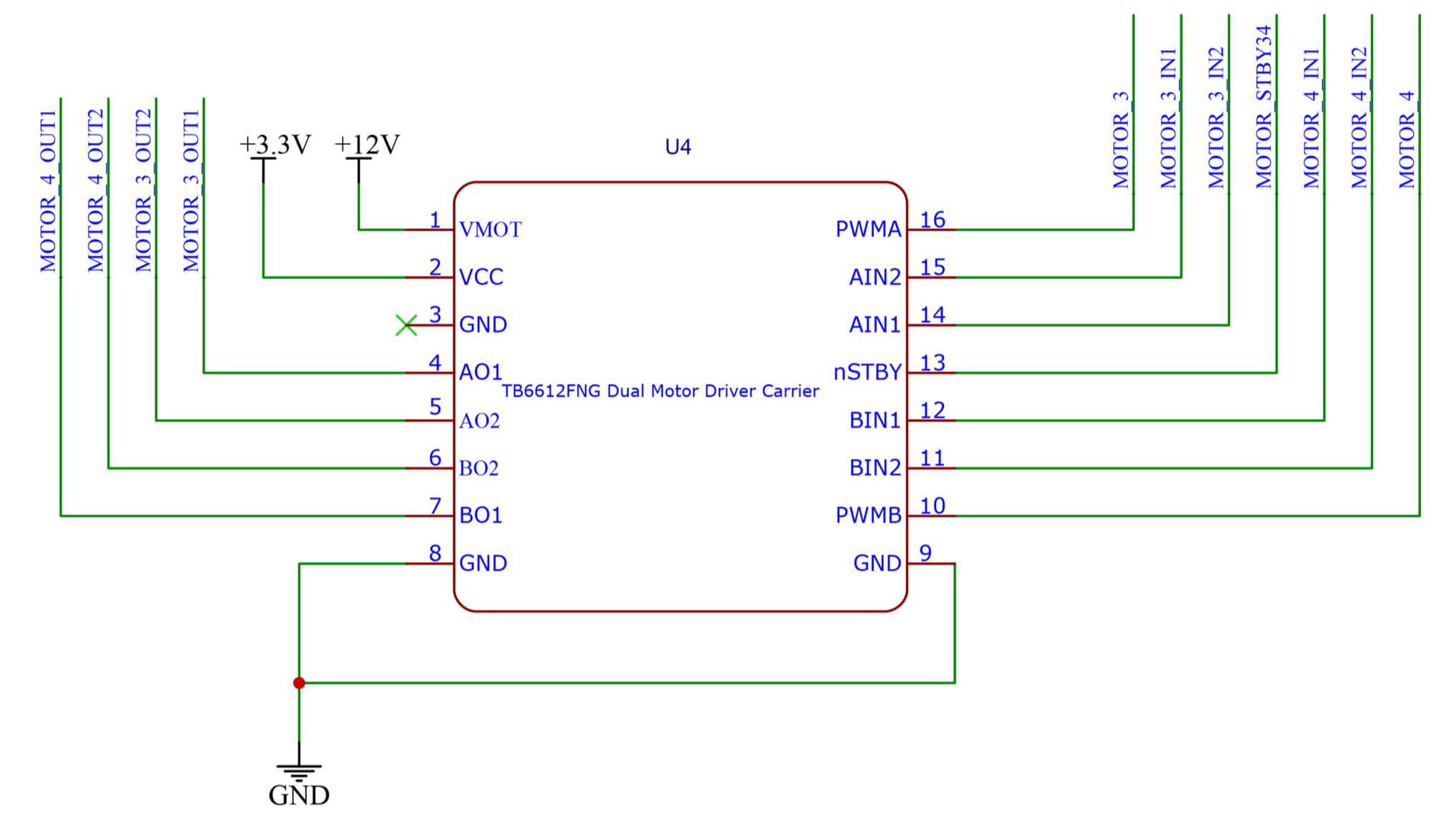
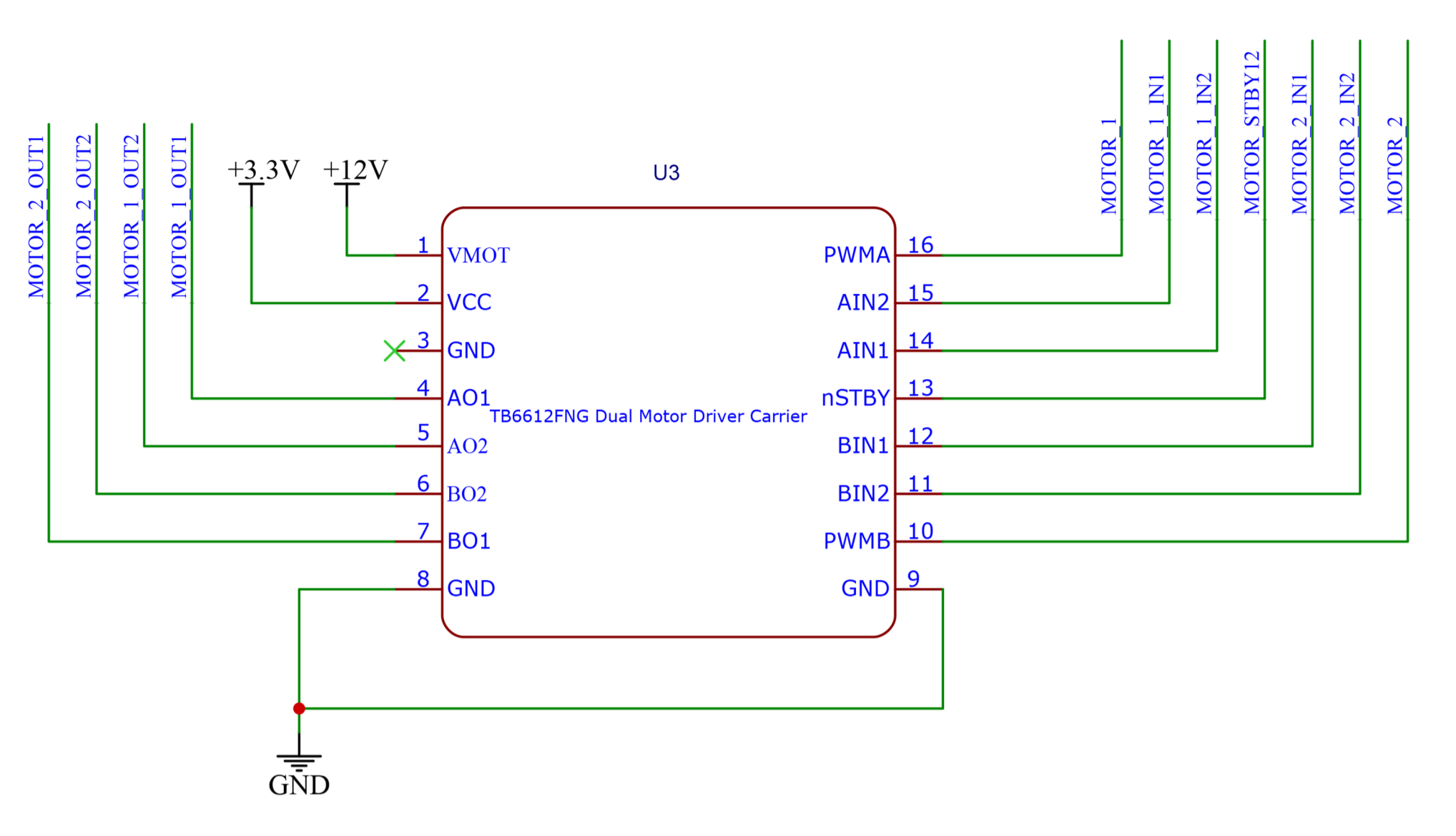
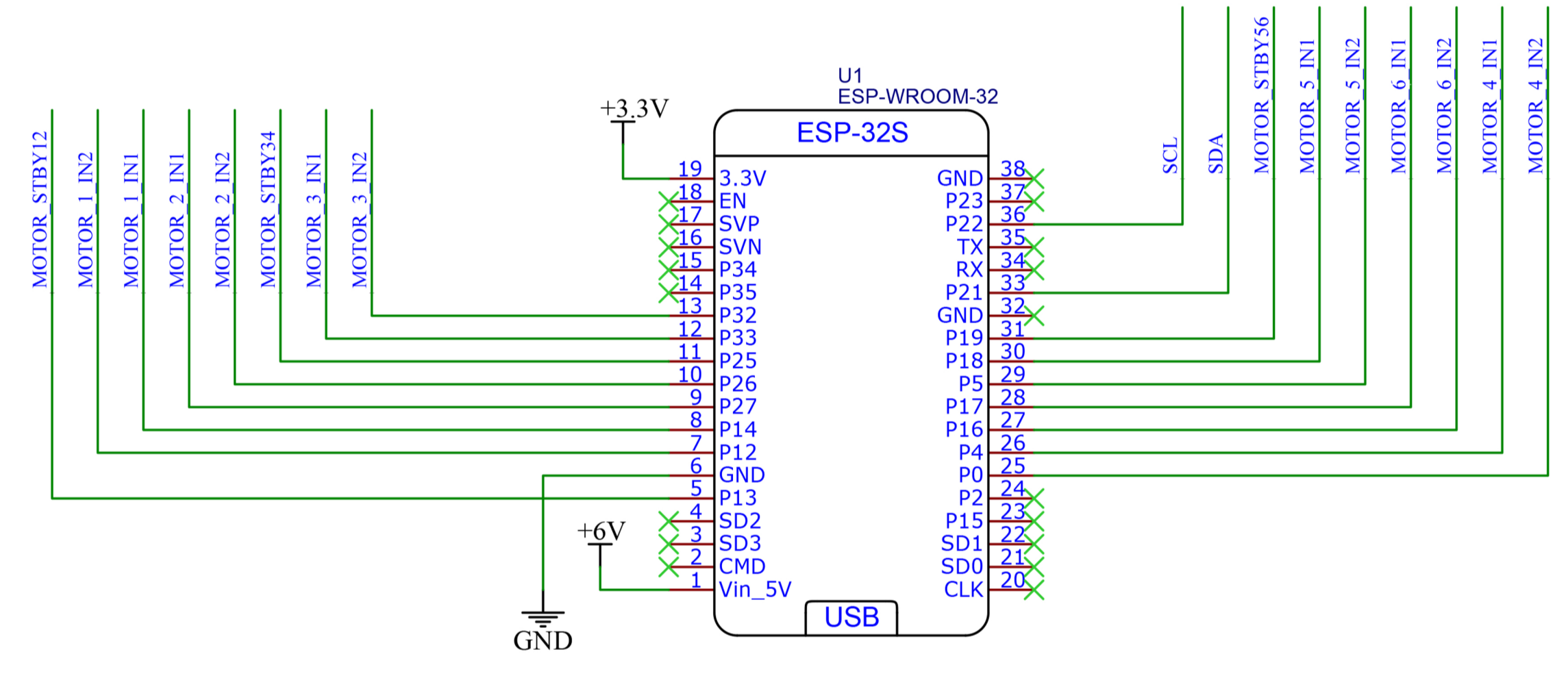
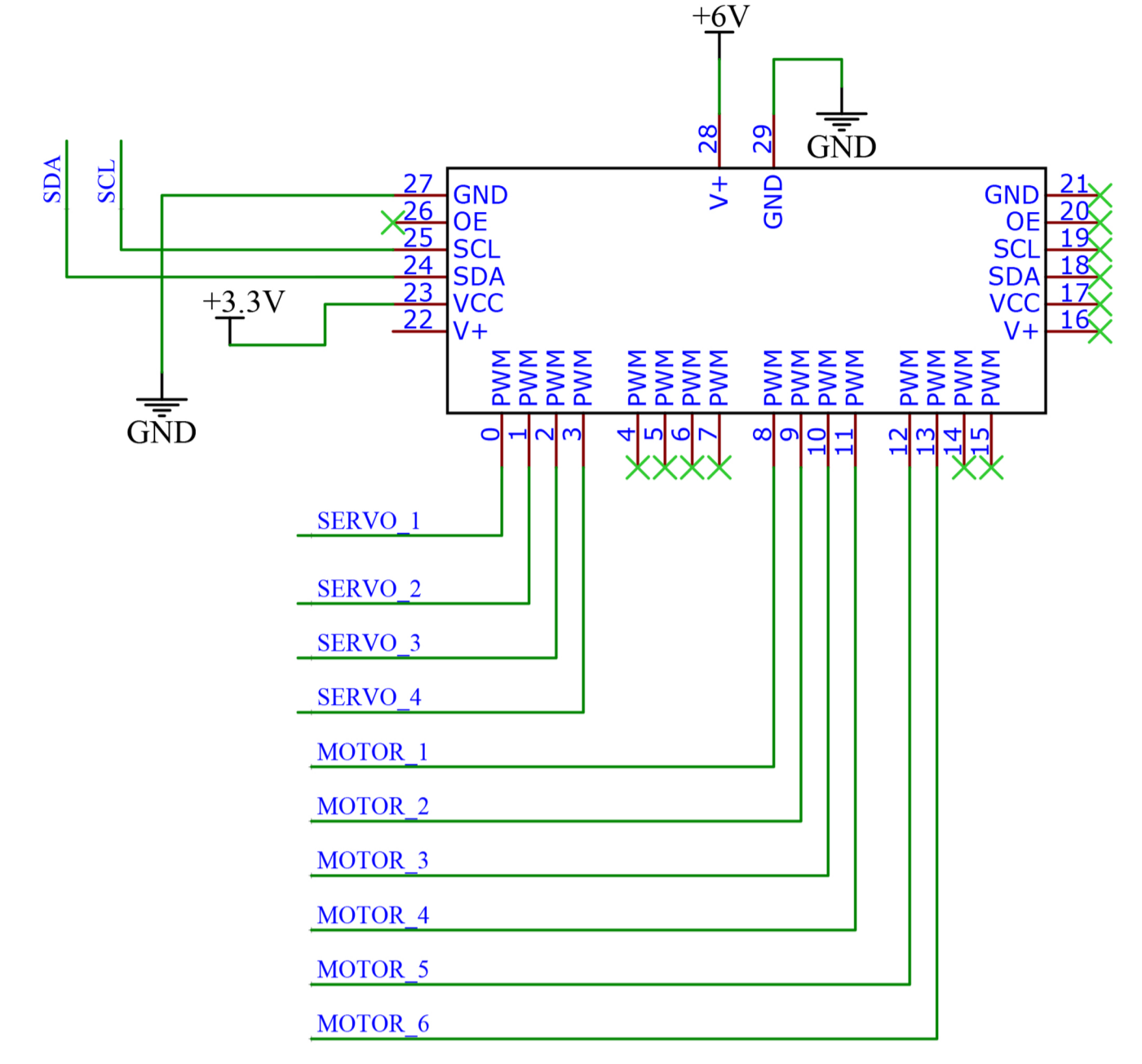


				ПМІ БР.60.04.00.000 СК		
ЗМ. Арк.	№ докум.	Підп.	Дата	Рама		Лит.
				Складальне креслення		Маса
						Масштаб
						1:2
						Аркш 1
						Аркшів 4
						ІФНТУНГ
						ПМІ-21-1
						Формат А1

Лист № 1
Лист № 2
Лист № 3
Лист № 4
Лист № 5
Лист № 6
Лист № 7
Лист № 8
Лист № 9
Лист № 10
Лист № 11
Лист № 12
Лист № 13
Лист № 14
Лист № 15
Лист № 16
Лист № 17
Лист № 18
Лист № 19
Лист № 20
Лист № 21
Лист № 22
Лист № 23
Лист № 24
Лист № 25
Лист № 26
Лист № 27
Лист № 28
Лист № 29
Лист № 30
Лист № 31
Лист № 32
Лист № 33
Лист № 34
Лист № 35
Лист № 36
Лист № 37
Лист № 38
Лист № 39
Лист № 40



U2 Adafruit 16-Channel 12-bit PWM/Servo Driver - I2C interface - PCA9685



				ПМІ БР.60.00.00.00 СЕП		
				Блок Керування		
Зм. Арк.	№ докум.	Підп.	Дата	Лит.	Маса	Масштаб
Розроб.	Дрегалю О.Ю.					
Перев.	Панчук В.Г.			Архив 1	Архив 2	
Реценз.	Панчук В.Г.			ІФНТУНГ		
Н. контр.	Панчук В.Г.			ПМІ-21-1		
Затв.	Панчук В.Г.			Формат А1		

В
Пер. Заступання
Добітка №
Підп. і дата
Лист № звіт.
Заність № і №
Підп. і дата
Лист № графіки

```
1 #include "config.h"
2
3 #include <SPI.h>
4 #include <WiFi.h>
5 #include <BlynkSimpleEsp32.h>
6 #include <Wire.h>
7 #include <Adafruit_PWMServoDriver.h>
8
9
10 // Облікові дані Wi-F
11 char auth[] = BLYNK_AUTH_TOKEN;
12 char ssid[] = "Mars_rover";
13 char pass[] = "miniRover";
14
15 // Драйвер серво PCA9685
16 Adafruit_PWMServoDriver pwm = Adafruit_PWMServoDriver();
17
18
19 // Ініціалізація основних змінних
20 int XPlot = 90;
21 int YPlot = 0;
22 int YPlot_b = 0;
23 int servo1Angle = 90;
24 int servo3Angle = 90;
25 int servo4Angle = 90;
26 int servo6Angle = 90;
27 int speed = 0;
28 int radius = 0;
29 float speed1, speed2, speed3 = 0;
30 float speed1PWM, speed2PWM, speed3PWM = 0;
31 float thetaInnerFront, thetaInnerBack, thetaOuterFront, thetaOuterBack = 0;
32
33
34 // Встановлення ШІМ для серво
35 void setServoPWMViaPCA9685(uint8_t servoChannel, int microseconds)
36 {
37     uint16_t pulseLength = map(microseconds, 0, 180, SERVO_MIN, SERVO_MAX);
38     pwm.setPWM(servoChannel, 0, pulseLength);
39 }
40
41 // Встановлення ШІМ для мотора
42 void setMotorPWMViaPCA9685(uint8_t servoChannel, int microseconds)
43 {
44     pwm.setPWM(servoChannel, 0, microseconds);
45 }
46
47 // Ініціалізація PCA9685
48 void PCA9685_init(int servoInitAngle)
49 {
50     // Ініціалізація PCA9685
51     if (!pwm.begin())
52     {
53         Serial.println("Помилка ініціалізації PCA9685!");
54         while (true); // Зупинка, якщо ініціалізація не вдалася
55     }
56     else
57     {
58         Serial.println("PCA9685 успішно ініціалізовано.");
59     }
60
61     pwm.setPWMPrescale(50); // Частота для сервоприводів (50 Гц)
62
63     setServoPWMViaPCA9685(SERVO_1, servoInitAngle);
64     setServoPWMViaPCA9685(SERVO_3, servoInitAngle);
65     setServoPWMViaPCA9685(SERVO_4, servoInitAngle);
66     setServoPWMViaPCA9685(SERVO_6, servoInitAngle);
67 }
68
69 // Ініціалізація пінів моторів
70 void motor_init()
71 {
72     pinMode(MOTOR_STBY12, OUTPUT);
73     pinMode(MOTOR_STBY34, OUTPUT);
74     pinMode(MOTOR_STBY56, OUTPUT);
75     pinMode(MOTOR_1_IN1, OUTPUT);
76     pinMode(MOTOR_1_IN2, OUTPUT);
77     pinMode(MOTOR_2_IN1, OUTPUT);
78     pinMode(MOTOR_2_IN2, OUTPUT);
79     pinMode(MOTOR_3_IN1, OUTPUT);
80     pinMode(MOTOR_3_IN2, OUTPUT);
81     pinMode(MOTOR_4_IN1, OUTPUT);
82     pinMode(MOTOR_4_IN2, OUTPUT);
83     pinMode(MOTOR_5_IN1, OUTPUT);
84     pinMode(MOTOR_5_IN2, OUTPUT);
85     pinMode(MOTOR_6_IN1, OUTPUT);
86     pinMode(MOTOR_6_IN2, OUTPUT);
87
88     digitalWrite(MOTOR_STBY12, HIGH);
89     digitalWrite(MOTOR_STBY34, HIGH);
90     digitalWrite(MOTOR_STBY56, HIGH);
91     digitalWrite(MOTOR_1_IN1, LOW);
92     digitalWrite(MOTOR_1_IN2, LOW);
93     digitalWrite(MOTOR_2_IN1, LOW);
94     digitalWrite(MOTOR_2_IN2, LOW);
95     digitalWrite(MOTOR_3_IN1, LOW);
96     digitalWrite(MOTOR_3_IN2, LOW);
97     digitalWrite(MOTOR_4_IN1, LOW);
98     digitalWrite(MOTOR_4_IN2, LOW);
99     digitalWrite(MOTOR_5_IN1, LOW);
100    digitalWrite(MOTOR_5_IN2, LOW);
101    digitalWrite(MOTOR_6_IN1, LOW);
102    digitalWrite(MOTOR_6_IN2, LOW);
103 }
104
105 void setup()
106 {
107     Serial.begin(115200);
108     Blynk.begin(auth, ssid, pass);
109
110     PCA9685_init(SERVO_INIT_ANGLE);
111     motor_init();
112 }
113
114
115 //Функція виклику Blynk V1
116 BLYNK_WRITE(V1)
117 {
```

```
118     XPlot = param.asInt(); // Отримати значення кута з повзунка (0-180)
119 }
120
121 //Функція виклику Blynk V2
122 BLYNK_WRITE(V2)
123 {
124     YPlot_b = param.asInt(); // Отримати значення кута з повзунка (-90-90)
125 }
126
127
128
129 // Обчислити кут для кожного сервоприводу на основі заданого радіуса повороту
130 void calculateServoAngle(int radius)
131 {
132     thetaInnerFront = round(atan((LINK_D3 / (radius + LINK_D1)))) * 180 / PI;
133     thetaInnerBack = round(atan((LINK_D2 / (radius + LINK_D1)))) * 180 / PI;
134     thetaOuterFront = round(atan((LINK_D3 / (radius - LINK_D1)))) * 180 / PI;
135     thetaOuterBack = round(atan((LINK_D2 / (radius - LINK_D1)))) * 180 / PI;
136 }
137
138 // Обчислення швидкості двигунів
139 void calculateMotorsSpeed(int radius, int speed)
140 {
141     // Якщо немає кермового впливу, швидкість усіх коліс однакова – прямолінійний рух
142     if (YPlot > 89 && YPlot < 91)
143     {
144         speed1 = speed2 = speed3 = speed;
145     }
146     // Під час повороту швидкість коліс залежить від значення радіуса повороту
147     else
148     {
149         // Зовнішні колеса, найдалше від центру повороту, мають найбільшу швидкість
150         // Через геометрію ровера всі три зовнішні колеса повинні обертатися майже з однаковою швидкістю.
151         // Різниця становить лише близько 1%, тому вважаємо їх однаковими.
152         speed1 = speed;
153         // Внутрішні передні та задні колеса ближче до точки повороту і мають нижчу швидкість порівняно із зовнішніми колесами
154         speed2 = speed * sqrt(pow(LINK_D3, 2) + pow((radius - LINK_D1), 2)) / (radius + LINK_D4);
155         // Внутрішнє середнє колесо найближче до точки повороту і має найнижчу швидкість
156         speed3 = speed * (radius - LINK_D4) / (radius + LINK_D4);
157     }
158
159     // Значення швидкості від 0 до 100% конвертується у PWM від 0 до 4095
160     speed1PWM = map(round(speed1), 0, 100, 0, 4095);
161     speed2PWM = map(round(speed2), 0, 100, 0, 4095);
162     speed3PWM = map(round(speed3), 0, 100, 0, 4095);
163 }
164
165
166 // Виводимо значення які отримали від Blynk
167 void printBlynkInput()
168 {
169     Serial.print("XPlot = ");
170     Serial.print(YPlot);
171     Serial.print(" XPlot = ");
172     Serial.println(XPlot);
173 }
174
175 //Виводимо значення змінних швидкості
176 void printSpeedInfo()
177 {
178     Serial.print("speed:");
179     Serial.println(speed);
180     Serial.print("speed1:");
181     Serial.println(speed1);
182     Serial.print("speed2:");
183     Serial.println(speed2);
184     Serial.print("speed3:");
185     Serial.println(speed3);
186     Serial.print("speed1PWM:");
187     Serial.println(speed1PWM);
188     Serial.print("speed2PWM:");
189     Serial.println(speed2PWM);
190     Serial.print("speed3PWM:");
191     Serial.println(speed3PWM);
192 }
193
194 //Виводимо значення змінних радіусу
195 void printRadiusInfo()
196 {
197     Serial.print("radius:");
198     Serial.println(radius);
199     Serial.print("thetaInnerFront:");
200     Serial.println(thetaInnerFront);
201     Serial.print("thetaInnerBack:");
202     Serial.println(thetaInnerBack);
203     Serial.print("thetaOuterFront:");
204     Serial.println(thetaOuterFront);
205     Serial.print("thetaOuterBack:");
206     Serial.println(thetaOuterBack);
207 }
208
209 //Рух вправо вперед
210 void moveRightForward()
211 {
212     // Моторне колесо 1 – переднє ліве
213     setServoPWMViaPCA9685(MOTOR_1, speed1PWM); // Зовнішні колеса рухаються зі швидкістю speed1 – максимальною
214     digitalWrite(MOTOR_1_IN1, HIGH);
215     digitalWrite(MOTOR_1_IN2, LOW);
216
217     // Моторне колесо 2 – ліве середнє
218     setServoPWMViaPCA9685(MOTOR_2, speed1PWM);
219     digitalWrite(MOTOR_2_IN1, HIGH);
220     digitalWrite(MOTOR_2_IN2, LOW);
221
222     // Моторне колесо 3 – ліве заднє
223     setServoPWMViaPCA9685(MOTOR_3, speed1PWM);
224     digitalWrite(MOTOR_3_IN1, HIGH);
225     digitalWrite(MOTOR_3_IN2, LOW);
226
227     // Мотори правої сторони рухаються в протилежному напрямку
228     // Моторне колесо 4 – праве переднє
229     setServoPWMViaPCA9685(MOTOR_4, speed2PWM); // Внутрішнє переднє колесо рухається зі швидкістю speed2 – нижчою швидкістю
230     digitalWrite(MOTOR_4_IN1, HIGH);
231     digitalWrite(MOTOR_4_IN2, LOW);
232
233     // Моторне колесо 5 – праве середнє
234     setServoPWMViaPCA9685(MOTOR_5, speed3PWM); // Внутрішнє середнє колесо рухається зі швидкістю speed3 – мінімальною швидкістю
```

```
235     digitalWrite(MOTOR_5_IN1, HIGH);
236     digitalWrite(MOTOR_5_IN2, LOW);
237
238     // Моторне колесо 6 – праве заднє
239     setServoPWMViaPCA9685(MOTOR_6, speed2PWM); // Внутрішнє заднє колесо рухається зі швидкістю speed2 – нижчою швидкістю
240     digitalWrite(MOTOR_6_IN1, HIGH);
241     digitalWrite(MOTOR_6_IN2, LOW);
242 }
243
244 //Рух вправо назад
245 void moveRightBack()
246 {
247     // Моторне колесо 1 – ліве переднє
248     setServoPWMViaPCA9685(MOTOR_1, speed1PWM); // Зовнішні колеса рухаються зі швидкістю speed1 – максимальною
249     digitalWrite(MOTOR_1_IN1, LOW);
250     digitalWrite(MOTOR_1_IN2, HIGH);
251
252     // Моторне колесо 2 – ліве середнє
253     setServoPWMViaPCA9685(MOTOR_2, speed1PWM);
254     digitalWrite(MOTOR_2_IN1, LOW);
255     digitalWrite(MOTOR_2_IN2, HIGH);
256
257     // Моторне колесо 3 – ліве заднє
258     setServoPWMViaPCA9685(MOTOR_3, speed1PWM);
259     digitalWrite(MOTOR_3_IN1, LOW);
260     digitalWrite(MOTOR_3_IN2, HIGH);
261
262     // Мотори правої сторони рухаються в протилежному напрямку
263     // Моторне колесо 4 – праве переднє
264     setServoPWMViaPCA9685(MOTOR_4, speed2PWM); // Внутрішнє переднє колесо рухається зі швидкістю speed2 – нижчою швидкістю
265     digitalWrite(MOTOR_4_IN1, LOW);
266     digitalWrite(MOTOR_4_IN2, HIGH);
267
268     // Моторне колесо 5 – праве середнє
269     setServoPWMViaPCA9685(MOTOR_5, speed3PWM); // Внутрішнє середнє колесо рухається зі швидкістю speed3 – найнижчою швидкістю
270     digitalWrite(MOTOR_5_IN1, LOW);
271     digitalWrite(MOTOR_5_IN2, HIGH);
272
273     // Моторне колесо 6 – праве заднє
274     setServoPWMViaPCA9685(MOTOR_6, speed2PWM); // Внутрішнє заднє колесо рухається зі швидкістю speed2 – нижчою швидкістю
275     digitalWrite(MOTOR_6_IN1, LOW);
276     digitalWrite(MOTOR_6_IN2, HIGH);
277 }
278
279 // Рух вліво вперед
280 void moveLeftForward()
281 {
282     // Моторне колесо 1 – ліве переднє
283     setServoPWMViaPCA9685(MOTOR_1, speed2PWM);
284     digitalWrite(MOTOR_1_IN1, HIGH);
285     digitalWrite(MOTOR_1_IN2, LOW);
286
287     // Моторне колесо 2 – ліве середнє
288     setServoPWMViaPCA9685(MOTOR_2, speed3PWM);
289     digitalWrite(MOTOR_2_IN1, HIGH);
290     digitalWrite(MOTOR_2_IN2, LOW);
291
292     // Моторне колесо 3 – ліве заднє
293     setServoPWMViaPCA9685(MOTOR_3, speed2PWM);
294     digitalWrite(MOTOR_3_IN1, HIGH);
295     digitalWrite(MOTOR_3_IN2, LOW);
296
297     // Мотори правої сторони рухаються в протилежному напрямку
298     // Моторне колесо 4 – праве переднє
299     setServoPWMViaPCA9685(MOTOR_4, speed1PWM);
300     digitalWrite(MOTOR_4_IN1, HIGH);
301     digitalWrite(MOTOR_4_IN2, LOW);
302
303     // Моторне колесо 5 – праве середнє
304     setServoPWMViaPCA9685(MOTOR_5, speed1PWM);
305     digitalWrite(MOTOR_5_IN1, HIGH);
306
307     // Моторне колесо 6 – праве заднє
308     setServoPWMViaPCA9685(MOTOR_6, speed1PWM);
309     digitalWrite(MOTOR_6_IN1, HIGH);
310     digitalWrite(MOTOR_6_IN2, LOW);
311 }
312
313 // Рух вліво назад
314 void moveLeftBack()
315 {
316     // Моторне колесо 1 – ліве переднє
317     setServoPWMViaPCA9685(MOTOR_1, speed2PWM);
318     digitalWrite(MOTOR_1_IN1, LOW);
319     digitalWrite(MOTOR_1_IN2, HIGH);
320
321     // Моторне колесо 2 – ліве середнє
322     setServoPWMViaPCA9685(MOTOR_2, speed3PWM);
323     digitalWrite(MOTOR_2_IN1, LOW);
324     digitalWrite(MOTOR_2_IN2, HIGH);
325
326     // Моторне колесо 3 – ліве заднє
327     setServoPWMViaPCA9685(MOTOR_3, speed2PWM);
328     digitalWrite(MOTOR_3_IN1, LOW);
329     digitalWrite(MOTOR_3_IN2, HIGH);
330
331     // Мотори правої сторони рухаються в протилежному напрямку
332     // Моторне колесо 4 – праве переднє
333     setServoPWMViaPCA9685(MOTOR_4, speed1PWM);
334     digitalWrite(MOTOR_4_IN1, LOW);
335     digitalWrite(MOTOR_4_IN2, HIGH);
336
337     // Моторне колесо 5 – праве середнє
338     setServoPWMViaPCA9685(MOTOR_5, speed1PWM);
339     digitalWrite(MOTOR_5_IN1, LOW);
340     digitalWrite(MOTOR_5_IN2, HIGH);
341
342     // Моторне колесо 6 – праве заднє
343     setServoPWMViaPCA9685(MOTOR_6, speed1PWM);
344     digitalWrite(MOTOR_6_IN1, LOW);
345     digitalWrite(MOTOR_6_IN2, HIGH);
346 }
347
348 // Рух прямо вперед
349 void moveStraightForward()
350 {
351     // Моторне колесо 1 – ліве переднє
```

```
352     digitalWrite(MOTOR_5_IN1, HIGH);
353     digitalWrite(MOTOR_5_IN2, LOW);
354
355     // Моторне колесо 2 – ліве середнє
356     setServoPWMViaPCA9685(MOTOR_2, speed3PWM);
357     digitalWrite(MOTOR_2_IN1, HIGH);
358     digitalWrite(MOTOR_2_IN2, LOW);
359
360     // Моторне колесо 3 – ліве заднє
361     setServoPWMViaPCA9685(MOTOR_3, speed2PWM);
362     digitalWrite(MOTOR_3_IN1, HIGH);
363     digitalWrite(MOTOR_3_IN2, LOW);
364
365     // Мотори правої сторони рухаються в протилежному напрямку
366     // Моторне колесо 4 – праве переднє
367     setServoPWMViaPCA9685(MOTOR_4, speed1PWM);
368     digitalWrite(MOTOR_4_IN1, HIGH);
369     digitalWrite(MOTOR_4_IN2, LOW);
370
371     // Моторне колесо 5 – праве середнє
372     setServoPWMViaPCA9685(MOTOR_5, speed1PWM);
373     digitalWrite(MOTOR_5_IN1, HIGH);
374
375     // Моторне колесо 6 – праве заднє
376     setServoPWMViaPCA9685(MOTOR_6, speed1PWM);
377     digitalWrite(MOTOR_6_IN1, HIGH);
378     digitalWrite(MOTOR_6_IN2, LOW);
379
380     // Мотори правої сторони рухаються в протилежному напрямку
381     // Моторне колесо 4 – праве переднє
382     setServoPWMViaPCA9685(MOTOR_4, speed1PWM);
383     digitalWrite(MOTOR_4_IN1, HIGH);
384     digitalWrite(MOTOR_4_IN2, LOW);
385
386     // Моторне колесо 5 – праве середнє
387     setServoPWMViaPCA9685(MOTOR_5, speed1PWM);
388     digitalWrite(MOTOR_5_IN1, HIGH);
389
390     // Моторне колесо 6 – праве заднє
391     setServoPWMViaPCA9685(MOTOR_6, speed1PWM);
392     digitalWrite(MOTOR_6_IN1, HIGH);
393     digitalWrite(MOTOR_6_IN2, LOW);
394
395     // Мотори правої сторони рухаються в протилежному напрямку
396     // Моторне колесо 4 – праве переднє
397     setServoPWMViaPCA9685(MOTOR_4, speed1PWM);
398     digitalWrite(MOTOR_4_IN1, HIGH);
399     digitalWrite(MOTOR_4_IN2, LOW);
400
401     // Моторне колесо 5 – праве середнє
402     setServoPWMViaPCA9685(MOTOR_5, speed1PWM);
403     digitalWrite(MOTOR_5_IN1, HIGH);
404
405     // Моторне колесо 6 – праве заднє
406     setServoPWMViaPCA9685(MOTOR_6, speed1PWM);
407     digitalWrite(MOTOR_6_IN1, HIGH);
408     digitalWrite(MOTOR_6_IN2, LOW);
409
410     // Мотори правої сторони рухаються в протилежному напрямку
411     // Моторне колесо 4 – праве переднє
412     setServoPWMViaPCA9685(MOTOR_4, speed1PWM);
413     digitalWrite(MOTOR_4_IN1, HIGH);
414     digitalWrite(MOTOR_4_IN2, LOW);
415
416     // Моторне колесо 5 – праве середнє
417     setServoPWMViaPCA9685(MOTOR_5, speed1PWM);
418     digitalWrite(MOTOR_5_IN1, HIGH);
419
420     // Моторне колесо 6 – праве заднє
421     setServoPWMViaPCA9685(MOTOR_6, speed1PWM);
422     digitalWrite(MOTOR_6_IN1, HIGH);
423     digitalWrite(MOTOR_6_IN2, LOW);
424
425     // Мотори правої сторони рухаються в протилежному напрямку
426     // Моторне колесо 4 – праве переднє
427     setServoPWMViaPCA9685(MOTOR_4, speed1PWM);
428     digitalWrite(MOTOR_4_IN1, HIGH);
429     digitalWrite(MOTOR_4_IN2, LOW);
430
431     // Моторне колесо 5 – праве середнє
432     setServoPWMViaPCA9685(MOTOR_5, speed1PWM);
433     digitalWrite(MOTOR_5_IN1, HIGH);
434
435     // Моторне колесо 6 – праве заднє
436     setServoPWMViaPCA9685(MOTOR_6, speed1PWM);
437     digitalWrite(MOTOR_6_IN1, HIGH);
438     digitalWrite(MOTOR_6_IN2, LOW);
439
440     // Мотори правої сторони рухаються в протилежному напрямку
441     // Моторне колесо 4 – праве переднє
442     setServoPWMViaPCA9685(MOTOR_4, speed1PWM);
443     digitalWrite(MOTOR_4_IN1, HIGH);
444     digitalWrite(MOTOR_4_IN2, LOW);
445
446     // Моторне колесо 5 – праве середнє
447     setServoPWMViaPCA9685(MOTOR_5, speed1PWM);
448     digitalWrite(MOTOR_5_IN1, HIGH);
449
450     // Моторне колесо 6 – праве заднє
451     setServoPWMViaPCA9685(MOTOR_6, speed1PWM);
452     digitalWrite(MOTOR_6_IN1, HIGH);
453     digitalWrite(MOTOR_6_IN2, LOW);
454
455     // Мотори правої сторони рухаються в протилежному напрямку
456     // Моторне колесо 4 – праве переднє
457     setServoPWMViaPCA9685(MOTOR_4, speed1PWM);
458     digitalWrite(MOTOR_4_IN1, HIGH);
459     digitalWrite(MOTOR_4_IN2, LOW);
460
461     // Моторне колесо 5 – праве середнє
462     setServoPWMViaPCA9685(MOTOR_5, speed1PWM);
463     digitalWrite(MOTOR_5_IN1, HIGH);
464
465     // Моторне колесо 6 – праве заднє
466     setServoPWMViaPCA9685(MOTOR_6, speed1PWM);
467     digitalWrite(MOTOR_6_IN1, HIGH);
468     digitalWrite(MOTOR_6_IN2, LOW);
469
470     // Мотори правої сторони рухаються в протилежному напрямку
471     // Моторне колесо 4 – праве переднє
472     setServoPWMViaPCA9685(MOTOR_4, speed1PWM);
473     digitalWrite(MOTOR_4_IN1, HIGH);
474     digitalWrite(MOTOR_4_IN2, LOW);
475
476     // Моторне колесо 5 – праве середнє
477     setServoPWMViaPCA9685(MOTOR_5, speed1PWM);
478     digitalWrite(MOTOR_5_IN1, HIGH);
479
480     // Моторне колесо 6 – праве заднє
481     setServoPWMViaPCA9685(MOTOR_6, speed1PWM);
482     digitalWrite(MOTOR_6_IN1, HIGH);
483     digitalWrite(MOTOR_6_IN2, LOW);
484
485     // Мотори правої сторони рухаються в протилежному напрямку
486     // Моторне колесо 4 – праве переднє
487     setServoPWMViaPCA9685(MOTOR_4, speed1PWM);
488     digitalWrite(MOTOR_4_IN1, HIGH);
489     digitalWrite(MOTOR_4_IN2, LOW);
490
491     // Моторне колесо 5 – праве середнє
492     setServoPWMViaPCA9685(MOTOR_5, speed1PWM);
493     digitalWrite(MOTOR_5_IN1, HIGH);
494
495     // Моторне колесо 6 – праве заднє
496     setServoPWMViaPCA9685(MOTOR_6, speed1PWM);
497     digitalWrite(MOTOR_6_IN1, HIGH);
498     digitalWrite(MOTOR_6_IN2, LOW);
499
500     // Мотори правої сторони рухаються в протилежному напрямку
501     // Моторне колесо 4 – праве переднє
502     setServoPWMViaPCA9685(MOTOR_4, speed1PWM);
503     digitalWrite(MOTOR_4_IN1, HIGH);
504     digitalWrite(MOTOR_4_IN2, LOW);
505
506     // Моторне колесо 5 – праве середнє
507     setServoPWMViaPCA9685(MOTOR_5, speed1PWM);
508     digitalWrite(MOTOR_5_IN1, HIGH);
509
510     // Моторне колесо 6 – праве заднє
511     setServoPWMViaPCA9685(MOTOR_6, speed1PWM);
512     digitalWrite(MOTOR_6_IN1, HIGH);
513     digitalWrite(MOTOR_6_IN2, LOW);
514
515     // Мотори правої сторони рухаються в протилежному напрямку
516     // Моторне колесо 4 – праве переднє
517     setServoPWMViaPCA9685(MOTOR_4, speed1PWM);
518     digitalWrite(MOTOR_4_IN1, HIGH);
519     digitalWrite(MOTOR_4_IN2, LOW);
520
521     // Моторне колесо 5 – праве середнє
522     setServoPWMViaPCA9685(MOTOR_5, speed1PWM);
523     digitalWrite(MOTOR_5_IN1, HIGH);
524
525     // Моторне колесо 6 – праве заднє
526     setServoPWMViaPCA9685(MOTOR_6, speed1PWM);
527     digitalWrite(MOTOR_6_IN1, HIGH);
528     digitalWrite(MOTOR_6_IN2, LOW);
529
530     // Мотори правої сторони рухаються в протилежному напрямку
531     // Моторне колесо 4 – праве переднє
532     setServoPWMViaPCA9685(MOTOR_4, speed1PWM);
533     digitalWrite(MOTOR_4_IN1, HIGH);
534     digitalWrite(MOTOR_4_IN2, LOW);
535
536     // Моторне колесо 5 – праве середнє
537     setServoPWMViaPCA9685(MOTOR_5, speed1PWM);
538     digitalWrite(MOTOR_5_IN1, HIGH);
539
540     // Моторне колесо 6 – праве заднє
541     setServoPWMViaPCA9685(MOTOR_6, speed1PWM);
542     digitalWrite(MOTOR_6_IN1, HIGH);
543     digitalWrite(MOTOR_6_IN2, LOW);
544
545     // Мотори правої сторони рухаються в протилежному напрямку
546     // Моторне колесо 4 – праве переднє
547     setServoPWMViaPCA9685(MOTOR_4, speed1PWM);
548     digitalWrite(MOTOR_4_IN1, HIGH);
549     digitalWrite(MOTOR_4_IN2, LOW);
550
551     // Моторне колесо 5 – праве середнє
552     setServoPWMViaPCA9685(MOTOR_5, speed1PWM);
553     digitalWrite(MOTOR_5_IN1, HIGH);
554
555     // Моторне колесо 6 – праве заднє
556     setServoPWMViaPCA9685(MOTOR_6, speed1PWM);
557     digitalWrite(MOTOR_6_IN1, HIGH);
558     digitalWrite(MOTOR_6_IN2, LOW);
559
560     // Мотори правої сторони рухаються в протилежному напрямку
561     // Моторне колесо 4 – праве переднє
562     setServoPWMViaPCA9685(MOTOR_4, speed1PWM);
563     digitalWrite(MOTOR_4_IN1, HIGH);
564     digitalWrite(MOTOR_4_IN2, LOW);
565
566     // Моторне колесо 5 – праве середнє
567     setServoPWMViaPCA9685(MOTOR_5, speed1PWM);
568     digitalWrite(MOTOR_5_IN1, HIGH);
569
570     // Моторне колесо 6 – праве заднє
571     setServoPWMViaPCA9685(MOTOR_6, speed1PWM);
572     digitalWrite(MOTOR_6_IN1, HIGH);
573     digitalWrite(MOTOR_6_IN2, LOW);
574
575     // Мотори правої сторони рухаються в протилежному напрямку
576     // Моторне колесо 4 – праве переднє
577     setServoPWMViaPCA9685(MOTOR_4, speed1PWM);
578     digitalWrite(MOTOR_4_IN1, HIGH);
579     digitalWrite(MOTOR_4_IN2, LOW);
580
581     // Моторне колесо 5 – праве середнє
582     setServoPWMViaPCA9685(MOTOR_5, speed1PWM);
583     digitalWrite(MOTOR_5_IN1, HIGH);
584
585     // Моторне колесо 6 – праве заднє
586     setServoPWMViaPCA9685(MOTOR_6, speed1PWM);
587     digitalWrite(MOTOR_6_IN1, HIGH);
588     digitalWrite(MOTOR_6_IN2, LOW);
589
590     // Мотори правої сторони рухаються в протилежному напрямку
591     // Моторне колесо 4 – праве переднє
592     setServoPWMViaPCA9685(MOTOR_4, speed1PWM);
593     digitalWrite(MOTOR_4_IN1, HIGH);
594     digitalWrite(MOTOR_4_IN2, LOW);
595
596     // Моторне колесо 5 – праве середнє
597     setServoPWMViaPCA9685(MOTOR_5, speed1PWM);
598     digitalWrite(MOTOR_5_IN1, HIGH);
599
600     // Моторне колесо 6 – праве заднє
601     setServoPWMViaPCA9685(MOTOR_6, speed1PWM);
602     digitalWrite(MOTOR_6_IN1, HIGH);
603     digitalWrite(MOTOR_6_IN2, LOW);
604
605     // Мотори правої сторони рухаються в протилежному напрямку
606     // Моторне колесо 4 – праве переднє
607     setServoPWMViaPCA9685(MOTOR_4, speed1PWM);
608     digitalWrite(MOTOR_4_IN1, HIGH);
609     digitalWrite(MOTOR_4_IN2, LOW);
610
611     // Моторне колесо 5 – праве середнє
612     setServoPWMViaPCA9685(MOTOR_5, speed1PWM);
613     digitalWrite(MOTOR_5_IN1, HIGH);
614
615     // Моторне колесо 6 – праве заднє
616     setServoPWMViaPCA9685(MOTOR_6, speed1PWM);
617     digitalWrite(MOTOR_6_IN1, HIGH);
618     digitalWrite(MOTOR_6_IN2, LOW);
619
620     // Мотори правої сторони рухаються в протилежному напрямку
621     // Моторне колесо 4 – праве переднє
622     setServoPWMViaPCA9685(MOTOR_4, speed1PWM);
623     digitalWrite(MOTOR_4_IN1, HIGH);
624     digitalWrite(MOTOR_4_IN2, LOW);
625
626     // Моторне колесо 5 – праве середнє
627     setServoPWMViaPCA9685(MOTOR_5, speed1PWM);
628     digitalWrite(MOTOR_5_IN1, HIGH);
629
630     // Моторне колесо 6 – праве заднє
631     setServoPWMViaPCA9685(MOTOR_6, speed1PWM);
632     digitalWrite(MOTOR_6_IN1, HIGH);
633     digitalWrite(MOTOR_6_IN2, LOW);
634
635     // Мотори правої сторони рухаються в протилежному напрямку
636     // Моторне колесо 4 – праве переднє
637     setServoPWMViaPCA9685(MOTOR_4, speed1PWM);
638     digitalWrite(MOTOR_4_IN1, HIGH);
639     digitalWrite(MOTOR_4_IN2, LOW);
640
641     // Моторне колесо 5 – праве середнє
642     setServoPWMViaPCA9685(MOTOR_5, speed1PWM);
643     digitalWrite(MOTOR_5_IN1, HIGH);
644
645     // Моторне колесо 6 – праве заднє
646     setServoPWMViaPCA9685(MOTOR_6, speed1PWM);
647     digitalWrite(MOTOR_6_IN1, HIGH);
648     digitalWrite(MOTOR_6_IN2, LOW);
649
650     // Мотори правої сторони рухаються в протилежному напрямку
651     // Моторне колесо 4 – праве переднє
652     setServoPWMViaPCA9685(MOTOR_4, speed1PWM);
653     digitalWrite(MOTOR_4_IN1, HIGH);
654     digitalWrite(MOTOR_4_IN2, LOW);
655
656     // Моторне колесо 5 – праве середнє
657     setServoPWMViaPCA9685(MOTOR_5, speed1PWM);
658     digitalWrite(MOTOR_5_IN1, HIGH);
659
660     // Моторне колесо 6 – праве заднє
661     setServoPWMViaPCA9685(MOTOR_6, speed1PWM);
662     digitalWrite(MOTOR_6_IN1, HIGH);
663     digitalWrite(MOTOR_6_IN2, LOW);
664
665     // Мотори правої сторони рухаються в протилежному напрямку
666     // Моторне колесо 4 – праве переднє
667     setServoPWMViaPCA9685(MOTOR_4, speed1PWM);
668     digitalWrite(MOTOR_4_IN1, HIGH);
669     digitalWrite(MOTOR_4_IN2, LOW);
670
671     // Моторне колесо 5 – праве середнє
672     setServoPWMViaPCA9685(MOTOR_5, speed1PWM);
673     digitalWrite(MOTOR_5_IN1, HIGH);
674
675     // Моторне колесо 6 – праве заднє
676     setServoPWMViaPCA9685(MOTOR_6, speed1PWM);
677     digitalWrite(MOTOR_6_IN1, HIGH);
678     digitalWrite(MOTOR_6_IN2, LOW);
679
680     // Мотори правої сторони рухаються в протилежному напрямку
681     // Моторне колесо 4 – праве переднє
682     setServoPWMViaPCA9685(MOTOR_4, speed1PWM);
683     digitalWrite(MOTOR_4_IN1, HIGH);
684     digitalWrite(MOTOR_4_IN2, LOW);
685
686     // Моторне колесо 5 – праве середнє
687     setServoPWMViaPCA9685(MOTOR_5, speed1PWM);
688     digitalWrite(MOTOR_5_IN1, HIGH);
689
690     // Моторне колесо 6 – праве заднє
691     setServoPWMViaPCA9685(MOTOR_6, speed1PWM);
692     digitalWrite(MOTOR_6_IN1, HIGH);
693     digitalWrite(MOTOR_6_IN2, LOW);
694
695     // Мотори правої сторони рухаються в протилежному напрямку
696     // Моторне колесо 4 – праве переднє
697     setServoPWMViaPCA9685(MOTOR_4, speed1PWM);
698     digitalWrite(MOTOR_4_IN1, HIGH);
699     digitalWrite(MOTOR_4_IN2, LOW);
700
701     // Моторне колесо 5 – праве середнє
702     setServoPWMViaPCA9685(MOTOR_5, speed1PWM);
703     digitalWrite(MOTOR_5_IN1, HIGH);
704
705     // Моторне колесо 6 – праве заднє
706     setServoPWMViaPCA9685(MOTOR_6, speed1PWM);
707     digitalWrite(MOTOR_6_IN1, HIGH);
708     digitalWrite(MOTOR_6_IN2, LOW);
709
710     // Мотори правої сторони рухаються в протилежному напрямку
711     // Моторне колесо 4 – праве переднє
712     setServoPWMViaPCA9685(MOTOR_4, speed1PWM);
713     digitalWrite(MOTOR_4_IN1, HIGH);
714     digitalWrite(MOTOR_4_IN2, LOW);
715
716     // Моторне колесо 5 – праве середнє
717     setServoPWMViaPCA9685(MOTOR_5, speed1PWM);
718     digitalWrite(MOTOR_5_IN1, HIGH);
719
720     // Моторне колесо 6 – праве заднє
721     setServoPWMViaPCA9685(MOTOR_6, speed1PWM);
722     digitalWrite(MOTOR_6_IN1, HIGH);
723     digitalWrite(MOTOR_6_IN2, LOW);
724
725     // Мотори правої сторони рухаються в протилежному напрямку
726     // Моторне колесо 4 – праве переднє
727     setServoPWMViaPCA9685(MOTOR_4, speed1PWM);
728     digitalWrite(MOTOR_4_IN1, HIGH);
729     digitalWrite(MOTOR_4_IN2, LOW);
730
731     // Моторне колесо 5 – праве середнє
732     setServoPWMViaPCA9685(MOTOR_5, speed1PWM);
733     digitalWrite(MOTOR_5_IN1, HIGH);
734
735     // Моторне колесо 6 – праве заднє
736     setServoPWMViaPCA9685(MOTOR_6, speed1PWM);
737     digitalWrite(MOTOR_6_IN1, HIGH);
738     digitalWrite(MOTOR_6_IN2, LOW);
739
740     // Мотори правої сторони рухаються в протилежному напрямку
741     // Моторне колесо 4 – праве переднє
742     setServoPWMViaPCA9685(MOTOR_4, speed1PWM);
743     digitalWrite(MOTOR_4_IN1, HIGH);
744     digitalWrite(MOTOR_4_IN2, LOW);
745
746     // Моторне колесо 5 – праве середнє
747     setServoPWMViaPCA9685(MOTOR_5, speed1PWM);
748     digitalWrite(MOTOR_5_IN1, HIGH);
749
750     // Моторне колесо 6 – праве заднє
751     setServoPWMViaPCA9685(MOTOR_6, speed1PWM);
752     digitalWrite(MOTOR_6_IN1, HIGH);
753     digitalWrite(MOTOR_6_IN2, LOW);
754
755     // Мотори правої сторони рухаються в протилежному напрямку
756     // Моторне колесо 4 – праве переднє
757     setServoPWMViaPCA9685(MOTOR_4, speed1PWM);
758     digitalWrite(MOTOR_4_IN1, HIGH);
759     digitalWrite(MOTOR_4_IN2, LOW);
760
761     // Моторне колесо 5 – праве середнє
762     setServoPWMViaPCA9685(MOTOR_5, speed1PWM);
763     digitalWrite(MOTOR_5_IN1, HIGH);
764
765     // Моторне колесо 6 – праве заднє
766     setServoPWMViaPCA9685(MOTOR_6, speed1PWM);
767     digitalWrite(MOTOR_6_IN1, HIGH);
768     digitalWrite(MOTOR_6_IN2, LOW);
769
770     // Мотори правої сторони рухаються в протилежному напрямку
771     // Моторне колесо 4 – праве переднє
772     setServoPWMViaPCA9685(MOTOR_4, speed1PWM);
773     digitalWrite(MOTOR_4_IN1, HIGH);
774     digitalWrite(MOTOR_4_IN2, LOW);
775
776     // Моторне колесо 5 – праве середнє
777     setServoPWMViaPCA9685(MOTOR_5, speed1PWM);
778     digitalWrite(MOTOR_5_IN1, HIGH);
779
780     // Моторне колесо 6 – праве заднє
781     setServoPWMViaPCA9685(MOTOR_6, speed1PWM);
782     digitalWrite(MOTOR_6_IN1, HIGH);
783     digitalWrite(MOTOR_6_IN2, LOW);
784
785     // Мотори правої сторони рухаються в протилежному напрямку
786     // Моторне колесо 4 – праве переднє
787     setServoPWMViaPCA9685(MOTOR_4, speed1PWM);
788     digitalWrite(MOTOR_4_IN1, HIGH);
789     digitalWrite(MOTOR_4_IN2, LOW);
790
791     // Моторне колесо 5 – праве середнє
792     setServoPWMViaPCA9685(MOTOR_5, speed1PWM);
793     digitalWrite(MOTOR_5_IN1, HIGH);
794
795     // Моторне колесо 6 – праве заднє
796     setServoPWMViaPCA9685(MOTOR_6, speed1PWM);
797     digitalWrite(MOTOR_6_IN1, HIGH);
798     digitalWrite(MOTOR_6_IN2, LOW);
799
800     // Мотори правої сторони рухаються в протилежному напрямку
801     // Моторне колесо 4 – праве переднє
802     setServoPWMViaPCA9685(MOTOR_4, speed1PWM);
803     digitalWrite(MOTOR_4_IN1, HIGH);
804     digitalWrite(MOTOR_4_IN2, LOW);
805
806    
```

```

352 setMotorPWMViaPCA9685(MOTOR_1, speed1PWM);
353 digitalWrite(MOTOR_1_IN1, HIGH);
354 digitalWrite(MOTOR_1_IN2, LOW);
355
356 // Моторне колесо 2 – ліве середнє
357 setMotorPWMViaPCA9685(MOTOR_2, speed1PWM);
358 digitalWrite(MOTOR_2_IN1, HIGH);
359 digitalWrite(MOTOR_2_IN2, LOW);
360
361 // Моторне колесо 3 – ліве заднє
362 setMotorPWMViaPCA9685(MOTOR_3, speed1PWM);
363 digitalWrite(MOTOR_3_IN1, HIGH);
364 digitalWrite(MOTOR_3_IN2, LOW);
365
366 // Мотори правої сторони рухаються в протилежному напрямку
367 // Моторне колесо 4 – праве переднє
368 setMotorPWMViaPCA9685(MOTOR_4, speed1PWM);
369 digitalWrite(MOTOR_4_IN1, HIGH);
370 digitalWrite(MOTOR_4_IN2, LOW);
371
372 // Моторне колесо 5 – праве середнє
373 setMotorPWMViaPCA9685(MOTOR_5, speed1PWM);
374 digitalWrite(MOTOR_5_IN1, HIGH);
375 digitalWrite(MOTOR_5_IN2, LOW);
376
377 // Моторне колесо 6 – праве заднє
378 setMotorPWMViaPCA9685(MOTOR_6, speed1PWM);
379 digitalWrite(MOTOR_6_IN1, HIGH);
380 digitalWrite(MOTOR_6_IN2, LOW);
381 }
382
383 // Рух вперед назад
384 void moveStraightBack()
385 {
386 // Motor Wheel 1 - Left Front
387 setMotorPWMViaPCA9685(MOTOR_1, speed1PWM);
388 digitalWrite(MOTOR_1_IN1, LOW);
389 digitalWrite(MOTOR_1_IN2, HIGH);
390
391 // Motor Wheel 2 - Left Middle
392 setMotorPWMViaPCA9685(MOTOR_2, speed1PWM);
393 digitalWrite(MOTOR_2_IN1, LOW);
394 digitalWrite(MOTOR_2_IN2, HIGH);
395
396 // Motor Wheel 3 - Left Back
397 setMotorPWMViaPCA9685(MOTOR_3, speed1PWM);
398 digitalWrite(MOTOR_3_IN1, LOW);
399 digitalWrite(MOTOR_3_IN2, HIGH);
400
401 // right side motors move in opposite direction
402 // Motor Wheel 4 - Right Front
403 setMotorPWMViaPCA9685(MOTOR_4, speed1PWM);
404 digitalWrite(MOTOR_4_IN1, LOW);
405 digitalWrite(MOTOR_4_IN2, HIGH);
406
407 // Motor Wheel 5 - Right Middle
408 setMotorPWMViaPCA9685(MOTOR_5, speed1PWM);
409 digitalWrite(MOTOR_5_IN1, LOW);
410 digitalWrite(MOTOR_5_IN2, HIGH);
411
412 // Motor Wheel 6 - Right Back
413 setMotorPWMViaPCA9685(MOTOR_6, speed1PWM);
414 digitalWrite(MOTOR_6_IN1, LOW);
415 digitalWrite(MOTOR_6_IN2, HIGH);
416 }
417
418
419 //зупинка ровера
420 void motorStop()
421 {
422 digitalWrite(MOTOR_1_IN1, LOW);
423 digitalWrite(MOTOR_1_IN2, LOW);
424 digitalWrite(MOTOR_2_IN1, LOW);
425 digitalWrite(MOTOR_2_IN2, LOW);
426 digitalWrite(MOTOR_3_IN1, LOW);
427 digitalWrite(MOTOR_3_IN2, LOW);
428 digitalWrite(MOTOR_4_IN1, LOW);
429 digitalWrite(MOTOR_4_IN2, LOW);
430 digitalWrite(MOTOR_5_IN1, LOW);
431 digitalWrite(MOTOR_5_IN2, LOW);
432 digitalWrite(MOTOR_6_IN1, LOW);
433 digitalWrite(MOTOR_6_IN2, LOW);
434 }
435
436 void loop()
437 {
438 Blynk.run();
439 if (YPlot_b < 0) YPlot = YPlot_b * -1;
440 else YPlot = YPlot_b;
441
442 #ifdef DEBUG_PRINT
443 printBlynkInput();
444 #endif
445
446 if (XPlot > 90)
447 {
448 radius = map(XPlot, 90, 180, 1400, 600); // радіус повороту від 1400 мм до 600 мм
449 }
450 // Поворот вліво
451 else if (XPlot < 90)
452 {
453 radius = map(XPlot, 90, 0, 1400, 600); // радіус повороту від 1400 мм до 600 мм
454 }
455 speed = map(YPlot, 0, 90, 0, 100); // швидкість ровера від 0% до 100%
456
457 calculateMotorsSpeed(radius, speed);
458 calculateServoAngle(radius);
459
460 #ifdef DEBUG_PRINT
461 printSpeedInfo();
462 printRadiusInfo();
463 #endif
464
465 // Поворот вправо
466 if (XPlot > 90)

```

```

469 {
470 // Серводвигуни
471 // Зовнішні колеса
472 setServoPWMViaPCA9685(SERVO_1, servo1Angle + thetaInnerFront); // переднє колесо повертає вправо
473 setServoPWMViaPCA9685(SERVO_3, servo3Angle - thetaInnerBack);
474 // заднє колесо повертає вліво для загального повороту вправо ровера
475 // Внутрішні колеса
476 setServoPWMViaPCA9685(SERVO_4, servo4Angle + thetaOuterFront);
477 setServoPWMViaPCA9685(SERVO_6, servo6Angle - thetaOuterBack);
478
479 if (YPlot_b > 0)
480 {
481 // Рух вперед
482 moveRightForward();
483 }
484 else if (YPlot_b < 0)
485 {
486 moveRightBack();
487 }
488 else motorStop();
489 }
490
491 // Поворот вліво
492 else if (XPlot < 90)
493 {
494 setServoPWMViaPCA9685(SERVO_1, servo1Angle - thetaOuterFront);
495 setServoPWMViaPCA9685(SERVO_3, servo3Angle + thetaOuterBack);
496 setServoPWMViaPCA9685(SERVO_4, servo4Angle - thetaInnerFront);
497 setServoPWMViaPCA9685(SERVO_6, servo6Angle + thetaInnerBack);
498
499 if (YPlot_b > 0)
500 {
501 // Рух вперед
502 moveLeftForward();
503 }
504 else if (YPlot_b < 0)
505 {
506 moveLeftBack();
507 }
508 else motorStop();
509 }
510 // Рух прямо
511 else
512 {
513 setServoPWMViaPCA9685(SERVO_1, servo1Angle);
514 setServoPWMViaPCA9685(SERVO_3, servo3Angle);
515 setServoPWMViaPCA9685(SERVO_4, servo4Angle);
516 setServoPWMViaPCA9685(SERVO_6, servo6Angle);
517
518 if (YPlot_b > 0)
519 {
520 // Рух вперед
521 moveStraightForward();
522 }
523 else if (YPlot_b < 0)
524 {
525 moveStraightBack();
526 }
527 else motorStop();
528 }
529 }
530 }
531

```

config.h

```

1 #pragma once
2
3 #define BLYNK_TEMPLATE_ID "TMPL4JI3RnWx2"
4 #define BLYNK_TEMPLATE_NAME "Контроллер"
5 #define BLYNK_AUTH_TOKEN "HD01vk34uTedsWQ40NmP8Ux60EEK3Z5"
6
7 //конфігурування каналів керування
8 #define SERVO_1 0
9 #define SERVO_3 1
10 #define SERVO_4 2
11 #define SERVO_6 3
12
13
14
15 #define MOTOR_STBY12 13
16
17 #define MOTOR_1 8
18 #define MOTOR_1_IN1 14
19 #define MOTOR_1_IN2 12
20
21 #define MOTOR_2 9
22 #define MOTOR_2_IN1 27
23 #define MOTOR_2_IN2 26
24
25 #define MOTOR_STBY34 25
26
27 #define MOTOR_3 10
28 #define MOTOR_3_IN1 33
29 #define MOTOR_3_IN2 32
30
31 #define MOTOR_4 11
32 #define MOTOR_4_IN1 0
33 #define MOTOR_4_IN2 4
34
35 #define MOTOR_STBY56 19
36
37 #define MOTOR_5 12
38 #define MOTOR_5_IN1 18
39 #define MOTOR_5_IN2 5
40
41 #define MOTOR_6 13
42 #define MOTOR_6_IN1 17
43 #define MOTOR_6_IN2 16
44
45 #define BLYNK_PRINT Serial
46
47 #define SERVO_MIN 80 // Мінімальний сигнал для сервоприводу (~0 градусів)
48 #define SERVO_MAX 550 // Максимальний сигнал для сервоприводу (~180 градусів)
49 #define SERVO_INIT_ANGLE 90
50
51 #define LINK_D1 271.0f
52 #define LINK_D2 278.0f
53 #define LINK_D3 301.0f
54 #define LINK_D4 304.0f
55
56 #define DEBUG_PRINT

```

Підп. і дата
 № 20 № підл.
 Значить № 20
 Підп. і дата